



ใบรับรองวิทยานิพนธ์

บัณฑิตวิทยาลัย มหาวิทยาลัยเกษตรศาสตร์

วิทยาศาสตร์มหาบัณฑิต (เทคโนโลยีการบรรจุ)

บริษัทฯ

เทคโนโลยีการบรรจุ

สาขา

เทคโนโลยีการบรรจุ

ภาควิชา

เรื่อง การปรับปรุงสมบัติการต้านทานนำของกระดาษแข็ง โดยพลาสม่าชัลฟอนเซกซ์ฟลูอโอลีด

The Improvement of Water Resistance Property of Paperboard by SF₆ Plasma

นามผู้วิจัย นางสาวสุชาดา ถาวรวิริยะนันท์

ได้พิจารณาเห็นชอบโดย

อาจารย์ที่ปรึกษาวิทยานิพนธ์หลัก

(ผู้ช่วยศาสตราจารย์ชัยณรงค์ จิญกาญจน์, Ph.D.)

อาจารย์ที่ปรึกษาวิทยานิพนธ์ร่วม

(อารย์อัมพร เสน่ห์, Ph.D.)

อาจารย์ที่ปรึกษาวิทยานิพนธ์ร่วม

(ผู้ช่วยศาสตราจารย์พรชัย ราชคนะพันธุ์, Ph.D.)

อาจารย์ที่ปรึกษาวิทยานิพนธ์ร่วม

(รองศาสตราจารย์ธีรวรรณ บุญญาวรรณ, วท.ด.)

รักษาการแทนหัวหน้าภาควิชา

(ผู้ช่วยศาสตราจารย์ชัยณรงค์ จิญกาญจน์, Ph.D.)

บัณฑิตวิทยาลัย มหาวิทยาลัยเกษตรศาสตร์รับรองแล้ว

(รองศาสตราจารย์กัญญา ชีระกุล, D.Agr.)

คณบดีบัณฑิตวิทยาลัย

วันที่ เดือน พ.ศ.

วิทยานิพนธ์

เรื่อง

การปรับปรุงสมบัติการต้านทานนำของกระดาษแข็งโดยพลาสมาซัลเฟอร์ไฮด์ฟลูออิรค์

The Improvement of Water Resistance Property of Paperboard by SF₆ Plasma

โดย

นางสาวสุชาดา ถาวรวิริยะนันท์

เสนอ

บัณฑิตวิทยาลัย มหาวิทยาลัยเกษตรศาสตร์

เพื่อความสมบูรณ์แห่งปริญญาวิทยาศาสตรมหาบัณฑิต (เทคโนโลยีการบรรจุ)

พ.ศ. 2551

สุชาดา ดาวรัชีบันนท์ 2551: การปรับปรุงสมบัติการด้านท่านน้ำของกระดายแข็งโดยพลาสma
ชัลเฟอร์ເຊກະພູອ່ໄຮດ໌ ປຣິມູສູວິທະຍາສາສຕຣມຫານບັນທຶດ (ເຖິງໂນໂລຢີການບຽງ) ສາຂາເທກໂນໂລຢີ
ການບຽງ ພາວິຊາເທກໂນໂລຢີການບຽງ ອາຈານທີ່ປະກິມາວິທະຍານິພນ້ຫລັກ: ຜູ້ຂ່ວຍຄາສົດຮາຈານ
ທັງສູງສາຮັດນີ້ ຈິຜູກາສູງຈົນ, Ph.D. 112 ມັນ

งานวิจัยนี้มีวัตถุประสงค์เพื่อเพิ่มความสามารถในการด้านท่านน้ำของกระดายแข็ง เพื่อใช้งานทางการ
บรรจุ โดยการประยุกต์ด้วยพลาสma ชัลเฟอร์ເຊກະພູອ່ໄຮດ໌ໃນกระดายแข็งປະເທດເຄື່ອນໄຫວ້ ນໍ້າໜັກ
ມາตรฐาน 300 ກຣົມຕ່ອຕາຮາມເມຕຣ ຊຶ່ງເປັນกระດາຍເຄລືອນພິວໜ້າເດືອງ ຈາກວິຊັ້ນປະກອບ ດ້ວຍ 3 ສ່ວນ ສ່ວນແຮກ ຄື່ອ
ການສຶກຍາອີທີພລຂອງສປາວະພລາສມາຕ່ອງຄວາມສາມາຮອນໃນການດ້ານທານນໍ້າອງກະຮາຍ ໂດຍສປາວະພລາສມາທີ່
ສຶກຍາໄດ້ແກ່ ກໍາລັງຄຸນວິທີທີ່ 25, 50 ແລະ 75 ວັດຕ໌ ແລະ ຄວາມດັນແກ້ສີທີ່ 20, 50, 100 ແລະ 200 ມີລິໂທ່ວ່າ ໂດຍກໍາຫັນດ
ເວລາໃນການປະຍຸກຕໍ່ພລາສມາທີ່ 10 ນາທີ ການສຶກຍາໃນສ່ວນທີ່ 2 ຄື່ອ ການສຶກຍາອີທີພລຂອງເວລາໃນການປະຍຸກຕໍ່
ພລາສມາຕ່ອສມບັດໃນການດ້ານທານນ້າ ສມບັດທາງກາຍກາພ ສມບັດເຊີງກລ ແລະ ສມບັດກາຮສັດກັນກາຮ້ອມຜ່ານຂອງ
ກະຮາຍ ໂດຍເລືອເວລາໃນການປະຍຸກຕໍ່ພລາສມາທີ່ 2, 10, 60 ແລະ 600 ວິນາທີ ຕາມດຳຕັບ ແລະ ໃຊ້ສປາວະພລາສມາທີ່ດີ
ທີ່ສຸດຈາກການສຶກຍາໃນສ່ວນແຮກ ການສຶກຍາໃນສ່ວນທີ່ 3 ຄື່ອ ການສຶກຍາອີທີພລຂອງຮະບະເວລາໃນການເກີນກະຮາຍ
ກາຍຫັ້ງການປະຍຸກຕໍ່ພລາສມາໃນສປາວະຂອງຄລັງສິນຄ້າໃນເຂດຮັ້ອນຊື່ນຫ່ວ້າໄປ (ອຸນຫະກົມີ 25-32 ອົງສາເຊລເຊີຍສ
ຄວາມຊື່ນສັນພັກທີ່ຮ້ອຍລະ 48-74 ເປັນເວລາ 28 ວັນ) ຕ່ອຄວາມສາມາຮອນໃນການດ້ານທານນໍ້າອງກະຮາຍ ພັດການສຶກຍາ
ໃນສ່ວນແຮກ ພບວ່າ ກໍາລັງຄຸນວິທີທີ່ 50 ວັດຕ໌ ແລະ ຄວາມດັນແກ້ສີ 100 ມີລິໂທ່ວ່າ ເປັນສປາວະທີ່ດີທີ່ສຸດໃນການປັບປຸງ
ສມບັດກາຮສັດກັນກາຮ້ອມຜ່ານທານນໍ້າອງກະຮາຍ ແລະ ຈາກການສຶກຍາອີທີພລຂອງເວລາໃນການປະຍຸກຕໍ່ພລາສມາ ພບວ່າ ການ
ປະຍຸກຕໍ່ພລາສມາດ້ວຍເວລາເພີຍ 2 ວິນາທີ ສາມາຮອນພື່ນຄວາມສາມາຮອນໃນການດ້ານທານນໍ້າອງກະຮາຍ ໄດ້ຍ່າງມີ
ນັບສຳຄັນ ($p \leq 0.05$) ໂດຍເມື່ອເວລາໃນການປະຍຸກຕໍ່ພລາສມາເພີ່ມຂຶ້ນ ກະຮາຍຈະມີຄວາມສາມາຮອນໃນການດ້ານທານນໍ້າ
ມາກັ້ນ ນອກຈາກນີ້ ພັດກາຮທດສອບສມບັດທາງກາຍກາພ ພບວ່າ ການປະຍຸກຕໍ່ພລາສມາໄມ່ມີຜລຕ່ອນ້າໜັກມາຕຽບ
ຄວາມໜານ ແລະ ຄວາມຊື່ນອງກະຮາຍ ແຕ່ທຳໃຫ້ຄວາມສ່ວ່າງແລະ ສີຂອງກະຮາຍເປີດຢືນແປ່ງໄປ ພັດກາຮທດສອບ
ສມບັດເຊີງກລ ພບວ່າ ການປະຍຸກຕໍ່ພລາສມາໄມ່ມີຜລຕ່ອງຄວາມດ້ານທານແຮງດຶງອງກະຮາຍ ແຕ່ມີຜລໃຫ້ຄວາມດ້ານທານ
ແຮງດຶງແວນໃນແນວ MD ແລະ ຄວາມດ້ານທານຕ່ອງການພັນໃນແນວ MD ແລະ CD ຂອງກະຮາຍມີຄ່າລດົງຍ່າງມີ
ນັບສຳຄັນ ($p \leq 0.05$) ແລະ ພັດກາຮທດສອບສມບັດກາຮສັດກັນກາຮ້ອມຜ່ານ ພບວ່າ ການປະຍຸກຕໍ່ພລາສມາສາມາຮອນເພີ່ມ
ຄວາມສາມາຮອນໃນການດ້ານທານກາຮ້ອມຜ່ານຂອງນໍ້າມັນ ໄດ້ຍ່າງມີນັບສຳຄັນ ($p \leq 0.05$) ອ່າງໄກ້ຕາມ ພບວ່າສມບັດກາຮ
ສັດກັນກາຮ້ອມຜ່ານຂອງໄອນ້າແລະ ແກ້ສອກຊີເຈນຂອງກະຮາຍລດົງຍ່າງມີນັບສຳຄັນ ($p \leq 0.05$) ນອກຈາກນີ້ ການ
ປະຍຸກຕໍ່ພລາສມາຈະມີປະລິທີກາພດີເມື່ອກະຮາຍທີ່ຈະນຳນາມປະຍຸກຕໍ່ໄໝຜ່ານກາຮເຄລືອນພິວມາກ່ອນ ສ່ວນພັດກາຮເກີນ
ກະຮາຍກາຍຫັ້ງການປະຍຸກຕໍ່ພລາສມາ ພບວ່າ ເມື່ອເວລາຜ່ານໄປກະຮາຍມີຄວາມສາມາຮອນໃນການດ້ານທານນໍ້າລດົງ
ຍກເວັ້ນກະຮາຍທີ່ປະຍຸກຕໍ່ພລາສມາ 60 ວິນາທີ ຊຶ່ງຄວາມສາມາຮອນໃນການດ້ານທານນໍ້າອງກະຮາຍໄໝມີການ
ເປີດຢືນແປ່ງໄປ

/ /

Suchada Thawornwiriyanan 2008: The Improvement of Water Resistance Property of Paperboard by SF₆ Plasma. Master of Science (Packaging Technology), Major Field: Packaging Technology, Department of Packaging Technology. Thesis Advisor: Assistant Professor Tunyarut Jinkarn, Ph.D. 112 pages.

The objective of this research was to improve water resistance property of paperboard for packaging application by SF₆ plasma. 300 g/m² single-side coated Duplex board was selected for the study. The study composed of three sections. First section was to investigate effects of plasma conditions on water resistance property of paperboard. Three plasma conditions to be studied were RF power at 25, 50 and 75 W with gas pressure of 20, 50, 100 and 200 mTorr. Treatment time was fixed at 10 minute for this point of the study. The second section was the study on effects of treatment times on physical, mechanical and barrier properties of treated paperboard. Treatment times proposed for the study were at 2, 10, 60 and 600 second respectively where as plasma condition was fixed according to the best plasma condition derived from the first part of the study. The last section was the study on effects of storage times on water resistance property of treated paperboard. For the study, storage times were set for 28 days at regular warehouses of tropical regions (25-32°C, 48-74 %RH). According to the result of the first part, plasma condition at 50 W at 100 mTorr provided the best water resistance properties on paperboard surface. For the second part of the study, results showed that SF₆ plasma treatments significantly improved water resistance property of treated paperboards started from only 2 second treatment time ($p \leq 0.05$) and longer treatment time showed better water resistance properties. Further, plasma treatment had no affect on basis weight, thickness and moisture content of paperboard. However, brightness and colors of treated paperboard were slightly changed. Effects of plasma treatment on mechanical properties showed that plasma treatment had no effect on tensile strength of treated paperboards; however, MD compression strength as well as MD and CD folding endurance of treated paperboards were significantly lower than untreated sample ($p \leq 0.05$). For barrier property, plasma treatment significantly improved oil resistance property of treated paperboard ($p \leq 0.05$). However, water vapor and oxygen permeability of treated paperboard were significantly higher than untreated sample ($p \leq 0.05$). Moreover, the results showed that plasma treatment was more effective on uncoated paperboard surface. For the last section of the study, the results showed that water resistance of treated paperboards was decreased with longer storage time. However, for 60 second treatment sample, water resistance property remained unchanged.

Student's signature

Thesis Advisor's signature

/ /

กิตติกรรมประกาศ

วิทยานิพนธ์ฉบับนี้สำเร็จลุล่วงได้ด้วยดี ข้าพเจ้าขอกราบขอบพระคุณผู้ช่วยศาสตราจารย์ ขัญญารัตน์ จิญกาญจน์ อาจารย์ที่ปรึกษาวิทยานิพนธ์หลัก ที่ให้คำแนะนำและเป็นที่ปรึกษาในทุกๆ เรื่อง ตลอดจนสนับสนุนทุนวิจัยทั้งด้านการเดินทางและที่พักในเชียงใหม่ ขอกราบขอบพระคุณ ผู้ช่วยศาสตราจารย์พรชัย ราชตะนะพันธ์ อาจารย์ที่ปรึกษาวิทยานิพนธ์ร่วม สำหรับคำแนะนำและการติดต่อประสานงานต่างๆ ขอกราบขอบพระคุณรองศาสตราจารย์ธิรวรรณ บุญญวรรรณ อาจารย์ ที่ปรึกษาวิทยานิพนธ์ร่วม ที่คอยให้ความรู้และคำแนะนำ ตลอดจนสนับสนุนทุนวิจัยในการดำรงชีพที่เชียงใหม่ และขอกราบขอบพระคุณอาจารย์อัมพร เสน่ห์ อาจารย์ที่ปรึกษาวิทยานิพนธ์ร่วม สำหรับคำปรึกษาและคำแนะนำระหว่างการดำเนินงานวิจัย นอกจากนี้ ขอกราบขอบพระคุณ รองศาสตราจารย์วานิช ชนเห็นชอบ ประธานสอบวิทยานิพนธ์ และอาจารย์สุพจน์ ประทีปถินทอง ผู้ทรงคุณวุฒิจากภายนอกมหาวิทยาลัย ที่กรุณาตรวจสอบแก้ไขและให้คำแนะนำเพิ่มเติมจน วิทยานิพนธ์ฉบับนี้เสร็จสมบูรณ์

ขอขอบพระคุณบริษัท กระดาษสาไทย จำกัด ที่ให้ความอนุเคราะห์กระดาษแข็งสำหรับใช้ในการวิจัย และขอขอบพระคุณศูนย์วิจัยนิวตรอนพลังงานสูง มหาวิทยาลัยเชียงใหม่ สำหรับความอนุเคราะห์สถานที่ สารเคมี และเครื่องมือต่างๆ ที่ใช้ในงานวิจัยนี้

ขอขอบพระคุณคณาจารย์ภาควิชาเทคโนโลยีการบรรจุทุกท่านที่ให้ความเมตตากรุณา อบรมสั่งสอนและให้ความรู้ตลอดการศึกษา รวมทั้งเจ้าหน้าที่ภาควิชาเทคโนโลยีการบรรจุทุกท่าน สำหรับคำแนะนำและการอำนวยความสะดวกในการใช้เครื่องมือสำหรับทดสอบ ขอขอบพระคุณ เจ้าหน้าที่ศูนย์วิจัยนิวตรอนพลังงานสูงและภาควิชาเทคโนโลยีการบรรจุ มหาวิทยาลัยเชียงใหม่ ทุกท่าน สำหรับน้ำใจอันดีงามและความช่วยเหลือในทุกๆ ด้าน และขอบคุณเพื่อนๆ ภาควิชา เทคโนโลยีการบรรจุทุกท่าน โดยเฉพาะอย่างยิ่ง นายเกตุพิสิษฐ์ อนวัชชสุข ที่มีน้ำใจให้กันเสมอมา

ข้าพเจ้าขอกราบขอบพระคุณ คุณพ่อทวิช และคุณแม่นงลักษณ์ ดาวรัวิษณันท์ ที่คอยให้กำลังใจ ความเข้าใจ และห่วงใยอยู่เสมอ ทั้งหมดนี้เป็นแรงผลักดันช่วยให้ข้าพเจ้ามีกำลังใจในการทำงานวิจัยจนสำเร็จลุล่วงไปด้วยดี

สุชาดา ดาวรัวิษณันท์

กันยายน 2551

สารบัญ

หน้า

สารบัญ	(1)
สารบัญตาราง	(2)
สารบัญภาพ	(4)
คำนำ	1
วัตถุประสงค์	3
การตรวจสอบสาร	4
อุปกรณ์และวิธีการ	40
อุปกรณ์	40
วิธีการ	41
ผลและวิจารณ์	47
สรุปและข้อเสนอแนะ	73
สรุป	73
ข้อเสนอแนะ	75
เอกสารและสิ่งอ้างอิง	77
ภาคผนวก	86
ภาคผนวก ก วิธีการทดสอบ	87
ภาคผนวก ข ระบบการทำงานของเครื่องผลิตพลาสม่าความดันต่ำระบบ ICP	104
ภาคผนวก ค ค่าทดสอบมุมสัมผัสแบบต่อเนื่อง (dynamic contact angle)	
ของกระดาษประยุกต์พลาสม่า	107
ภาคผนวก ง ค่าทดสอบอิทธิพลของระยะเวลาในการเก็บต่อความสามารถ	
ในการด้านท่านนำของกระดาษ	110
ประวัติการศึกษา และการทำงาน	112

สารบัญตาราง

ตารางที่		หน้า
1	พลังงานของไฟตอนในช่วงสเปกตรัมต่างๆ	25
2	ตัวอย่างแก๊สและของเหลวที่ใช้ในการสร้างพลาสม่า	28
3	ปฏิกิริยาที่เกิดขึ้นในพลาสม่าชั้ลเฟอร์เชกชัฟลูอ์ไรด์	33
4	สมบัติของกระดาษก่อนการประยุกต์พลาสม่า	48
5	มุ่งสัมผัส งานของการบีดติด และเวลาในการดูดซึมน้ำของกระดาษประยุกต์พลาสม่า ที่กำลังคลื่นวิทยุและความดันแก๊สแตกต่างกัน	50
6	มุ่งสัมผัส งานของการบีดติด และเวลาในการดูดซึมน้ำของกระดาษประยุกต์พลาสม่า ที่เวลาในการประยุกต์พลาสม่าแตกต่างกัน	53
7	ลักษณะของน้ำบนพื้นผิวกระดาษที่ใช้เวลาในการประยุกต์พลาสม่าแตกต่างกัน	55
8	น้ำหนักมาตรฐาน ความหนา และปริมาณความชื้นของกระดาษประยุกต์พลาสม่า	56
9	สีของกระดาษประยุกต์พลาสม่า	57
10	สีของกระดาษหลังผ่านการอบความร้อน	58
11	ความต้านทานแรงกดวงแหวน ความต้านทานต่อการพับ และความต้านทานแรงดึงของกระดาษประยุกต์พลาสม่า	59
12	มุ่งสัมผัส งานของการบีดติด การดูดซึมน้ำ และเวลาในการดูดซึมน้ำของกระดาษประยุกต์พลาสม่า	61
13	มุ่งสัมผัส การดูดซึมน้ำมัน และเวลาในการดูดซึมน้ำมันของกระดาษประยุกต์พลาสม่า	65
14	อัตราการซึมผ่านของไอน้ำ และอัตราการซึมผ่านของแก๊สออกซิเจนของกระดาษประยุกต์พลาสม่า	67
15	ชาตุองค์ประกอบบนพื้นผิวของกระดาษประยุกต์พลาสม่า	72

สารบัญตาราง (ต่อ)

ตารางผนวกที่	หน้า
ค1 มุ่งสัมพัทธองค์ความเชื่อมโยงระหว่างระยะเวลาผ่านไปของกระดายหลังประยุกต์พลาสม่า	108
ง1 เวลาในการดูดซึมน้ำของกระดายด้านหลังภายในห้องปฏิบัติการประยุกต์พลาสม่า ^{เมื่อเก็บในอุณหภูมิ 25-32 องศาเซลเซียส ความชื้นสัมพัทธ์ร้อยละ 48-74 เป็นเวลา 28 วัน}	111

สารบัญภาพ

ภาพที่	หน้า
1 ลักษณะพื้นผิวของกระดาษ	4
2 โครงสร้างของโมเลกุลเซลลูโลส	5
3 มุมสัมผัส	14
4 เครื่องวัดมุมสัมผัส goniometer	15
5 ชุดลูกรีดของเครื่องขัดกระดาษ	17
6 สถานะทึ่งสีของสสาร	20
7 ประเภทของพลาสma	21
8 การเกิดแก๊สคิดิชาเรจ	22
9 กระบวนการพลาสma พอลิเมอร์ไนเชชัน	26
10 การปรับสภาพพิวัสดุพอลิเมอร์ด้วยพลาสma	27
11 การประยุกต์พลาสma ในระบบสุญญากาศ	30
12 filamentary volume barrier discharge treatment	31
13 plasma jet	32
14 โมเลกุลของแก๊สซัลเฟอร์ເສກະຟລູອອໄຣດ໌	33
15 ลักษณะตัวอย่างกระดาษ (ก) ด้านหน้า และ (ข) ด้านหลัง	43
16 ลักษณะปรากฏของกระดาษ (ก) ด้านหน้า และ (ข) ด้านหลัง	47
17 การลดลงของมุมสัมผัสของหยดน้ำเมื่อเวลาผ่านไปของกระดาษประยุกต์พลาสma (ก) กระดาษด้านหน้า และ (ข) กระดาษด้านหลัง	62
18 เวลาในการดูดซึมน้ำของกระดาษด้านหลังภายหลังการประยุกต์พลาสma เมื่อเก็บ ในอุณหภูมิ 25-32 องศาเซลเซียส ความชื้นสัมพัทธิ์ร้อยละ 48-74 เป็นเวลา 28 วัน	64
19 ลักษณะพื้นผิวของกระดาษด้านหน้า ก่อนและหลังการประยุกต์พลาสma ด้วยเครื่อง scanning electron microscope (SEM) กำลังขยาย 5,000 เท่า (ก) ไม่ประยุกต์ (ข) 2 วินาที (ค) 10 วินาที (ง) 60 วินาที และ (จ) 600 วินาที	69
20 ลักษณะพื้นผิวของกระดาษด้านหลัง ก่อนและหลังการประยุกต์พลาสma ด้วยเครื่อง scanning electron microscope (SEM) กำลังขยาย 5,000 เท่า (ก) ไม่ประยุกต์ (ข) 2 วินาที (ค) 10 วินาที (ง) 60 วินาที และ (จ) 600 วินาที	70

สารบัญภาพ (ต่อ)

ภาพที่	หน้า
21 ลักษณะความรุ่งของพื้นผิวระดับด้านหลัง ก่อนและหลังการประยุกต์พลาสma ด้วยเครื่อง atomic force microscope (AFM) ในพื้นที่ 30×30 ไมโครเมตร (ก) ไม่ประยุกต์ (ข) 2 วินาที และ (ค) 600 วินาที	71

ภาพผนวกที่

ก1 ลักษณะการวัดมุมสัมผัสด้วยโปรแกรม AutoCAD 2006	98
ข1 เครื่องผลิตพลาสma ความดันต่ำของศูนย์วิจัยนิวตรอนพลังงานสูง มหาวิทยาลัยเชียงใหม่	105
ข2 ไดอะแกรมของเครื่องผลิตพลาสma ความดันต่ำ	106

คำอธิบายสัญลักษณ์และคำย่อ

SF ₆	=	Sulferhexafluoride
MD	=	Machine direction
CD	=	Cross machine direction
ICP	=	Inductively coupled plasma discharge
SEM	=	Scanning electron microscopy
AFM	=	Atomic force microscopy
EDS	=	Energy dispersive X-ray spectrometry
XPS	=	X-ray photo electron spectrometry

การปรับปรุงสมบัติการต้านทานน้ำของกระดาษแข็งโดยพลาสma

ชัลเฟอร์ເອກະພູອໂໄຣດ໌

The Improvement of Water Resistance Property of Paperboard by SF₆ Plasma

คำนำ

ในปัจจุบันอุตสาหกรรมภาชนะบรรจุมีมูลค่าโดยรวมทั่วโลกมากกว่า 5 แสนล้านдолลาร์ สหรัฐ โดยภาชนะบรรจุประเภทกระดาษมีสัดส่วนการผลิตคิดเป็นร้อยละ 36 ของการผลิต ภาชนะบรรจุทั้งหมด (แนวหน้า, 2551) การที่ภาชนะบรรจุประเภทกระดาษเป็นที่นิยมใช้กันอย่าง กว้างขวางและมีอัตราการขยายตัวค่อนข้างสูงเนื่องจากมีคุณสมบัติเด่นในเรื่องความแข็งแรง น้ำหนักเบา ราคาถูก สามารถออกแบบขนาดและรูปทรงตามความต้องการใช้งาน สามารถนำ กลับมาใช้ใหม่และย่อยสลายโดยยุลชีพในธรรมชาติ จึงสามารถลดต้นทุนในการกำจัดภัยหลังการ ใช้งาน อีกทั้งยังไม่ก่อให้เกิดมลพิษต่อสิ่งแวดล้อม (กรมส่งเสริมการส่งออก, 2545) อย่างไรก็ตาม ภาชนะบรรจุประเภทกระดาษมีข้อจำกัดที่สำคัญ คือ ความแข็งแรงจะลดลงเมื่อสัมผัสน้ำหรืออุ่น ใน สภาวะที่มีความชื้นสูง ส่งผลให้ภาชนะบรรจุเสียหายและไม่สามารถปกป่องผลิตภัณฑ์ที่อยู่ภายใน ได้ดังนั้น การปรับปรุงสมบัติของกระดาษเพื่อเพิ่มความสามารถในการต้านทานน้ำให้ดีขึ้นจึงเป็น สิ่งจำเป็น

กระบวนการที่นิยมใช้ในการปรับปรุงสมบัติด้านการต้านทานน้ำของกระดาษ โดยทั่วไป คือ การรีดประกอบ (laminating) หรือการเคลือบ (coating) กระดาษด้วยสารหรือวัสดุที่มีสมบัติการ ต้านทานน้ำ เช่น พลาสติกหรือแวกซ์ ซึ่งส่งผลให้กระดาษแข็งแรงและไม่สามารถดูดซับน้ำได้ แต่ต้องเพิ่มค่าใช้จ่ายในการ กำจัดหลังการใช้งาน เนื่องจากต้องทำการแยกขั้นกระดาษออกจากวัสดุอื่นก่อนนำกลับไปบดเป็น เยื่อ ส่วนกระดาษเคลือบแวกซ์ไม่สามารถแยกขั้นได้และปัจจุบันยังไม่มีสถานที่สำหรับการรีไซเคิล กระดาษเคลือบแวกซ์ อีกทั้งยังไม่เป็นที่ยอมรับในบางประเทศ (คงทิพย์, 2550; Vaswani, 2005)

ปัจจุบันมีการตระหนักรถึงปัญหาด้านสิ่งแวดล้อมมากขึ้น เริ่มมีการหันมาใช้สารหรือ กระบวนการที่เป็นมิตรกับสิ่งแวดล้อมเข้ามาใช้ในการปรับปรุงสมบัติของกระดาษมากขึ้น เช่น การเคลือบกระดาษด้วยพอลิเมอร์ที่ย่อยสลายได้ในธรรมชาติ (biopolymer) (Rhim et al., 2006)

หรือการใช้เทคโนโลยีสารสนเทศ เช่น เทคโนโลยีพลาสma (plasma technology) ในการปรับสภาพผิวกระดาย (Mukhopadhyay *et al.*, 2002; Vaswani, 2005; Wang and He, 2005)

เทคโนโลยีพลาสma เป็นเทคโนโลยีปรับสภาพผิวสุดที่กำลังได้รับความสนใจ เนื่องจากมีข้อดีหลายประการ เช่น สามารถใช้ได้กับวัสดุที่มีโครงสร้างซับซ้อน มีประสิทธิภาพสูงในการกระตุนปฏิกิริยานันผิวสุดในระดับนาโนเมตร เป็นกระบวนการแบบแห้งจึงไม่มีความชื้นที่อาจส่งผลเสียต่อวัสดุที่เป็นเส้นใย ประยุคสารเคมี และเป็นเทคโนโลยีสารสนเทศ เป็นต้น (Ellinghorst, n.d.; Kim *et al.*, 2006) จึงมีความเป็นไปได้สูงที่จะนำเทคโนโลยีพลาสma มาใช้ปรับสภาพผิวกระดายให้สามารถด้านหน้าได้ดีขึ้นเพื่อเพิ่มประสิทธิภาพในการใช้ในงานทางการบรรจุ

វត្ថុប្រសង់

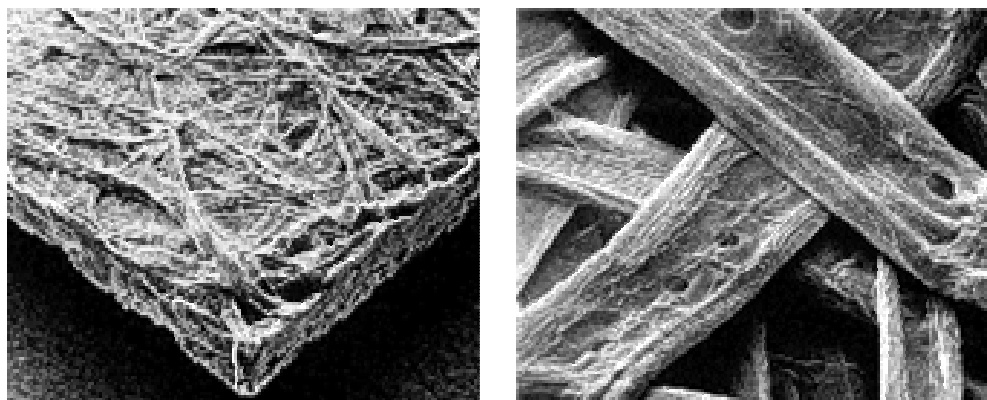
1. เพื่อศึกษาอิทธิพลของกำลังคลื่นวิทยุและความดันแก๊สของพลาสma
មិនមែនមានការប្រើប្រាស់ទេ តែជាការណែនាំរបស់ក្រុមហ៊ុន។
2. เพื่อศึกษาผลของการចាប់ផ្តើមរបស់ក្រុមហ៊ុន។
3. เพื่อគូលដោយអាជីវកម្មរបស់ក្រុមហ៊ុន។

การตรวจเอกสาร

กระดาษ

1. โครงสร้างกระดาษ

โครงสร้างกระดาษประกอบด้วยเส้นใยเซลลูโลส (cellulose fibers) จำนวนมากที่ซ้อนกัน กันหลายชั้น ซึ่งจะมีจับเป็นเนื้อเดียวกัน (homogeneous sheet) โดยการสานตัว (interweaving) หรือเกิดพันธะ (bonding) ระหว่างเส้นใยด้วยพันธะไฮโดรเจน (hydrogen bond) กระดาษเป็นวัสดุที่มีความเป็นรูปrun สูง (สมหวัง, 2546) โดยลักษณะพื้นผิวของกระดาษแสดงดังภาพที่ 1

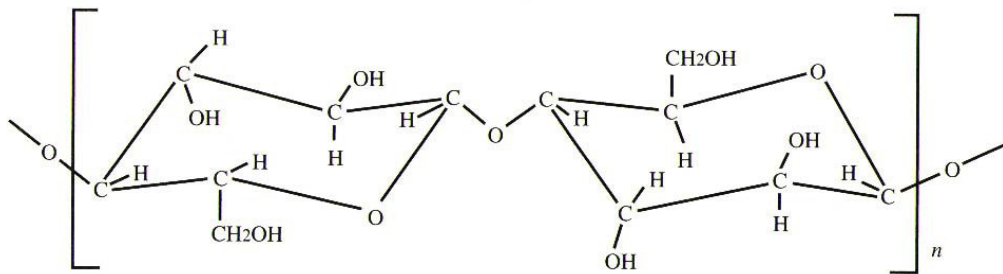


ภาพที่ 1 ลักษณะพื้นผิวของกระดาษ

ที่มา: College of Natural Resources (2002)

เซลลูโลส (cellulose) เป็นองค์ประกอบหลักของผนังเซลล์พืช เป็นโพลิแซคคาไรด์เชิงเส้น (linear polysaccharide) ที่ประกอบไปด้วยหน่วยของกลูโคส (glucose) จำนวนมากเชื่อมต่อกันเป็นโซ่อุปทรงด้วยพันธะบิตา-1-4 (ภาพที่ 2) ร้อยละ 70 ของเส้นใยเซลลูโลสเป็นโครงสร้างผลึก (crystalline structure) และร้อยละ 30 เป็นโครงสร้างอสัญฐาน (amorphous structure) (Vrajová and Krčma, 2006) ความแข็งแรงของเส้นใยเซลลูโลสเกิดขึ้นเนื่องจากการจัดเรียงตัวของหน่วยกลูโคส ในสายโพลิเมอร์และพันธะไฮโดรเจนที่ขัดเส้นใยไว้ โดยพันธะไฮโดรเจนจะสูญเสียความแข็งแรงเมื่อเส้นใยเซลลูโลสสัมผัสกับน้ำ เนื่องจากโมเลกุลของน้ำเข้าไปแทรกระหว่างหมู่ไฮดรอกซิล (hydroxyl group) และออกซิเจน (oxygen) ในกระบวนการผลิตกระดาษ เมื่อน้ำถูกกำจัดออกไป

จะทำให้สายโซ่ไมเดกูลอยู่ชิดกันและมีโอกาสที่หมุ่ไสครอซิลบนผิวน้ำของเส้นใยจะมาอยู่ใกล้กันและเกิดพันธะไสครอเจนขึ้นโดยตรง (ดวงทิพย์, 2550)



ภาพที่ 2 โครงสร้างของไมเดกูลเซลลูโลส

ที่มา: Humphries (2004)

2. องค์ประกอบของกระดาษ

กระดาษเป็นแผ่นวัสดุซึ่งได้จากการนำวัสดุหลายชนิดมาผสมให้เข้ากันแล้วนำไปทำเป็นแผ่น วัสดุที่ใช้เป็นส่วนผสมเหล่านี้ ได้แก่ เยื่อใยสัน เยื่อไขยา และสารเคมี โดยสามารถแบ่งเป็น 2 ส่วน คือ ส่วนที่เป็นองค์ประกอบหลักของกระดาษ ได้แก่ ส่วนที่เป็นเส้นใย (fiber) หรือ เยื่อ (pulp) ซึ่งเป็นโครงสร้างของแผ่นกระดาษ และส่วนที่ไม่ใช่เส้นใย ซึ่งเป็นสารเติมแต่ง (additive) ใช้เติมผสมลงในส่วนเส้นใยเพื่อปรับปรุงสมบัติกระดาษให้ได้ตามวัตถุประสงค์การใช้งาน ซึ่งกระดาษส่วนใหญ่มีเยื่อผสมอยู่ในปริมาณร้อยละ 70-95 ของน้ำหนักกระดาษ นอกจากเยื่อใยสัน และเยื่อไขยาแล้ว ยังมีการนำเยื่อหมุนเวียน (recycle pulp) มาเป็นส่วนผสมในการผลิตกระดาษ ด้วย ซึ่งอัตราส่วนของเยื่อจะแตกต่างกันไปตามคุณภาพของกระดาษที่ต้องการใช้งาน (ดวงทิพย์, 2550)

2.1 ส่วนที่เป็นเส้นใย (fiber)

2.1.1 เยื่อไขยา (needle pulp) ได้จากไม้ใบแคบ (softwood) เป็นไม้ที่ขึ้นบริเวณที่สูง อาทิตย์ เช่น โตช่า ในมีลักษณะแคบเรียวaya (needle) เส้นใยมีลักษณะหยาบ มีความแข็งแรงสูง มีความยาวประมาณ 3 มิลลิเมตร กว้างประมาณ 20-40 ไมครอน ($1 \text{ ไมครอน} = 0.001 \text{ มิลลิเมตร}$) ไม้ในกลุ่มนี้ได้แก่ สน (Pine) และสปรูซ (Spruce) เป็นต้น

2.1.2 เอื้อไชสัน (leaf pulp) ได้จากไม้ใบกว้าง (hardwood) เป็นไม้ที่ขึ้นในบริเวณเขตร้อน โตเร็ว ในมีลักษณะกว้าง (leaf) เส้นใยมีลักษณะเล็ก ละเอียด ความแข็งแรงค่อนข้างต่ำ มีความยาวประมาณ 1 มิลลิเมตร กว้างประมาณ 10-20 ไมครอน ไม้ในกลุ่มนี้ได้แก่ ยูคาลิปตัส (Eucalyptus) กระถินเทพา (Acacia) เปิร์ช (Birch) และแอสเพน (Aspen) เป็นต้น

ในประเทศไทยไม่มีแหล่งวัตถุดินประเกทไม้ใบแคบ เนื่องจากภูมิประเทศไม่อำนวย แต่สำหรับไม้ใบกว้างมีการปลูกสวนป่ายูคาลิปตัสกันมากในบริเวณภาคตะวันออกและทางตอนใต้ของภาคตะวันออกเฉียงเหนือ เพื่อใช้เป็นวัตถุดินในการผลิตเยื่อกระดาษ โดยเส้นใยของยูคาลิปตัสนั้น ได้รับการยอมรับว่าเหมาะสมที่สุดในการนำมาผลิตเป็นกระดาษ (แอ็ควนซ์ อร์ กอร์, ม.ป.ป.)

2.1.3 เอื้อหมุนเวียน (recycle pulp) ได้จากเศษกระดาษที่ผ่านการใช้งานแล้วและเศษกระดาษที่เหลือจากการผลิตกระดาษ เศษกระดาษเหล่านี้จะถูกย่อยให้มีขนาดเล็กและผ่านกระบวนการการผลิตเป็นเยื่อ โดยเยื่อที่ได้มีสมบัติตามเดือนไข่เริ่มต้น อย่างไรก็ตาม กระบวนการผลิตเยื่อส่งผลให้เยื่อหมุนเวียนที่ได้มีคุณภาพลดลงและมีความยาวของเส้นใยสั้นลง (Soroka, 2000)

2.2 ส่วนที่ไม่ใช่เส้นใย (non-fiber)

2.2.1 ตัวเติม (filler) เป็นสารเคมีที่เติมลงไปในกระบวนการผลิตกระดาษเพื่อช่วยอุดช่องว่างระหว่างเส้นใยและลดต้นทุนในการผลิต เนื่องจากสารตัวเติมส่วนมากมีราคาถูกกว่าเส้นใย และยังช่วยเพิ่มสมบัติทางทศนศาสตร์ (optical properties) ของกระดาษ ทำให้กระดาษสว่างขึ้น และพิวกระดาษเรียบขึ้น ตัวอย่างสารตัวเติม ได้แก่ ดินขาว (kaolin clay) ไทยเนียม ไคลอฟไทด์ (titanium dioxide) และแคลเซียมคาร์บอนेट (calcium carbonate) เป็นต้น

2.2.2 สารกันซึมภายใน (internal sizing agent) เป็นสารที่เติมลงในในขั้นตอนการผลิตเยื่อ เพื่อเพิ่มสมบัติการต้านทานน้ำและของเหลวให้กระดาษ ทำให้กระดาษมีอัตราการดูดซึมความชื้นลดลง ตัวอย่างสารกันซึมภายใน ได้แก่ ชันสน (rosin) ไข (wax) และยางมะตอย (asphalt) เป็นต้น

2.2.3 สารเพิ่มความแข็งแรงเมื่อเริ่มแห้ง (dry strength agent) เป็นสารที่เติมลงไปเพื่อเพิ่มแรงยึดเหนี่ยวของพันธะระหว่างเส้นใย ทำให้กระดาษมีความแข็งแรงเชิงกลเพิ่มขึ้น ตัวอย่าง

สารเพิ่มความแข็งแรงเมื่อเริ่มแห้ง ได้แก่ แป้งดัดแปร (modified starch) และแป้งมันสำปะหลัง เป็นต้น

2.2.4 สารเพิ่มความแข็งแรงเมื่อเปียก (wet strength agent) เป็นสารที่เติมลงไปเพื่อให้ กระดาษที่เปียกน้ำมีความแข็งแรง ไม่น้อยกว่าร้อยละ 50 ของความแข็งแรงเดิม ตัวอย่างสารเพิ่ม ความแข็งแรงเมื่อเปียก ได้แก่ เรซินสังเคราะห์ เป็นต้น

2.2.5 สารสีข้อม (dyes) เป็นสารที่เติมลงไปเพื่อให้กระดาษมีสีตามที่ต้องการ

2.2.6 สารฟอกนวล (optical brightening agent) เติมลงไปเพื่อเพิ่มความสว่างและลด การสะท้อนแสงของกระดาษ สารฟอกนวลใช้คู่กับสารสีข้อม โดยจะใช้สารฟอกนวลน้อยที่สุด เนื่องจากมีราคาสูง

2.2.7 สารเติมแต่งอื่นๆ ซึ่งทำหน้าที่ช่วยเสริมให้สารเติมแต่งที่กล่าวมาทำหน้าที่เฉพาะ อย่างได้ดีขึ้น เช่น สารเพิ่มการตกค้าง (retention aid) สารควบคุมจุลชีวะ (microbiological control agent) และสารต้านการเกิดฟอง (defoamers) เป็นต้น (บุญกร คณะฯ, 2545)

3. สมบัติของเยื่อและกระดาษ

สมบัติของเยื่อและกระดาษเกี่ยวข้องกับขั้นตอนการผลิตและการใช้งานสุดท้ายที่ต้องการ ซึ่งสามารถแบ่งออกได้เป็น 5 กลุ่ม คือ สมบัติทางกายภาพ สมบัติทางทัศนศาสตร์ สมบัติเชิงกล สมบัติการดูดซึม และสมบัติการสกัดกั่นการซึมผ่าน ซึ่งมีรายละเอียดดังนี้

3.1 สมบัติทางกายภาพ (physical properties)

3.1.1 น้ำหนักมาตรฐาน (basis weight) หมายถึง ค่าน้ำหนักต่อพื้นที่ของกระดาษ นิยมรายงานผลเป็นกรัมต่อตารางเมตร (g/m^2) หรือปอนด์ต่อ 1,000 ตารางฟุต ($\text{lb}/1000 \text{ ft}^2$) น้ำหนัก มาตรฐานมีประโยชน์ในการควบคุมการผลิตกระดาษ นิยมใช้เป็นเกณฑ์ในการซื้อขายกระดาษ และเป็นตัวบ่งบอกถึงสมบัติด้านอื่นๆ เช่น กระดาษที่มีน้ำหนักมาตรฐานมากจะมีความแข็งแรง ความหนา และความทึบแสงมากกว่ากระดาษที่มีน้ำหนักมาตรฐานน้อย

3.1.2 ความหนา (thickness) หมายถึง ระยะห่างที่ตั้งจากระหว่างผิวด้านบนและผิวด้านล่างของกระดาษ นิยมระบุหน่วยเป็นมิลลิเมตร (mm) หรือไมโครเมตร (μm) โดยทั่วไปเมื่อกระดาษมีหนานักมากฐานเพิ่มขึ้น ความหนาของกระดาษมักจะเพิ่มขึ้น และทำให้กระดาษมีสมบัติด้านความแข็งแรงเพิ่มขึ้น

3.1.3 ความฟ้ามและความหนาแน่น (bulk and density) ความฟ้าม หมายถึง ปริมาตรของกระดาษต่อน้ำหนัก มีหน่วยเป็นลูกบาศก์เซนติเมตรต่อกรัม (cm^3/g) ความฟ้ามเป็นค่าที่แสดงส่วนกลับของความหนาแน่น ซึ่งความหนาแน่นแสดงถึงน้ำหนักของกระดาษต่อปริมาตร และมีหน่วยเป็นกรัมต่อลูกบาศก์เซนติเมตร (g/cm^3) หรือปอนด์ต่อลูกบาศก์ฟุต (lb/ft^3) กระดาษแต่ละชนิดมีความหนาแน่นไม่เท่ากัน เช่น กระดาษเคลือบ ไม่มีความหนาแน่นสูง กระดาษทิชชูมีความหนาแน่นต่ำ เป็นต้น

3.1.4 ความชื้น (moisture content) หมายถึง ปริมาณน้ำในกระดาษ สามารถผันแปรได้ตามอุณหภูมิและความชื้นสัมพัทธ์ในอากาศ เป็นสมบัติที่มีความสำคัญมากตัวหนึ่ง เนื่องจากสัมพันธ์กับความแข็งแรงของกระดาษ ความชื้นในกระดาษมากเกินไป ทำให้กระดาษโก้งงอ เกิดรอยย่น ขนาดเปลี่ยนแปลง และเพิ่มความลำบากในการเคลื่อนย้าย แต่หากความชื้นในกระดาษน้อยเกินไป ส่งผลให้กระดาษกรอบ และขาดความยืดหยุ่น เป็นต้น (Kline, 1991)

3.1.5 ทิศทางของเส้นใย (directionality) หมายถึง แนวหรือทิศทางการเรียงตัวของเส้นใยเซลลูโลสในกระดาษ เมื่อพิจารณาการเกิดเป็นแผ่นกระดาษของน้ำเข้มข้นกระดาษ พนว่าเส้นใยเซลลูโลสส่วนมากมีการเรียงตัวในทิศทางการไฟล์และการเคลื่อนที่ของตะแกรงบนเครื่องผลิตกระดาษ ดังนั้น แนวการเรียงตัวของเส้นใยหรือแนวเส้นใยของกระดาษจึงอยู่ในแนวนานาเครื่องจักร หรือ machine direction (MD) เป็นส่วนใหญ่ ส่วนแนวของกระดาษที่ตั้งฉากกับแนว machine direction เรียกว่า แนววางเครื่องจักร หรือ cross direction (CD) เนื่องจากการเรียงตัวของเส้นใยในกระดาษทั้งสองแนวมีความแตกต่างกัน จึงมีผลให้สมบัติของกระดาษทั้งสองแนวแตกต่างกันด้วย โดยเฉพาะอย่างยิ่งสมบัติเชิงกลของกระดาษ (แอ็ควนซ์ อัล โกร, ม.ป.ป.)

3.2 สมบัติทางทัศนศาสตร์ (optical properties)

3.2.1 ความสว่าง (brightness) ในวงการอุตสาหกรรมกระดาษ ความสว่าง หมายถึง ค่าการสะท้อนแสงของแสงสีน้ำเงินที่ช่วงคลื่น 457 นาโนเมตร จุดประสงค์ของการวัดความสว่าง

เพื่อต้องการคุณลักษณะของการฟอกเยื่อเป็นสำคัญ เยื่อกระดาษที่ยังไม่ได้ฟอกส่วนมากมีสีน้ำตาลเข้ม จนถึงเหลืองอ่อน เนื่องจากลิกนินคุดชับแสงสีน้ำเงินไว ทำให้ค่าการสะท้อนแสงที่ได้ในช่วงแสง สีน้ำเงินมีค่าต่ำ แต่เมื่อนำเยื่อไปฟอกโดยการจัดลิกนินออก เยื่อฟอกขาวที่ได้จะให้ค่าการสะท้อนแสง สีน้ำเงินสูงขึ้น

3.2.2 ความทึบแสง (opacity) เป็นคุณสมบัติที่จำเป็นสำหรับกระดาษพิมพ์และเบียน กระดาษต้องทึบแสงเพียงพอที่จะบังภาพหรืออักษรที่อยู่ด้านหลังไม่ให้ปรากฏจนเกิดปัญหาในการ อ่านและความชัดเจนของสิ่งพิมพ์ ความทึบแสงสามารถวัดได้โดยเบรียบเทียบค่าการสะท้อนแสง สีขาวที่ช่วงคลื่น 557 นาโนเมตร ระหว่างกระดาษแผ่นเดียวที่รองด้านหลังด้วยพื้นสีดำสนิทกับ กระดาษที่วางช้อนกันหนาจนแสงไม่ผ่านทะลุ โดยความทึบแสงและความสว่างขึ้นอยู่กับปัจจัย สำคัญ 2 ประการ คือ การกระจายแสงและการคุดชับแสง กระดาษที่ใช้เยื่อที่มีความสว่างสูงอาจมี ปัญหาด้านความทึบแสง เพราะเยื่อจะมีความทึบแสงน้อยลง การใช้สารเติมแต่งช่วยเพิ่มการกระจาย แสงในเนื้อกระดาษสามารถช่วยปรับปรุงความทึบแสงของกระดาษให้ดีขึ้น

3.2.3 ความมันวาว (gloss) เป็นลักษณะของผิวกระดาษที่สะท้อนแสง มุมที่กำหนด โดยมุมสะท้อนเท่ากับมุมตกกระทบ สำหรับกระดาษนิยมให้เชิงมุม 75 องศา กับเส้นปกติ ถ้าแสงที่ สะท้อนในเชิงมุม (specular) ดังกล่าวมีมากกว่าแสงที่สะท้อนแบบทั่วไป (diffuse) ผิวกระดาษจะดู มันวาวมาก

3.2.4 ความขาว (whiteness) เป็นสมบัติที่แตกต่างจากความสว่าง มนุษย์เราจะรู้สึกว่า กระดาษหรือวัสดุใดมีสีขาวกว่าอีกสิ่งหนึ่ง ถ้ากระดาษนั้นสะท้อนแสงในช่วงคลื่นที่ตามองเห็น ออกมาน้ำมันเสมอ กว่า การบีบ (tinting) กระดาษขาวด้วยสีม่วงหรือสีน้ำเงินสามารถทำให้กระดาษ ขาวขึ้น เนื่องจากแสงสีเหลืองและแสงสีแดงถูกคุดชับไว้มากขึ้นจึงถูกสะท้อนออกมาน้อยลง เมื่อวัด ค่าความสว่างจะพบว่าลดลงเล็กน้อย เนื่องจากสีที่ใส่ลงไปในกระดาษจะถูกคุดคลื่นแสงไว้ แต่สี น้ำเงินจะมีผลกระทบต่อค่าความสว่างน้อยกว่าสีอื่น ซึ่งการใช้สารฟอกขาวในกระดาษช่วยทำให้ กระดาษมีการสะท้อนแสงในช่วงคลื่นสีม่วงและสีน้ำเงินมากขึ้น กระดาษจึงขาวขึ้นเมื่อถูกด้วย แสงแดดหรือแสงที่มีปริมาณรังสีอัลตราไวโอเลตใกล้เคียงกับแสงธรรมชาติในเวลากลางวัน (บุญกร และคณะ, 2545; แอ็ควนซ์ อัลโกร, ม.ป.ป.)

3.3 สมบัติเชิงกล (mechanical properties)

3.3.1 ความต้านทานแรงดึง (tensile strength) เป็นความสามารถของกระดาษในการต้านทานแรงดึงที่มีการทำที่ปลายนิ้วสองด้านของตัวอย่างที่มีขนาดตามมาตรฐานกำหนด วัดค่าอุกอาจเป็นแรงที่ใช้ดึงให้ตัวอย่างขาด มีหน่วยเป็นกิโลนิวตันต่อมเมตร (kN/m) หรือปอนด์ต่อนิ้ว (lb/in) ความต้านทานแรงดึงมีความสำคัญสำหรับกระดาษที่ต้องผ่านการพิมพ์เนื่องจากในเครื่องพิมพ์จะมีลูกกลิ้งสำหรับดึงให้กระดาษเคลื่อนที่ไปข้างหน้าด้วยความเร็วสูง นอกจากนี้ยังจำเป็นสำหรับการซับบรรจุภัณฑ์ประเภทกระดาษที่ต้องรองรับแรงดึงได้ดี เช่น ถุงกระดาษ โดยปัจจัยที่มีผลต่อความต้านทานแรงดึงของกระดาษ ได้แก่ ชนิดเยื่อ ปริมาณการบดเยื่อ ปริมาณการครีดหน้า หนักกิโลกรัมกระดาษ ปริมาณของสารเติมแต่ง และปริมาณความชื้นในกระดาษ เป็นต้น

3.3.2 ความต้านทานแรงดันทะลุ (bursting strength) เป็นความสามารถของกระดาษในการต้านทานแรงดันที่กระทำบนแผ่นกระดาษ วัดค่าอุกอาจเป็นแรงดันที่ทำให้แผ่นตัวอย่างขาด มีหน่วยเป็นกิโลกรัมต่อตารางเซนติเมตร (kg/cm^2) หรือกิโลปascอล (kPa) หรือปอนด์ต่อตารางนิ้ว (lb/in^2) ความต้านทานแรงดันทะลุเกี่ยวข้องกับพันธะที่ยึดกันระหว่างเส้นใยแต่ละเส้น ถ้าแรงซึ่ดเกะจะมีค่าสูง กระดาษจะมีความต้านทานต่อแรงดันทะลุดีขึ้น

3.3.3 ความต้านทานแรงกดวงแหวน (ring crush strength) หมายถึง ความสามารถของกระดาษในการต้านทานแรงกดในแนววนรอบเดียวกับกระดาษจนบนกระดาษหักพับ มีหน่วยเป็นกิโลนิวตันต่อมเมตร (kN/m) เป็นค่าที่นิยมใช้ทดสอบกระดาษแข็งและกระดาษกระดาษลูกฟูก

3.3.4 ความต้านทานการพับ (fold strength) หมายถึง จำนวนครั้งของการหักพับไปมาของกระดาษจนกระแทกกระดาษหักกัน โดยการใช้แรงดึงในการทดสอบตามมาตรฐานกำหนด เช่น หนึ่งกิโลกรัม เป็นต้น พับกระดาษด้วยมุน 270 องศา ความต้านทานการพับมีความจำเป็นสำหรับกระดาษที่นำไปผลิตเป็นผลิตภัณฑ์ที่ต้องมีการพับมาก เช่น ซองจดหมาย และกล่องกระดาษ เป็นต้น (Kline, 1991)

3.4 สมบัติการดูดซึม (absorption properties)

สมบัติการดูดซึมของกระดาษที่พบได้บ่อยและมีความสำคัญต่อการนำกระดาษไปใช้ประโยชน์ได้แก่ การดูดซึมน้ำ น้ำมัน และหมึกพิมพ์ เป็นต้น ซึ่งนิยมวัดเป็นปริมาณของของเหลวที่ถูกดูดซึมทั้งหมดต่อพื้นที่และเวลาที่กำหนด ทั้งนี้ขึ้นอยู่กับกระดาษว่ามีความสามารถในการดูดซึมของเหลวชนิดนั้นมากน้อยเพียงใด (ดวงทิพย์, 2550)

3.5 สมบัติการสกัดกั้นการซึมผ่าน (barrier properties)

กระดาษเป็นวัสดุที่มีรูพรุนสูง ทำให้กระดาษมีสมบัติการสกัดกั้นการซึมผ่านของแก๊ส และไอน้ำต่ำ เนื่องจากแก๊สหรือไอน้ำสามารถซึมผ่านเข้าไประหว่างรูพรุนหรือช่องว่างระหว่างเส้นใยกระดาษได้

นอกจากนี้ เส้นใยหรือเยื่อส่วนใหญ่ที่ใช้ในการผลิตกระดาษมีความสามารถในการดูดซึมความชื้น(hygroscopic) ทำให้สมบัติทางกายภาพของเส้นใยเปลี่ยนแปลงไป จึงอาจมีผลต่อการเปลี่ยนแปลงสมบัติของกระดาษ เช่น การเพิ่มชื้นหรือลดลงของน้ำหนักพื้นฐาน และความแข็งแรงของกระดาษ เป็นต้น การที่กระดาษมีความสามารถในการดูดซึมความชื้นทำให้กระดาษสามารถดูดซึมความชื้นจากบรรยายกาศและสูญเสียความชื้นสู่บรรยายกาศได้ โดยอัตราเร็วในการดูดซึมความชื้นของกระดาษขึ้นอยู่กับปริมาณความชื้นสัมพัทธ์ในอากาศและอุณหภูมิในขณะนั้น เมื่อความชื้นสัมพัทธ์หรืออุณหภูมิในอากาศเปลี่ยนแปลงไปเพียงเล็กน้อย ปริมาณความชื้นในกระดาษก็จะเปลี่ยนแปลงเช่นกัน (ดวงทิพย์, 2550) ดังนั้น ในการทดสอบสมบัติต่างๆ ของกระดาษ จึงต้องกำหนดสภาพที่ใช้ในการทดสอบอย่างชัดเจน คือ ก่อนทำการทดสอบต้องมีการปรับสภาพของแผ่นตัวอย่างกระดาษ เช่น มาตรฐาน ISO 187 กำหนดให้นำแผ่นตัวอย่างปรับสภาพที่ 23 ± 1 องศาเซลเซียส ความชื้นสัมพัทธ์อยู่ที่ 50 ± 2 ส่วนประเภทในเขตกรอบนี้อาจมีการปรับสภาพที่ 27 ± 1 องศาเซลเซียส ความชื้นสัมพัทธ์อยู่ที่ 65 ± 2 เป็นต้น (นวพร, 2549)

4. ประเภทของกระดาษ

กระดาษที่ใช้สำหรับผลิตเป็นภาชนะบรรจุอาจสามารถแบ่งตามความแข็งแรงของกระดาษออกเป็น 3 ประเภท ดังต่อไปนี้ (บุญกร และคณะ, 2545)

4.1 กระดาษ (paper) หมายถึง วัสดุที่ได้จากการสานอัดแน่นของเส้นใยจากพืชจนเป็นแผ่นบาง โดยทั่วไปมีความหนาไม่เกิน 0.012 นิ้ว หรือน้ำหนักมาตรฐาน (basis weight) ไม่เกิน 225 กรัมต่อตารางเมตร นิยมนิยมนำมารวบรวมกันเป็นภาษาบนบรรจุภัณฑ์ของกระดาษ และถุงกระดาษ เป็นต้น

4.2 กระดาษแข็ง (paperboard) หมายถึง กระดาษที่มีความหนามากกว่า 0.012 นิ้ว มีความแข็งแรงมากกว่ากระดาษทั่วไป นิยมนิยมนำมารวบรวมกันเป็นกล่องกระดาษแข็ง ซึ่งเป็นภาษาบนบรรจุภัณฑ์ของกระดาษแข็งที่ได้รับความนิยมสูงสุด กระดาษแข็งที่ใช้ผลิตกล่องสามารถแบ่งย่อยออกเป็น 2 ประเภท (Mew 6 Design, 2003) ดังนี้

4.2.1 กระดาษกล่องขาวเคลือบ (duplex board) เป็นกระดาษแข็งที่เกิดจากการซ้อนกันหลายๆ ชั้นของเยื่อและเศษกระดาษ โดยการรีดประกอบเป็นแผ่นเดียวกัน พร้อมทั้งมีการเคลือบสารเคมีที่ผิวน้ำเพื่อประทโยชน์ในด้านการพิมพ์สอดคล้องที่สวยงาม นิยมใช้เป็นภาษาบนบรรจุชั้นในสำหรับสินค้าต่างๆ เช่น อาหาร เบเกอรี่ เครื่องสำอาง ผงซักฟอก และเครื่องใช้ไฟฟ้า เป็นต้น

4.2.2 กระดาษกล่องขาวไม่เคลือบ (uncoated duplex board) เป็นกระดาษแข็งที่มีลักษณะใกล้เคียงกับกระดาษแข็งเคลือบ แต่มีเนื้อกระดาษหยาบกว่าและสีขาวของกระดาษมีความไม่สม่ำเสมอ

4.3 กระดาษลูกฟูก (corrugated board) เป็นกระดาษที่ประกอบด้วยกระดาษพิว (liner) และกระดาษลอนลูกฟูก (corrugated medium) เรียงประกอบติดสลับชั้นกัน นิยมผลิตเป็นกล่องกระดาษลูกฟูกเพื่อใช้ในการขนส่ง มีความแข็งแรงมากกว่ากล่องกระดาษแข็ง กระดาษลูกฟูกสามารถแบ่งย่อยออกเป็น 4 ประเภท ตามความแข็งแรงได้ดังนี้ (ประชิด, 2531)

4.3.1 กระดาษลูกฟูกสองชั้น (single faced corrugated) ประกอบด้วยลอนลูกฟูกหนึ่งล่อนปะติดกับกระดาษแผ่นเรียบหนึ่งแผ่น

4.3.2 กระดาษลูกฟูกสามชั้น (single wall corrugated) ประกอบด้วยลอนลูกฟูกหนึ่งล่อนปะติดกับกระดาษแผ่นเรียบ 2 แผ่น

4.3.3 กระดาษลูกฟูกห้าชั้น (double wall corrugated) ประกอบด้วยกระดาษแผ่นเรียบ 3 แผ่น สลับกับลอนลูกฟูก 2 แผ่น กระดาษลูกฟูกชนิดนี้จะมีความแข็งแรงมากกว่ากระดาษลูกฟูกสามชั้น

4.3.4 กระดาษลูกฟูกเจ็ดชั้น (triple wall corrugated) ประกอบด้วยกระดาษแผ่นเรียบ 4 แผ่น สลับกับลอนลูกฟูก 3 แผ่น เป็นกระดาษลูกฟูกที่มีความแข็งแรงมากขึ้น นิยมใช้กับการบรรจุขนาดใหญ่และต้องการความแข็งแรงสูง

5. การทดสอบระดับความต้านทานน้ำของกระดาษ

การทดสอบที่ใช้เพื่อวัดระดับความต้านทานน้ำของกระดาษโดยทั่วไปอาจแบ่งเป็น 3 วิธี ด้วยกัน ได้แก่

5.1 Cobb test

Cobb test เป็นวิธีที่ง่ายและใช้อุปกรณ์ไม่ซุ่งยาก อีกทั้งยังมีความยืดหยุ่นต่อชนิดของของเหลวที่ใช้วิธีนี้จึงนิยมใช้ในการทดสอบระดับความต้านทานน้ำของกระดาษมากที่สุด อุปกรณ์ของ Cobb test ประกอบด้วยฐานที่ทำจากโลหะและวงแหวนโลหะ ก่อนการทดสอบจะมีการซั่งน้ำหนักของกระดาษตัวอย่างไว้ โดยตัวอย่างมีขนาดใหญ่กว่าวงแหวนเล็กน้อย นำตัวอย่างวางบนฐานโลหะทับด้วยวงแหวนโลหะ จากนั้นเทองเหลวลงในบริเวณวงแหวนที่รูปพีนที่แน่นอน ทิ้งไว้เป็นระยะเวลาหนึ่งจึงเทองเหลวออกจากวงแหวน ซับของเหลวส่วนเกินออกจากผิwtัวอย่างและนำตัวอย่างไปซั่งน้ำหนักอีกรอบ รายงานผลเป็นน้ำหนักของของเหลวที่ถูกกระดาษตัวอย่างดูดซับไว้ต่อพีนที่กระดาษ (กรัมต่อตารางเมตร) (ดวงทิพย์, 2550)

5.2 absorption time

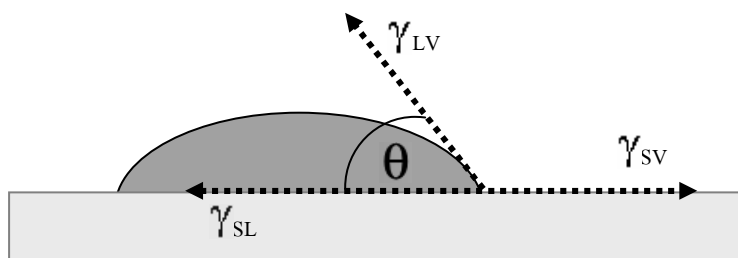
absorption time เป็นการทดสอบสมบัติการดูดซึมของเหลวของวัสดุประเภทเส้นใยโดยการหยดหยดของเหลวที่มีปริมาตรคงที่ลงบนผิววัสดุ และจับเวลาในการที่หยดของเหลวนี้ง่ายดใช้ในการซึมผ่านลงในวัสดุน้ำ ซึ่งเวลาที่ได้เป็นตัวบ่งชี้ความสามารถในการดูดซับของเหลวของวัสดุอย่างไรก็ตาม ในกรณีของน้ำ เวลาที่ใช้ในการดูดซับน้ำหนึ่งหยด (water absorption time)

จะถูกกำหนดไว้สูงสุดที่ 200 นาที เมื่อจากที่ระยะเวลานานกว่านี้จะพิจารณาว่าปริมาตรของหยดน้ำหายไปเนื่องจากเกิดการระเหย (สตรีรัตน์, 2550)

5.3 contact angle

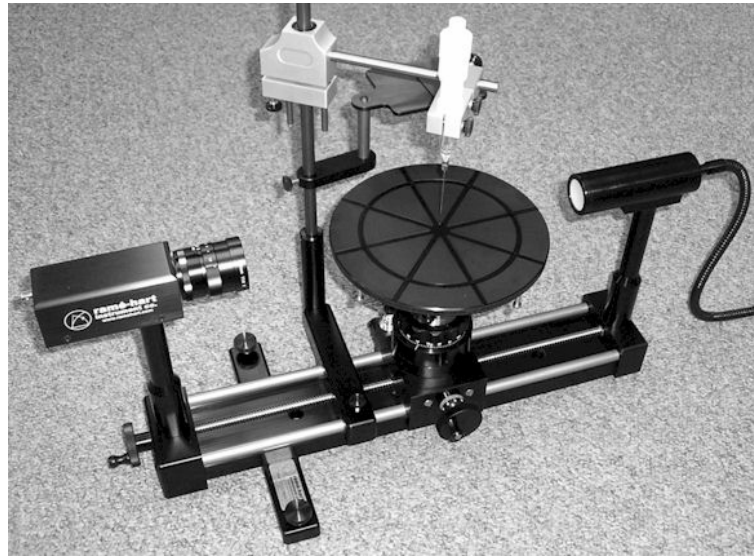
การวัดมุมสัมผัส (contact angle, θ) ของหยดของเหลวบนพื้นผิววัสดุสามารถบ่งบอกถึงพลังงานพิวของวัสดุนั้นๆ ได้ มุมสัมผัส คือ มุมที่เกิดขึ้นระหว่างรอยต่อระหว่างของเหลวและแก๊สกับพื้นผิวของแข็ง มุมสัมผัสเป็นค่าเฉลี่ยของสารกับพื้นผิว แนวคิดโดยทั่วไป คือ การวัดด้วยหยดของของเหลวบนพื้นผิวของแข็งในแนวระนาบ ซึ่งแสดงให้เห็นถึงสมบัติการเปียกของของแข็งชนิดนั้น (ภาพที่ 3) หยดที่มีมุมสัมผัสขนาดใหญ่จะไม่ชอบน้ำ (hydrophobic) ลักษณะเช่นนี้แสดงว่ามีการเปียก (wettability) การยึดติด (adhesion) และพลังงานผิว (surface energy) ต่ำ ส่วนหยดที่มีมุมสัมผัสขนาดเล็กจะชอบน้ำ (hydrophilic) ลักษณะเช่นนี้แสดงว่ามีการเปียก การยึดติด และพลังงานผิวที่สูงกว่า (พันธุ์วัฒน์, 2547; ประดุง, 2550)

การวัดมุมสัมผัสมีอยู่ 2 แบบ คือ แบบสถิตศาสตร์ (static) เป็นการวัดมุมสัมผัส ณ เวลาใดเวลาหนึ่ง และแบบพลศาสตร์ (dynamic) เป็นการวัดมุมสัมผัสด้อย่างต่อเนื่องในช่วงเวลาใดเวลาหนึ่ง ในการวัดมุมสัมผัสจะใช้เครื่องมือที่เรียกว่า goniometer (ภาพที่ 4) โดยใช้กล้องที่ติดภายในเครื่องจับภาพลักษณะของของเหลวน้ำที่เป็นของแข็ง และวัดค่ามุมสัมผัสระหว่างหยดของเหลวกับพื้นผิววัสดุ และแปลผลที่ได้ออกมาเป็นค่าพลังงานผิวโดยอัตโนมัติ (Wikipedia, 2008)



ภาพที่ 3 มุมสัมผัส

ที่มา: Wikipedia (2008)



ภาพที่ 4 เครื่องวัดมุมสัมผัส goniometer

ที่มา: Wikipedia (2008)

ค่ามุมสัมผัสมีความสัมพันธ์กับแรงตึงผิว (γ , surface tension) ของวัตถุ ดังนี้

$$\gamma_{LV} \cos\theta = \gamma_{SV} - \gamma_{SL} \quad (1)$$

เมื่อ θ คือ มุมสัมผัส (contact angle) ที่ได้จากการทดลอง

γ_{LV} คือ แรงตึงผิวระหว่างของเหลวกับแก๊ส (liquid/gas)

γ_{SV} คือ แรงตึงผิวระหว่างของแข็งกับแก๊ส (solid/gas)

γ_{SL} คือ แรงตึงผิวระหว่างของแข็งกับของเหลว (solid/liquid)

ค่าที่ต้องการรู้ คือ ค่าแรงตึงผิวระหว่างของแข็งกับแก๊ส (γ_{SV}) หรือ แรงตึงผิวของของแข็ง (γ_S) แต่เนื่องจากแรงตึงผิวระหว่างของแข็งกับของเหลว (γ_{SL}) ไม่สามารถวัดหาค่าได้โดยตรง ในขณะที่แรงตึงผิวระหว่างของเหลวกับแก๊ส (γ_{LV}) หรือ แรงตึงผิวของของเหลว (γ_L) สามารถวัดค่าได้โดยตรง โดยแรงตึงผิวของน้ำมีค่าเท่ากับ 72.8 ดายน์ต่อเซนติเมตร จากสมการ (1) จะเห็นว่ารูปแบบสมการมี 1 สมการ กับ 2 ตัวแปร จึงเป็นไปไม่ได้ที่จะแก้สมการหาค่าแรงตึงผิวของของแข็งออกมากได้ จึงได้มีการหาวิธีประมาณค่าแรงตึงผิวของของแข็งขึ้นมา ซึ่งในปัจจุบันมีอยู่หลายวิธี โดยแต่ละวิธีให้ค่าแรงตึงผิวของของแข็งที่ต่างกันออกไป ซึ่งอาจต่างกันถึงร้อยละ 25 ดังนั้น จึงยังไม่มีวิธีไหนที่สามารถวัดค่าแรงตึงผิวของของแข็งได้อย่างถูกต้อง (ประดุจ, 2550)

อย่างไรก็ตาม นอกจากค่าแรงตึงผิวของของแข็งแล้วยังมีค่าอื่นๆ ที่เกี่ยวข้องกับ นูนสัมผัส และสามารถถูกใช้ในการนิยามบัติกการดูดซึมหรือไม่ดูดซึมน้ำของวัสดุ ซึ่งสามารถหา ได้โดยตรง เป็นค่าที่แสดงถึงความสัมพันธ์ของการยึดเหนี่ยวกันระหว่างของเหลวกับของแข็ง เช่น ค่างานของการยึดติด (work of adhesion, W_a) ซึ่งเป็นค่าที่บวกถึงแรงที่ต้องใช้ในการแยกของเหลว ออกจากของแข็ง ถ้างานของการยึดติดมีค่ามาก แสดงว่าต้องใช้แรงในการแยกของเหลวออกจาก ของแข็งมาก แต่ถ้านานของการยึดติดมีค่าน้อย แสดงว่าใช้แรงน้อยในการแยกของเหลวออกจาก ของแข็ง โดยงานของการยึดติดมีหน่วยเป็น ดายน์ต่อเซนติเมตร (dynes/cm) และมีสมการ ความสัมพันธ์ ดังนี้ (Schroder, 1999)

$$W_a = \gamma_{sv} + \gamma_{lv} - \gamma_{sl} \quad (2)$$

เมื่อ W_a คือ งานของการยึดติด (work of adhesion) ของหยดของเหลวบนผิวของแข็ง และเมื่อร่วมสมการ (1) กับ (2) จะได้สมการดังนี้

$$W_a = \gamma_{lv} (1 + \cos\theta)$$

หรือเขียนได้ว่า

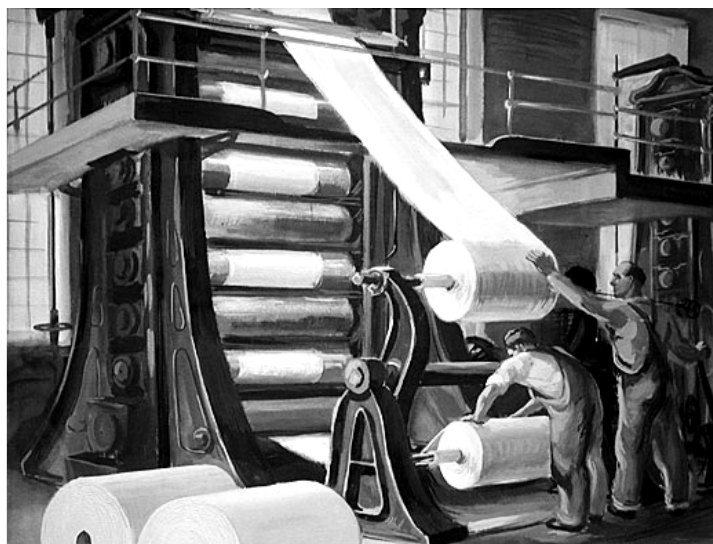
$$W_a = \gamma_l (1 + \cos\theta) \quad (3)$$

การปรับสภาพผิวกระดาษ

การปรับสภาพผิวกระดาษ (paper surface modification) เป็นความต้องการของ อุตสาหกรรมที่เกี่ยวข้องกับกระดาษที่จะปรับปรุงคุณภาพกระดาษ เพื่อให้สามารถใช้งานได้ตาม ความต้องการ ในด้านของอุตสาหกรรมภาษชนะบรรจุ ต้องการปรับสภาพผิวกระดาษให้สามารถ ต้านทานน้ำเพิ่มขึ้น เพื่อเพิ่มความแข็งแรงให้กับกล่องกระดาษ ซึ่งความแข็งแรงของกล่องกระดาษ จะลดลงเมื่อสัมผัสน้ำหรือความชื้น การปรับสภาพผิวกระดาษมีอยู่ด้วยกัน 2 วิธี คือ การปรับสภาพ ผิวทางกายภาพ (physical modification) และการปรับสภาพผิวทางเคมี (chemical modification)

1. การปรับสภาพผิวทางกายภาพ

การปรับสภาพผิวกระดาษด้วยวิธีทางกายภาพอยู่ในขั้นตอนของชุดขั้คพิว (calender) ในกระบวนการผลิตกระดาษ โดยกระดาษถูกรีดผ่านชุดลูกกริด ซึ่งเป็นชุดลูกกลิ้งโลหะวางเรียงช้อนกันในแนวตั้ง (ภาพที่ 5) ซึ่งให้แรงกดไปที่กระดาษทำให้กระดาษมีผิวเรียบมากขึ้น มีความหนาสม่ำเสมอ ความมันวาว (gloss) และมีความเหมาะสมในการพิมพ์มากขึ้น (Biermann, 1996)



ภาพที่ 5 ชุดลูกกริดของเครื่องจักรผลิตกระดาษ

ที่มา: Paper Discovery Center (2007)

2. การปรับสภาพผิวทางเคมี

การปรับสภาพผิวทางเคมีมีวัตถุประสงค์เพื่อให้กระดาษมีสมบัติของผิวน้ำตามต้องการ เช่น เพื่อเพิ่มความแข็งแรงของผิวกระดาษ เพื่อเพิ่มความด้านทานน้ำ หรือ เพิ่มความด้านทานไขมัน และน้ำมัน เป็นต้น การปรับสภาพผิวทางเคมีสามารถแบ่งเป็น 2 ประเภท (Biermann, 1996) ดังนี้

2.1 การฉาบด้วยสารกันชื้น (surface sizing)

การฉาบด้วยสารกันชื้นเป็นการทำให้ผิวกระดาษด้านทานการซึมผ่านของน้ำได้มากขึ้นอยู่ในขั้นตอนของชุดฉาบพิว (size press) ในกระบวนการผลิตกระดาษ วัตถุประสงค์หลักเพื่อให้กระดาษมีสมบัติดีขึ้น เหมาะกับการนำไปใช้งาน โดยกระดาษจะผ่านการฉาบด้วยสารกันชื้น ความ

พรุนของกระดาษจะลดลงเนื่องจากสารกันซึมไปอุดรูเล็กๆ ที่ผิวกระดาษ ทำให้ความต้านทานการถอดผิว (picking resistance) ความต้านทานการดูดซึมน้ำ (water resistance) และความเรียบ (smoothness) ของกระดาษดีขึ้น

2.2 การเคลือบ (coating)

การเคลือบมีวัตถุประสงค์หลักเพื่อเพิ่มคุณภาพในการพิมพ์และเพิ่มสมบัติบางประการให้เป็นไปตามความต้องการในการใช้งานมากขึ้น นิยมเคลือบผิวกระดาษด้วยสารเติมแต่ง โดยมีสารยึดสารเติมแต่งให้ติดบนผิวกระดาษ เช่น การเคลือบด้วยสารสี และการเคลือบเพื่อปรับสภาพผิวชั้งช่วยให้กระดาษมีผิวเรียบและลื่นกว่าเดิม ความสามารถในการพิมพ์ดีขึ้น หรือเพื่อตอกแต่งลักษณะปรากฏของงานพิมพ์ การเคลือบเพื่อนำไปใช้งานด้านอื่นๆ เช่น การเคลือบด้วยพอลิเมอร์หรือวัสดุอื่นๆ เพื่อเพิ่มสมบัติการต้านทานน้ำและไขมันสำหรับภาชนะบรรจุอาหาร เช่น เชือก เป็นต้น

วิธีการเคลือบสามารถแบ่งเป็น 4 ประเภท (อรศิริ, 2545) ดังนี้

2.2.1 การเคลือบโดยใช้แปรง (brush application) เป็นวิธีการที่เก่าแก่ที่สุด ทำโดยการพาสารเคลือบไปเคลือบกระดาษด้วยแปรงที่หมุนต่อเนื่องหลักการคล้ายการทาสี

2.2.2 การเคลือบโดยลูกกลิ้ง (roll application) ซึ่งมีทั้งแบบควบคุมปริมาณสารเคลือบ (pre-metering) เช่น metering nip, dip roll and doctor blade coater และ gravure coater เป็นต้น ส่วนวิธีที่ไม่ควบคุมปริมาณสารเคลือบ ได้แก่ การใช้ squeeze roll, upside-down knife และ air knife เป็นต้น

2.2.3 การเคลือบโดยการพ่นฝอย (spray application) ทำได้โดยการพ่นสารเคลือบลงบนผิวกระดาษโดยตรง

2.2.4 การเคลือบโดยวิธี casting วิธีนี้ทำโดยเทสารละลายลงบนกระดาษหรือวัสดุต่างๆ และทำให้สารเคลือบแห้งโดยใช้ความร้อน เช่น ลมร้อนหรือลูกกลิ้งร้อน เป็นต้น

ในช่วงระยะเวลา 10 ปีที่ผ่านมา วิธีต่างๆ ที่ใช้ในการปรับสภาพผิววัสดุได้มีการพัฒนาอย่างต่อเนื่อง ซึ่งนอกจากวิธีการปรับสภาพผิวกระดาษดังที่กล่าวมาแล้ว วิธีการประยุกต์พลาสma

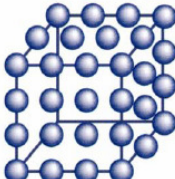
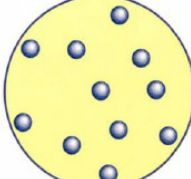
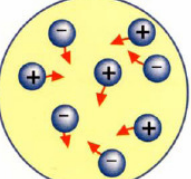
(plasma treatment) ยังเป็นอีกวิธีหนึ่งที่กำลังได้รับความสนใจในการนำมาปรับสภาพผิวกระดายชั่วtempo โลยีการปรับสภาพผิวสุดด้วยพลาสมานั้น มีข้อดีหลายประการ เช่น สามารถใช้ได้กับวัสดุที่มีโครงสร้างซับซ้อน มีประสิทธิภาพสูงในการกระตุ้นปฏิกิริยาบนผิวสุดต่างๆ ฟิล์มที่เคลือบมีความบางในระดับนาโนเมตร เป็นกระบวนการแบบแห้งจึงไม่มีความชื้นที่อาจส่งผลเสียต่อวัสดุที่เป็นสีน้ำเงิน ประยุคสารเคมี และเป็นเทคโนโลยีสะอาดจึงไม่ก่อให้เกิดสารเคมีที่เป็นของเสีย เป็นต้น (Ellinghorst, 2006; Kim *et al.*, 2006)

พลาasma

โดยทั่วไปนิยมกล่าวว่าพลาasma เป็นสถานะที่สี่ของสาร นั่นคือจากสารเริ่มต้นในสถานะของแข็ง เมื่อเพิ่มพลังงานหรือความร้อนให้กับสารจนถึงระดับหนึ่ง สารในสถานะของแข็งก็จะหลอมกลายเป็นของเหลว เมื่อให้พลังงานต่อไปจากของเหลวที่จะระเหยกลายเป็นแก๊ส และถ้าขังให้พลังงานแก่สารต่อไปอีก อะตอนของแก๊สก็จะแตกตัวเป็นอิเล็กตรอนอิสระและไอออนกลายเป็นสถานะพลาasma ซึ่งเป็นสถานะที่มีพลังงานสูง โดยเรียกการเกิดสถานะทั้งสี่ว่า “4 state of matter” (ภาพที่ 6) (Mitsuharu, 1992)

อย่างไรก็ตาม แก๊สที่อยู่ในสภาพเดกตัวใดๆ ไม่อาจเรียกว่าเป็นพลาasma ได้ทั้งหมด Chen (1984) ได้นิยามความหมายของพลาasma ไว้ว่า “พลาasma คือ แก๊สซึ่งมีลักษณะประหนึ่งเป็นกําลังทางไฟฟ้า (quasineutral gas) ประกอบด้วยอนุภาคประจุและอนุภาคเป็นกลาง โดยแสดงพฤติกรรมร่วม (collective behavior)” โดยคำว่า พฤติกรรมร่วม หมายถึง การเคลื่อนที่ของอนุภาคในพลาasma ในตำแหน่งใดๆ จะส่งผลต่อบลาasma ไม่เฉพาะแต่ในบริเวณนั้นเท่านั้น แต่ยังส่งผลต่อพลาasma ที่อยู่ในตำแหน่งที่ไกลออกไปด้วย ทั้งนี้ เพราะเมื่ออนุภาคประจุภายในพลาasma มีการเคลื่อนที่ อนุภาคเหล่านี้จะทำให้ความหนาแน่นของประจุบวกหรือประจุลบในพลาasma บริเวณนั้นเปลี่ยนแปลงไปจึงทำให้เกิดสนามไฟฟ้าขึ้น สนามไฟฟ้าก่อให้เกิดกระแสไฟฟ้า ซึ่งจะเหนี่ยวนำให้เกิดสนามแม่เหล็กด้วยเช่นกัน ดังนั้น สนามไฟฟ้าและสนามแม่เหล็กที่เกิดขึ้นจึงส่งผลต่อการเคลื่อนที่ของอนุภาคประจุตัวอื่นๆ ที่อยู่ไกลออกไป (ธีรวรรณ, 2550)

ศรีเพ็ญ (2547) ได้ให้ความหมายของพลาasma ว่า “พลาasma คือ ตัวกําลังที่สามารถนำไฟฟ้าได้ เป็นแก๊สที่มีประจุ โดยทั่วๆ ไปแล้วพลาasma จะประกอบด้วยประจุบวกและประจุลบที่มีความหนาแน่นเท่ากัน หรือกล่าวได้ว่าพลาasma เป็นกลุ่มของอิเล็กตรอน ไอออน โนเกลคูล อนุมูลอิสระ และอะตอนในสถานะกระตุ้น”

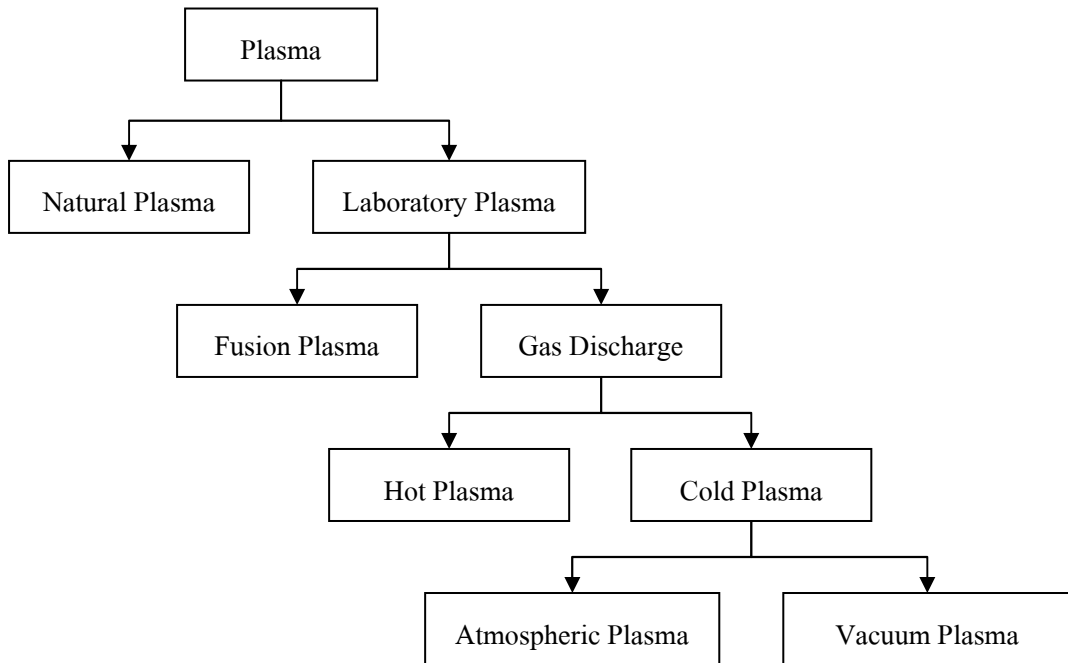
Solid	Liquid	Gas	Plasma
Example Ice H_2O	Example Water H_2O	Example Steam H_2O	Example Ionized Gas $H_2 \quad H^+ + H^+ + 2e^-$
Cold $T < 0^\circ C$ 	Warm $0 < T < 100^\circ C$ 	Hot $T > 100^\circ C$ 	Hotter $T > 100,000^\circ C$ 
Molecules Fixed in Lattice	Molecules Free to Move	Molecules Free to Move, Large Spacing	Ions and Electrons Move Independently Large Spacing

ภาพที่ 6 สถานะทั้งสี่ของสาร

ที่มา: Eastman (2006)

1. ประเภทของพลาสม่า

พลาสม่าอาจสามารถแบ่งออกเป็นพลาสม่าที่มีอยู่ตามธรรมชาติ (natural plasma) เช่น ดาว หรือ interstellar matter และพลาสม่าที่สามารถสร้างขึ้นในห้องปฏิบัติการ (laboratory plasma) ซึ่งแบ่งออกเป็น 2 กลุ่มใหญ่ ได้แก่ พลาสม่าอุณหภูมิสูง หรือ พลาสม่าฟิวชัน (fusion plasma) และ พลาสม่าอุณหภูมิต่ำ หรือ แก๊สดิสชาร์จ (gas discharge) โดยอาจสามารถแบ่งประเภทของพลาสม่า อย่างกว้างๆ ได้ดังแสดงในภาพที่ 7 (Mitsuharu, 1992; Eastman, 2006)



ภาพที่ 7 ประเภทของพลาสม่า

ที่มา: Mitsuharu (1992); Eastman (2006)

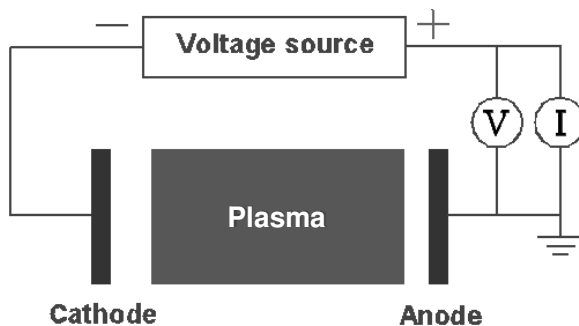
โดยทั่วไปในแต่ละกลุ่มของพลาสมายังสามารถแบ่งออกໄປเป็นพลาสมาที่อยู่ในสมดุลความร้อน และพลาสมาที่ไม่อยู่ในสมดุลความร้อน ซึ่งสมดุลความร้อนหมายความว่า อุณหภูมิของทุกสปีชี (อะลีกตรอน ไอออน และสปีชีที่เป็นกลาง) มีค่าเท่ากัน ตัวอย่างของพลาสมาประเภทนี้ คือ ดาวและฟิวชันพลาสม่า โดยพลาสมาประเภทนี้ต้องการอุณหภูมิสูงเพื่อให้เกิดสมดุลความร้อน ซึ่งจะมีค่าตั้งแต่ 4,000 เคลวิน (สำหรับธาตุที่แตกตัวง่าย เช่น ซีเซียม) ถึง 20,000 เคลวิน (สำหรับธาตุที่แตกตัวยาก เช่น ไฮเดรียม) ทั้งนี้เทอม “สมดุลความร้อนเฉพาะที่” (local thermal equilibrium, LTE) นิยมใช้แทน “สมดุลความร้อน” ซึ่งเทอมนี้มีความหมายว่า อุณหภูมิของทุกสปีชีมีค่าเท่ากันในพื้นที่เฉพาะที่ในพลาสม่า ส่วนสสาร interstellar matter นั้นจะไม่อยู่ในสมดุลความร้อน ซึ่งเรียกว่า “Non-LTE” มีความหมายว่า อุณหภูมิของสปีชีต่างกันมีค่าไม่เท่ากัน โดยที่อะลีกตรอนจะมีอุณหภูมิสูงกว่าอนุภาคหนัก (ไอออน อะตอม หรือโมเลกุล) อย่างมาก

เช่นเดียวกัน แก๊สคิสชาร์สามารถแบ่งออกเป็นพลาสม่า LTE และพลาสม่า Non-LTE ซึ่งจะขึ้นอยู่กับความดันในพลาสม่า ในการมีความดันแก๊สสูง แสดงว่ามีการชนกันเกิดขึ้นหลายครั้ง ในพลาสม่า เนื่องจากวิธีอิสระเฉลี่ย (mean free path) มีค่าสั้นเมื่อเปรียบเทียบกับระยะคิสชาร์ (discharge length) ซึ่งจะนำไปสู่การแลกเปลี่ยนพลังงานระหว่างสปีชีในพลาสมาอย่างมี

ประสิทชิภาพ ทำให้มีอุณหภูมิเท่ากัน ส่วนกรณีความดันแก๊สต่ำทำให้มีการชนกันน้อยครั้งในพลาสม่า เนื่องจากวิถีอิสระเฉลี่ยมีค่าyawเมื่อเปรียบเทียบกับระยะดิสชาร์จ นอกจานนี้ยังทำให้ปฏิชีต่างกันมีอุณหภูมิต่างกัน เนื่องจากการแลกเปลี่ยนพลังงานไม่มีประสิทชิภาพ แต่จะมีข้อยกเว้นสำหรับกรณีใน dielectric barrier discharge และ atmospheric pressure glow discharges ซึ่งระยะดิสชาร์จนมีค่าน้อย (ศรีเพ็ญ, 2547)

แก๊สดิสชาร์จเกิดจากการผ่านแก๊สเข้าไประหว่างข้ออิเล็กโทรด 2 ชนิด และให้พลังงานไฟฟ้าเพื่อให้เกิดความต่างศักย์ระหว่างข้ออิเล็กโทรดนั้น กระแสไฟฟ้าเมื่อการส่งผ่านระหว่างข้อบวก (anode) และข้อลบ (cathode) ทำให้เกิดเป็นสนามแม่เหล็กไฟฟ้า (electromagnetic fields) แก๊สที่อยู่ในสถานะแม่เหล็กไฟฟ้าจะถูกกระตุ้นจากพลังงานและความถี่ที่เกิดขึ้นจนแตกตัวกล้ายเป็นประจุซึ่งเรียกสถานะที่แก๊สแตกตัวกล้ายเป็นประจุนี้ว่า พลาสม่า หรือ แก๊สดิสชาร์จ (ภาพที่ 8)

(Goree, n.d.)



ภาพที่ 8 การเกิดแก๊สดิสชาร์จ

ที่มา: Goree (n.d.)

โดยทั่วไปนิยมแบ่งแก๊สดิสชาร์จออกเป็น 2 ประเภทใหญ่ ได้แก่ พลาสม่าอุณหภูมิสูงหรือพลาสมาร้อน (hot plasma) และพลาสม่าอุณหภูมิต่ำหรือพลาสมายืน (cold plasma) มีรายละเอียดดังต่อไปนี้

1.1 พลาสมาร้อน (hot plasma)

พลาสมาร้อน คือ แก๊สดิสชาร์จแบบพลาสม่า LTE มีลักษณะการปล่อยประจุแบบอาร์คดิชาร์จ (arc discharges) ซึ่งจากการวนการเกิดแก๊สดิสชาร์จนั้น เมื่อให้กระแสไฟฟ้าแก่

ข้ออิเล็กโทรด ทำให้เกิดความต่างศักย์ขึ้นระหว่างขั้วบวกและขั้วลบที่สูง จนกระทั่นให้แก๊สบางส่วนเกิดการแตกตัวอย่างรุนแรงกลายเป็นประจุบวกและอิเล็กตรอนที่มีความหนาแน่นสูง อิเล็กตรอนจะถูกเร่ง โดยสามารถไฟฟ้าที่อยู่ข้างหน้าขั้วลบและเคลื่อนที่ไปชนกับอะตอมหรือโมเลกุลของแก๊สด้วยความถี่สูงและรุนแรง เกิดการปลดปล่อยประจุในลักษณะของการสปาร์ค (spark) ของประจุเป็นเส้นเล็กๆ จำนวนมาก (filament) ทำให้เกิดสถานะของพลาสม่าที่มีความดันและพลังงานความร้อนสูง โดยพลาสมาร้อนนี้จะถูกสร้างที่ความดันไกล์กับความดันบรรยายกาศหรือมากกว่านั้น นิยมใช้ในการผลิตพลาสมาสเปรย์ หรือใช้ในการหลอม เชื่อม และตัดโลหะ (ศรีเพ็ญ, 2547; Goree, n.d.)

1.2 พลาสมายืด (cold plasma)

พลาสมายืด คือ แก๊สคิดิ沙ร์จแบบพลาสม่า Non-LTE มีลักษณะการปล่อยประจุแบบโกลด์จิชาร์จ (glow discharges) เป็นการสร้างพลาสม่าที่พัฒนามาจากพลาสมาร้อน เป็นการลดความดันในการเกิดพลาสม่าให้ต่ำลง โดยเกิดที่ความดันประมาณ 10^{-3} - 10 ทอร์ โดยอุณหภูมิของอนุภาคหนักจะมีค่าต่ำและมักจะไม่สูงกว่าอุณหภูมิห้อง แต่สำหรับอิเล็กตรอนจะมีอุณหภูมิสูงกว่ามาก เพราะอิเล็กตรอนมีมวลน้อยจึงถูกเร่งในสนามแม่เหล็กไฟฟ้าได้ง่าย การที่อิเล็กตรอนมีอุณหภูมิสูงทำให้เกิดการชนกันแบบไม่ยึดหยุ่น ซึ่งจะไปคงสภาพพลาสม่าไว้และมีผลทำให้เกิดกลุ่มอนุภาคที่มีความหลากหลายทางเคมี อิเล็กตรอนจึงเป็นตัวแทนปฐมภูมิในพลาสม่า และอนุภาคหนักในพลาสม่าจะเป็นตัวทำหน้าที่ในการประยุกต์ ซึ่งจากการวนการเกิดแก๊สคิดิ沙ร์จ เมื่อให้กระแสไฟฟ้าแก่ข้ออิเล็กโทรด ทำให้เกิดความต่างศักย์ขึ้นระหว่างขั้วบวกและขั้влบที่สูงพอจนกระทั่นให้แก๊สบางส่วนแตกตัวกลายเป็นประจุบวกและอิเล็กตรอน อิเล็กตรอนจะถูกเร่งโดยสามารถไฟฟ้าที่อยู่ข้างหน้าขั้влบ และเคลื่อนที่ไปชนกับอะตอมหรือโมเลกุลของแก๊ส ทำให้เกิดการกระตุ้นและการแตกตัวเป็นประจุ อนุภาคที่อยู่ในภาวะกระตุ้นจะปลดปล่อยรังสีอุ่นมาและลงมาอยู่ในสถานะที่ต่ำลงมา ทำให้เกิดแสงสว่าง พลาสมายืดนิยมใช้สำหรับงานที่ไม่ต้องการความร้อน เช่น การกัด (etching) หรือการทำฟิล์มบาง (thin film) เป็นต้น (ศรีเพ็ญ, 2547)

2. plasma active species

กระบวนการพลาสม่าให้ผลในการเปลี่ยนแปลงสมบัติของผิววัสดุที่นำมาประยุกต์เนื่องจากการกระทำของ active species ซึ่งถูกสร้างขึ้น โดยการทำปฏิกิริยา กันของแก๊สที่ใช้ในกระบวนการสร้างพลาสม่า โดยทั่วไปในสารเคมีบริสุทธิ์จะไม่ค่อยพบ active species ที่มีความ

เข้มข้นและสถานะกระตุ้นเหมือนกับที่พบในเครื่องผลิตพลาสma โดย active species ในพลาสma มีดังต่อไปนี้ (ธีรวรรณ, 2550)

2.1 species reaching surface

species reaching surface มีอยู่สองแบบที่จะเกิดขึ้นบนผิวของวัสดุที่นำมาประยุกต์พลาสma แบบแรก คือ แก๊สที่ใช้ซึ่งอาจจะเกิดการสะท้อน ดูดซับ ดูดซึม หรือเกิดปฏิกิริยาเคมีกับพื้นผิว และแบบที่สอง คือ active species ซึ่งเกิดขึ้นโดยตรงจากการชนกันของอิเล็กตรอนและโนเมเลกุลที่เป็นกลาง หลังจากที่ปฏิกิริยาเคมีที่เกิดขึ้นในพลาสma สิ้นสุดลง active species ที่เกิดขึ้นในกระบวนการพลาสma จะมีปริมาณและความเข้มข้นสูงกว่า active species ชนิดเดียวกันที่เกิดขึ้นในกระบวนการทางเคมี โดย active species นักพบร่วมกับโฟตอน (photon) สถาชีที่เป็นกลาง (neutral species) และอนุภาคที่มีประจุ (charged particles)

2.2 โฟตอน (photon)

โฟตอนจะพบได้ตลอดช่วงスペกตรัมที่มีความยาวคลื่นในช่วงของคลื่นแม่เหล็กไฟฟ้า (electromagnetic spectrum) (ตารางที่ 1) โฟตอนช่วงอินฟราเรด (infrared) มีพลังงานน้อยกว่า 1.7 อิเล็กตรอนโวลต์ ซึ่งน้อยกว่าที่จะเกิดอันตรักษิริยา กับแก๊สและเกิดแสงที่มองเห็นได้ โดยส่วนใหญ่จะเกิดอันตรักษิริยาทั่วไปคล้ายกับกำแพงร้อน (hot wall) หรือปฏิกิริยาเคมีทั่วไปในกระบวนการพลาสma ส่วนโฟตอนช่วงแสงขาว (visible) มีพลังงานในช่วง 1.6 - 3.3 อิเล็กตรอนโวลต์ โฟตอนช่วงนี้สามารถทำลายพันธะของโนเมเลกุลและกระตุ้นอะตอมได้ สำหรับโฟตอนช่วงอัลตราไวโอเล็ต (ultraviolet) มีพลังงานสูงขึ้นมาในช่วง 3.1- 9.5 อิเล็กตรอนโวลต์ และสามารถกระตุ้นอะตอมทำให้เกิดการแตกตัวเป็นไอออน (ionization) รวมทั้งแตกพันธะของโนเมเลกุลซึ่งทำให้โนเมเลกุลแตกออกได้

2.3 สถาชีที่เป็นกลาง (neutral species)

จากกระบวนการชนกันระหว่างอิเล็กตรอนและโนเมเลกุลที่เป็นกลางในพลาสma รวมทั้งการเกิดปฏิกิริยาทางเคมีทำให้เกิด active species ที่เป็นกลางขึ้นหลายแบบ รวมทั้ง reactive atoms อย่างเช่น H, O, F, Cl และอื่นๆ อะตอมเดียวสามารถสร้างสายพอลิเมอร์ขึ้นบนพื้นผิวที่ได้สัมผัส หรืออะตอมที่เป็นกลางที่เกิดจากการแตกออกของโนเมเลกุลใหญ่ เช่น CH₂ สามารถสร้างสารประกอบเชิงซ้อนบนพื้นผิวและ/หรือการ cross-linking กับโนเมเลกุลที่อยู่ใกล้อะตอมที่อยู่ใน

สภาวะกระตุ้น และโนมเลกุลที่แตกออกซึ่งมีอิเล็กตรอนที่ไม่มีคู่ (unpaired electron) ก็พร้อมที่จะเกิดปฏิกิริยา กับสารประกอบบนพื้นผิวได้มากขึ้น

ตารางที่ 1 พลังงานของไฟฟ่อนในช่วงスペกตรัมต่างๆ

ช่วงスペกตรัม	ความยาวคลื่น (นาโนเมตร)	พลังงาน (อิเล็กตรอนโวลต์)
อินฟราเรด	$730 \leq \lambda \leq 10^6$	$0.00124 \leq \lambda \leq 1.7$
แสงขาว	$380 \leq \lambda \leq 780$	$1.59 \leq \lambda \leq 3.26$
อัลตราไวโอเลต	$13 \leq \lambda \leq 397$	$3.12 \leq \lambda \leq 9.53$

ที่มา: ชีรวรรณ (2550)

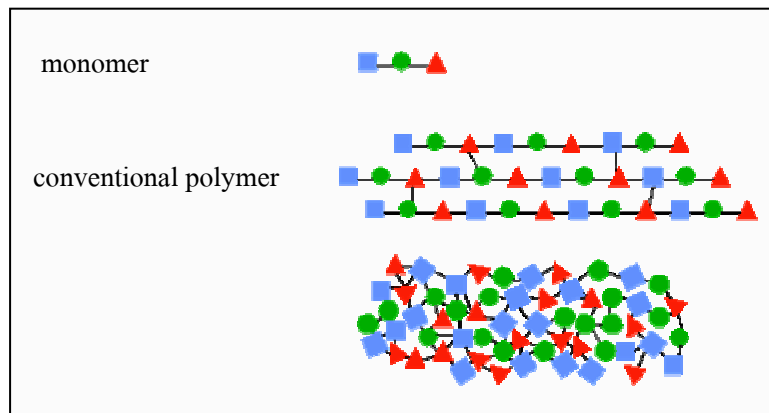
2.4 อนุภาคที่มีประจุ (charged particles)

อนุภาคที่มีประจุจะเกิดขึ้นในกระบวนการ electron-neutral impact ionization ซึ่งถูกเร่งได้ด้วยสนามไฟฟ้านี้หรือเข้าสู่พื้นผิวมากขึ้น กระบวนการ โกลว์ดิ沙ร์จพลาสม่าในอุตสาหกรรมส่วนใหญ่มีความเกี่ยวข้องกับอนุภาคประจุบวก ซึ่งอนุภาคประจุบวกเหล่านี้มีแนวโน้มที่จะชนรอบๆ พื้นผิวด้วยพลังงานที่สูงกว่าที่อิเล็กตรอนหรืออนุภาคประจุลบจะสามารถทำได้ อนุภาคประจุที่เกิดขึ้นในพลาสม่าซึ่งรวมทั้งอิเล็กตรอน ส่วนใหญ่มีอุณหภูมิกinetic temperatures) อยู่ที่ 1-10 อิเล็กตรอนโวลต์ โดยไออกอนสามารถเป็นได้ทั้งไออกอนบวกและไออกอลบ แต่เกือบทั้งหมดเป็นไออกอนบวก (ชีรวรรณ, 2550)

3. กระบวนการปรับสภาพพิวัสดุด้วยพลาสม่า

การปรับสภาพพิวัสดุด้วยพลาสม่า หรือ การประยุกต์พลาสม่า ทำได้โดยการนำแก๊สที่ต้องการ (monomer) โดยอาจมีแก๊ส惰性 (inert gas) เป็นตัวนำ (precursor) เพื่อให้แก๊สเกิดการกระจายตัวอย่างทั่วถึงเข้าไประหว่างข้าวอิเล็กโทรด ซึ่งเป็นสนามแม่เหล็กไฟฟ้าความถี่และความต่างศักย์สูงที่ความดันต่ำ หรือที่ความดันบรรยายกาศที่มีการปรับสภาพให้เหมาะสม เพื่อให้แก๊สแตกตัวกลาญเป็นพลาสม่า เกิดเป็นสถานะกระตุ้นของอนุภาคต่างๆ ของไออกอน อิเล็กตรอน และอนุมูลอิสระ ซึ่งอนุภาคเหล่านี้จะถูกกระตุ้นอยู่ตลอดเวลา มีความไม่เสถียรสูง จากนั้นนำวัสดุที่

ต้องการปรับสภาพผิวเข้าไปภายในพลาสมา อนุภาคต่างๆ ที่ไม่เสถียรนั้นจะเข้าทำปฏิกิริยากับโมเลกุลของผิวสัมผัส ซึ่งอาจเกิดเป็นชั้นฟิล์มนางระดับนาโนเมตร ในการยึดติดระหว่างชั้นฟิล์มและผิวสัมผัสจะเกิดกระบวนการพลาสม่าโพลิเมอร์ไรเซชัน (plasma polymerization) ขึ้น ซึ่งพลาสma โพลิเมอร์ไรเซชันจะแตกต่างจากการเกิดโพลิเมอร์ไรเซชันของโพลิเมอร์ทั่วไป โดยโพลิเมอร์ของพลาสma จะเกิดการเชื่อมต่อ กัน (cross-linking) ภายในสายโพลิเมอร์อย่างหนาแน่นมากกว่า โพลิเมอร์ทั่วไป (ภาพที่ 9) เนื่องจาก โมเลกุลของพลาสma มีอนุภาคที่ไม่เสถียรจำนวนมาก เมื่อเกิดกระบวนการพอลิเมอร์ไรเซชัน ทำให้อนุภาคที่ไม่เสถียรสามารถเข้าทำปฏิกิริยา กับอนุภาคในกลุ่มเดียวกัน ได้ดีกว่าอนุภาคของโพลิเมอร์ทั่วไปซึ่งมีความเสถียรมากกว่า (Ellinghorst, 2006)



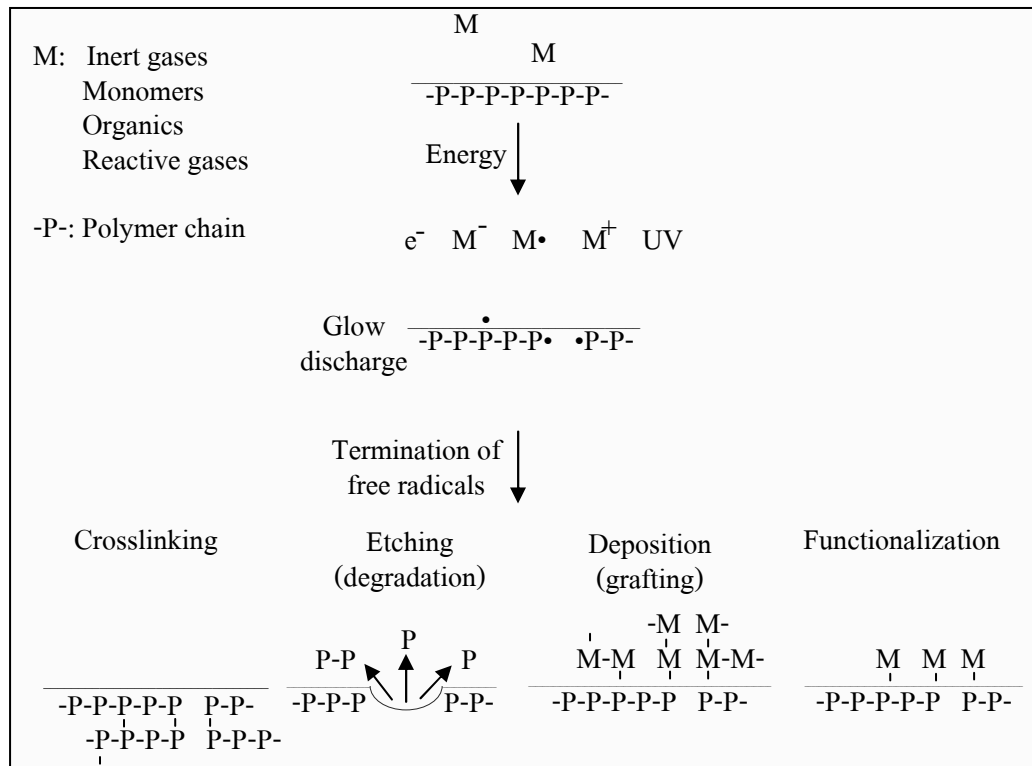
ภาพที่ 9 กระบวนการพลาสม่าโพลิเมอร์ไรเซชัน

ที่มา: Ellinghorst (2006)

พลาสma ยืนถูกใช้ในการปรับสภาพผิว และ โครงสร้างทางเคมีของวัสดุโพลิเมอร์ โดยเกิดการ cross-linking, deposition, grafting และ functionalization ของผิวสัมผัสด้วย ไอออนต่างๆ อนุมูลิสระ และอนุภาคที่อยู่ในสภาวะกระตุ้น (excited state species) ซึ่งถูกสร้างขึ้นในแก๊ส คิสชาร์จ (ภาพที่ 10) ดังนั้น ปฏิกิริยาทางเคมีทั้ง homogeneous และ heterogeneous จึงสามารถ เกิดขึ้น ได้พร้อมกัน เป็นจำนวนมาก ในระบบ ทำให้เกิดความรวดเร็ว ในการปรับสภาพ โมเลกุลของ ผิว และ โครงสร้างทางเคมีของวัสดุโพลิเมอร์ (Denes, 1997)

สมบัติต่างๆ ของผิวสัมผัสดูที่ถูกประยุกต์ด้วยพลาสma ขึ้นอยู่กับชนิดของแก๊สที่ใช้ในการสร้าง พลาสma ชนิดของแก๊สจะเป็นตัวกำหนดสมบัติของชั้นฟิล์มนางที่ยึดติดกับผิวสัมผัส และ สำหรับการ ประยุกต์พลาสma กับกระดาษ ซึ่งเป็นวัสดุที่มีรูพรุน และ มีความชอบน้ำสูง จึงต้องใช้แก๊สที่มีสมบัติ

ความไม่ชอบน้ำ (hydrophobic) เพื่อทำให้ผิวของกระดาษสามารถต้านทานน้ำได้มากขึ้น
(Vaswani, 2005; Ellinghorst, 2006)



ภาพที่ 10 การปรับสภาพผิวสัมภาระด้วยพลาสม่า

ที่มา: Advanced Surface Technology (n.d.)

Yuasa and Yara (1999) กล่าวว่า สารประกอบฟลูออรีน ทำให้ผิวสัมภาระต้านทานน้ำได้โดยการไปลดพลังงานผิวของวัสดุ ตัวอย่างสารประกอบฟลูออรีน เช่น tetrafluoride (CF₄), hexafluoroetane (C₂F₆), hexafluoropropylene (CF₃CFCF₂), octafluorocyclobutane (C₄F₈), monochlorotrifluorocarbon (CClF₃) และ sulferhexafluoride (SF₆) เป็นต้น ส่วนสารประกอบที่มีออกซิเจนและในโครงสร้างเป็นองค์ประกอบ ทำให้ผิวสัมภาระดูดซึมน้ำได้ดีขึ้น เนื่องจากไปเพิ่มหมุ่ฟังก์ชันของพอลิเมอร์ เช่น คาร์บอนไดออกไซด์ และอะมิโน ทำให้พลังงานผิวของวัสดุมีค่าเพิ่มขึ้น ตัวอย่างของสารเหล่านี้ ได้แก่ oxygen, ozone, carbon monoxide, carbon dioxide, nitrogen dioxide, alcohols, ketones และ aldehydes เป็นต้น

สารที่ใช้ในการสร้างพลาสมานั้นสามารถเป็นได้ทั้งแก๊สและของเหลว โดยของเหลวต้องผ่านขั้นตอนการระเหยเป็นไอก่อนจึงจะสามารถสร้างพลาสมาได้ ตัวอย่างแก๊สและของเหลวที่ใช้ในการสร้างพลาสมา แสดงดังตารางที่ 2 (Larner and Kaplan, 2004)

ตารางที่ 2 ตัวอย่างแก๊สและของเหลวที่ใช้ในการสร้างพลาสมา

แก๊ส	ของเหลว
1) Oxygen	1) Methanol
2) Argon	2) Water
3) Helium	3) Allyl Amine
4) Nitrogen	4) Ethylenediamine
5) Ammonia	5) Acrylic Acid
6) Hydrogen	6) Acetone
7) Nitrous Oxide	7) Hydroxyethylmethacrylate
8) Carbon Dioxide	8) Ethanol
9) Air	9) Toluene
10) Methane	10) Diaminopropane
11) Ethane	11) Butylamine
12) Ethylene	12) Gluteraldehyde
13) Acetylene	13) Hexamethyldisiloxane
14) Tetrafluoromethane	14) Tetramethylsilane
15) Hexafluoroethane	15) Polyethylene glycols
16) Hexafluoropropylene	16) Diglymes
	17) Silanes

ที่มา: Larner and Kaplan (2004)

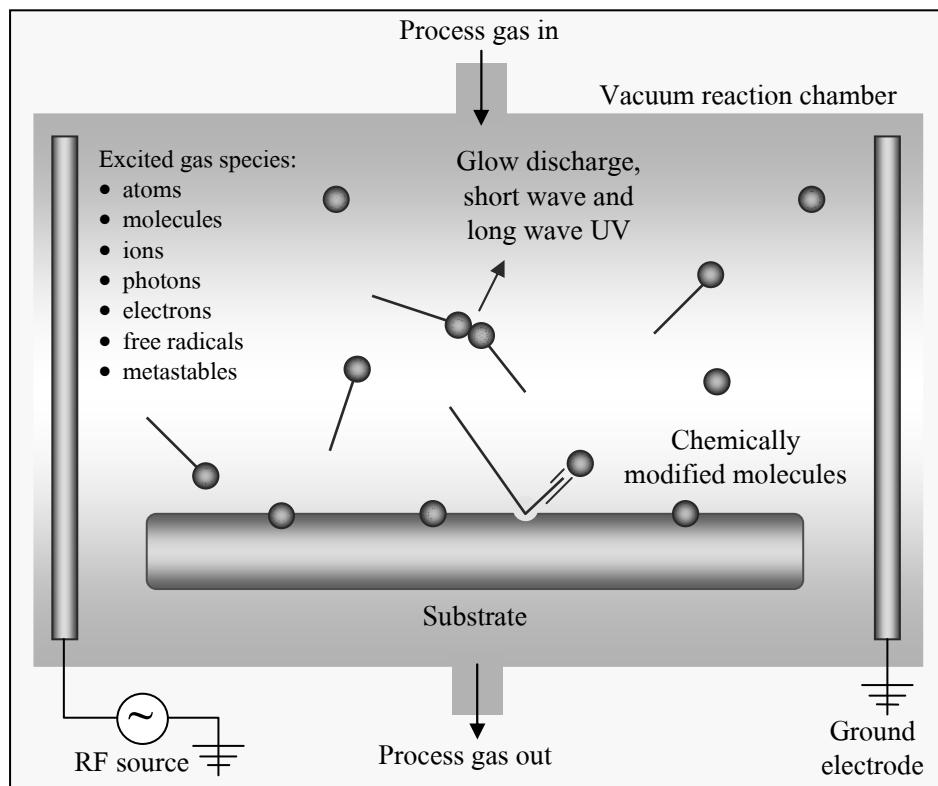
ปัจจุบันอาจแบ่งการประยุกต์พลาสมาโดยใช้พลาสมายืนออกเป็น 2 วิธี ตามความดันที่ใช้ ได้แก่ การประยุกต์พลาสมาในระบบสูญญากาศ (vacuum plasma treatment) และการประยุกต์พลาสมาในความดันปกติหรือความดันบรรยากาศ (atmospheric plasma treatment)

3.1 การประยุกต์พลาสmaในระบบสุญญากาศ (vacuum plasma treatment)

การประยุกต์พลาสmaในระบบสุญญากาศ (ภาพที่ 11) เป็นวิธีทั่วไปในการปรับสภาพผิวสัมผัสดูต่างๆ โดยพลาสม่าจะถูกสร้างขึ้นจากการผ่านแก๊สความดันต่ำเข้าไปภายในแม่บทสุญญากาศ แก๊สจะถูกกระตุ้นด้วยพลังงาน ซึ่งอาจอยู่ในรูปของคลื่นเสียง รังสีไมโครเวฟ หรือพลังงานไฟฟ้า ทำให้ไม้เลกูลของแก๊สเกิดการแตกตัวเป็นพลาสma ซึ่งอยู่ในรูปของไอออน อิเล็กตรอน และอนุมูลอิสระต่างๆ โดยพื้นผิวที่มีการสัมผัสพลาสม่าจะถูกปกคลุมด้วยอนุภาคเล็กๆ และมีการถ่ายเทพลังงานจากอนุภาคพลาสmaสู่ผิวสัมผัสดู ก่อให้เกิดกระบวนการทางเคมีและฟิสิกส์ ของพื้นผิวในลักษณะต่างๆ ซึ่งพื้นผิวจะมีการเปลี่ยนแปลงในระดับนาโนที่มีความหนาหรือความลึกไม่เกิน 10 นาโนเมตร จากผิวสัมผัสดูโดยไม่มีการเปลี่ยนแปลงสมบัติหรือไม่มีผลกระทบต่อโครงสร้างของวัสดุในส่วนอื่นๆ (Kim *et al.*, 2006) และการที่ระบบใช้ความดันของแก๊สต่ำ จึงก่อให้เกิดพลาสmaที่คงที่และสม่ำเสมอ ดังนั้น การประยุกต์พลาสmaในระบบสุญญากาศจึงเป็นวิธีที่มีประสิทธิภาพ เนื่องจากสามารถเคลือบผิวสัมผัสดูได้อย่างทั่วถึง (Advanced Surface Technology, n.d.; Cernáková *et al.*, 2006)

3.2 การประยุกต์พลาสmaในความดันบรรยายกาศ (atmospheric plasma treatment)

จากพลาสmaในระบบสุญญากาศ ซึ่งเป็นสภาวะความดันต่ำ ได้มีการพัฒนาระบบที่มีลักษณะใกล้เคียงกันในสภาวะความดันปกติหรือความดันบรรยายกาศ ซึ่งโดยทั่วไปการสร้างพลาสmaที่ความดันบรรยายกาศนั้น พลาสmaที่เกิดขึ้นมีการปล่อยประจุแบบอาร์คดิษาร์จ ซึ่งมีพลังงาน ความหนาแน่นอิเล็กตรอน และอุณหภูมิสูง ไม่เหมาะสมในการนำมาปรับสภาพผิวสัมผัสดู เนื่องจากพลาสmaไม่ปกคลุมทั่วพื้นผิว และอุณหภูมิที่สูงทำให้วัสดุเกิดความเสียหาย ดังนั้น การประยุกต์พลาสmaในความดันบรรยายกาศจึงต้องมีการปรับสภาพเพื่อช่วยให้สามารถนำพลาสmaมาปรับสภาพผิวสัมผัสดูได้ (Duan and Yu, 2007) ซึ่งการประยุกต์พลาสmaในความดันบรรยายกาศสามารถแบ่งได้ดังนี้ (Cernáková *et al.*, 2006)

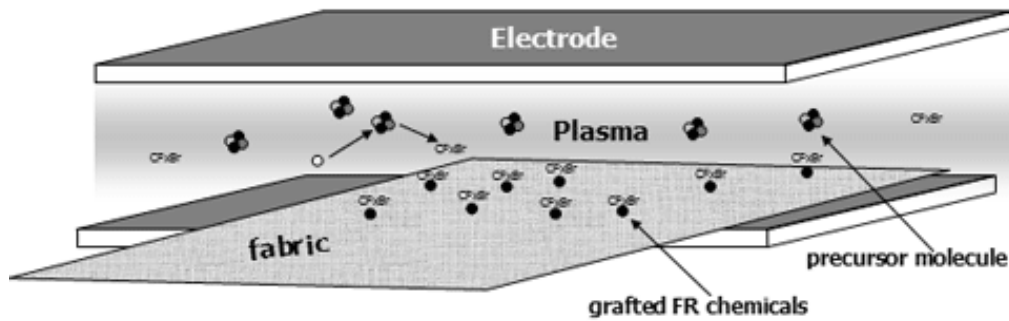


ภาพที่ 11 การประยุกต์พลาสmaในระบบสุญญากาศ

ที่มา: Advanced Surface Technology (n.d.)

3.2.1 filamentary volume barrier discharge treatment

เป็นการประยุกต์พลาสmaในความดันบรรยายกาศบนฐานของ filamentary barrier discharge (ภาพที่ 12) ในทางการค้า อาจเรียกเทคนิคนี้ว่า corona treatment ซึ่งเป็นเทคนิคที่มีการใช้ งานอย่างกว้างขวางในอุตสาหกรรมในการเพิ่มพลังงานผิวของฟิล์มพลาสติก อุปกรณ์ประกอบด้วย ข้ออิเล็กโทรด 2 ตัว ซึ่งอย่างน้อยหนึ่งตัวถูกหุ้มด้วย介质 (dielectric) เพื่อทำหน้าที่เป็นกราวด์ อิเล็กโทรด (ground electrode) ระยะห่างระหว่างอิเล็กโทรดอยู่ในระดับมิลลิเมตร ซึ่งเป็นบริเวณที่ เกิดพลาสma และใช้ความต่างศักย์ไฟฟ้า (applied voltage) ที่ 20 กิโลโวลต์ เทคนิคนี้หมายความ กระบวนการผลิตอย่างต่อเนื่อง และสามารถใช้ปรับสภาพผิวฟิล์มพลาสติกได้อย่างมีประสิทธิภาพ



ภาพที่ 12 filamentary volume barrier discharge treatment

ที่มา: Apjet (2005)

3.2.2 volumetric diffuse non-thermal plasma treatment

เป็นการรวมข้อดีของการประยุกต์พลาสماในระบบสุญญากาศ และ corona treatment เข้าไว้ด้วยกัน เป็นเทคนิคที่มีลักษณะใกล้เคียงกับ corona treatment แต่มีการควบคุม สภาวะมากกว่า โดยการสร้างพลาasmaภายในแซมเบอร์ที่เป็นระบบเปิด และมีการใช้แก๊สเลื่อย เช่น He, Ar, Xn หรือ N₂ เป็น carrier gas ช่วยในการกระจายตัวของพลาสma หรือการใช้แซมเบอร์ที่มีลักษณะแคบ ตัวอย่างเช่น plasma jet (ภาพที่ 13) ทำให้เกิดพลาสmaที่มีความเข้มข้นสนิมเสมอ และสามารถปรับสภาพผิววัสดุประเภทพลาสติกและกระดาษ ได้อย่างมีประสิทธิภาพเพิ่มขึ้น (Duan and Yu , 2007)

3.2.3 diffuse coplanar surface barrier discharge (DCSBD)

เป็นเทคนิคที่พัฒนาโดย Cernáková *et al.* (2006) โดยการสร้างชั้นบางๆ ของพลาสmaที่มีความหนาแน่นของพลังงานสูงในบริเวณใกล้กับผิววัสดุที่ต้องการประยุกต์พลาสma อย่างทันทีทันใด และทำให้พลาสmaเข้าจับกับผิววัสดุอย่างรวดเร็ว ซึ่งการที่ชั้นของพลาสmaมีการกระจายตัวอยู่เหนือนื้อผิววัสดุอย่างใกล้ชิด ทำให้สามารถเชื่อมได้ว่ามีข้อดีในเรื่องของการใช้พลังงาน และเวลาในการปรับสภาพผิวน้อย



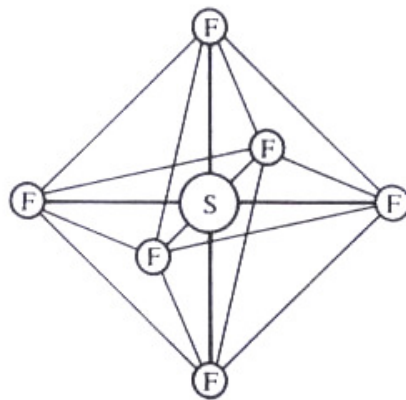
ภาพที่ 13 Plasma Jet

ที่มา: Akishev (2007)

พลาสม่าซัลเฟอร์ເອກະຟູໂໂໄຣດ໌

แก๊สซัลเฟอร์ເອກະຟູໂໂໄຣດ໌ (sulferhexafluoride, SF₆) เป็นสารประกอบของ พอลิอะตومมิก ໂມເລກຸດ (polyatomic molecule) ຂອງກຳນະຄັນແລະ ພຸລູອອົຣິນ (sulphur hexafluoride) (ກາພທີ 14) ເປັນໜຶ່ງໃນແກ້ສະນວນທີ່ໄດ້ຮັບການນິຍມາກຳນົດ ນິຍມນຳມາໃຊ້ໃນອຸປະກຳນີ້ປຶກກັນ ເຊັ່ນ ເຊື່ອຮົກຕະບຽບເກອຮ໌ ມົ້ອແປລັງໄຟຟ້າ ແລະ ຕັວເກີບປະຈຸ ເປັນຕົ້ນ ເປັນແກ້ສທີ່ໄມ້ມີສີ ໄມມີກຳລິ່ນ ໄມເປັນພິພ ໄມຕິດໄຟ ໄມໜ່ວຍໃຫ້ໄຟຕິດ ແລະ ເນື່ອຍຕ່ອກເກີດປັບປຸງກິດຕະກິບກັບສາງອື່ນ ໂດຍ ດັວ ອຸນຫຼວມີປົກຕິ ຈະ ໄມມີຖືກີ້ກັດກ່ອນ ແຕ່ຈະສາຍຕັ້ງທີ່ອຸນຫຼວມີປະມານ 500 ອົງສາເໜລເຊີຍສ ແລະ ເກີດເປັນອຸນຸມລຂອງ ພຸລູອອົຣິນ ທີ່ໄວ້ຕ່ອກເກີດປັບປຸງກິດຕະກິບກັບສາງອື່ນ ໂດຍເນັພາະໄອນໍາ (ໂກວິທ ແລະ ວິເຮັດກິດ, 2550)

ການໃຊ້ແກ້ສັລັບເກົ່າໂອກະຟູໂໂໄຣດ໌ເປັນສາງຕັ້ງຕົ້ນໃນການພລິຕພລາສາ ທຳໄໝໄດ້ພລາສາ ຂອງອຸນຸກາກພຸລູອອົຣິນ ທີ່ສາມາດສ້າງພັນນະກັບອະຕອມຂອງກາຮັບອຸນໃນໂມເລກຸດຂອງວັສດຸປະເກຫ ເສັ່ນໄຍ້ເສລຸໂລສ ເຊັ່ນ ສົ່ງຫອ ແລະ ກະຮາມ ໂດຍການແທນທີ່ອະຕອມອອກຊີເຈນແລະ ໄຊໂດຣເຈນ ເກີດເປັນ ພັນນະ C-F ທຳໄໝພື້ນພົມລັກນະຄລ້າຍແທຸລອນ (Teflon-like) ຈຶ່ງສ່ວຍພົມໄໝວັສດຸດູດສັບນໍາໄດ້ນ້ອຍລົງ (Sellli *et al.*, 2001)



ภาพที่ 14 โนมเลกุลของแก๊สชัลเฟอร์ເອກະພູອ່ໄຮດ໌

ที่มา: ໂກວິທ ແລະ ວິຣສັກດີ (2550)

ເມື່ອແກ້ສັລັບເປົ້າໃຫຍ່ໄດ້ເປັນຈຳນວນຫຼຸດ
ສາມາດດັກດຳໄຫ້ເກີດອຸປະກຍ່ອຍໄດ້ເປັນຈຳນວນຫຼຸດ ດັ່ງແສດງໃນຕາງໆທີ່ 3

ຕາງໆທີ່ 3 ປັບປຸງທີ່ເກີດຂຶ້ນໃນພລາສມາຊັລັບເປົ້າໃຫຍ່ໄຮດ໌

ຫຼືບປຸງທີ່	ການເກີດປັບປຸງ	ພລັງງານ
		(ອີເລື່ອກຕຽນໄວລດ໌)
Dissociation	$e^- + SF_6 \rightarrow SF_5 + F + e^-$ $e^- + SF_5 \rightarrow SF_4 + F + e^-$ $e^- + SF_4 \rightarrow SF_3 + F + e^-$	$V_d \approx 9.8$
Ionization	$e^- + SF_6 \rightarrow SF_5^+ + F + 2e^-$ $e^- + SF_6 \rightarrow SF_4^+ + F_2 + 2e^-$ $e^- + SF_6 \rightarrow SF_3^+ + F_2 + F + 2e^-$ $e^- + SF_4 \rightarrow SF_3^+ + F + 2e^-$ $e^- + F_2 \rightarrow F_2^+ + 2e^-$	$V_i = 15.9$ $V_i = 19.6$ $V_i = 19.8$ $V_i = 12.7$ $V_i = 15.8$
Attachment	$e^- + SF_6 \rightarrow SF_6^-$ $e^- + SF_6 \rightarrow SF_5^- + F$ $e^- + SF_4 \rightarrow SF_3^- + F$ $e^- + SF_4 \rightarrow SF_3 + F^-$ $e^- + F_2 \rightarrow F + F^-$	$V_a = 0$ $V_a = 0.1$ $V_a = 0.7$ $V_a = 0.2$

ตารางที่ 3 (ต่อ)

ชื่อปฏิกิริยา	การเกิดปฏิกิริยา	ผลลัพธ์
Detachment	$e^- + F^- \rightarrow F + 2e^-$ $SF_6^{*} \rightarrow SF_6 + e^-$	(อิเล็กตรอนโوالต์)
Ion-molecule reactions	$SF_6^- + SF_6 \rightarrow SF_5^- + F + SF_6$ $SF_5^- + SF_6 \rightarrow F^- + SF_4 + SF_6$ $F^- + SF_6 \rightarrow SF_6^- + F$ $F^- + SF_4 \rightarrow SF_5^-$ $SF_5^+ + SF_6 \rightarrow S_2F_7^+ + 2F_2$ $SF_3^+ + SF_6 \rightarrow S_2F_7^+ + F_2$	
Homogeneous recombinations	$SF_n + F \rightarrow SF_{n+1}$ ($n = 3$ to 5) $F + F \rightarrow F_2$	
Heterogeneous chemical reaction	$4F + Si \rightarrow SiF_4$	
Other chemical reactions	$F + RH \rightarrow HF + R$ $SF_4 + H_2O \rightarrow SOF_2 + 2HF$	
Ion-ion recombination	$F^- + F_2^+ \rightarrow 3F$	

ที่มา: Picard (1985)

จากปฏิกิริยาที่เกิดขึ้นทั้งหมด สามารถแยกออกเหลือ 3 กระบวนการหลักที่สร้างอนุมูลฟลูออรินในพลาสมาชั้ลเฟอร์เซกชัฟลูอิร็อด์ ดังนี้ (พันธุ์วัฒน์, 2547)

กระบวนการ dissociative ionization



กระบวนการ dissociative electron attachment



กระบวนการ electron impact dissociation



และสามารถแบ่งอนุภาคหลักในพลาสม่าซัลเฟอร์ເສກະພູອ່ອໄຮດ້ທີ່ນອກແນ້ອຈາກອນຸມຸລ
ຟູອອຣິນໄດ້ดັ່ງນີ້

อนุภาคທີ່ເປັນກາລົງໄດ້ແກ່ SF_6 , SF_4 , F_2

อนุภาคໄອອອນບວກໄດ້ແກ່ SF_5^+ , SF_3^+

อนุภาคໄອອອນລົບໄດ້ແກ່ SF_5^- , SF_3^-

ແລະ ອີເລື້ອຕະອນ

การประยຸກຕີພลาສານກະຕາຍ

ປັຈງບັນເຮີນມີການໃຊ້ພลาສາເພື່ອປັບປຸງສົມບັດຂອງກະຕາຍຫຼືວັສດຸທີ່ມີອົງຄໍປະກອບ
ຂອງເໜີລູໂຄສາມາກົ່ນໃນທີ່ນີ້ໄດ້ຮັບຮົມງານວິຈີຍທີ່ເກີ່ຫວ່າຂອງໃນການປະຢຸກຕີພลาສາເພື່ອປັບປຸງ
ສົມບັດຕ່າງໆ ຂອງກະຕາຍແລະວັສດຸທີ່ມີອົງຄໍປະກອບຂອງເໜີລູໂຄສ ມີຮາຍລະເອີຍດັ່ງຕ່ອໄປນີ້

Deslandes *et al.* (1998) ສຶກຍາການໃຊ້ພลาສາໃນໂຕຣເຈນປະຢຸກຕີບັນພິວກະຕາຍທີ່
ປະກາດຈາກສາດເຕີມແຕ່ງໄດ້ ພບວ່າ ການປະຢຸກຕີພลาສາເພີຍ 2 ວິນາທີ ສາມາຮັດເພີ່ມຄວາມສາມາຮັດໃນ
ກາຣຸດໜີ້ນໍ້າຂອງກະຕາຍໄດ້ຍ່າງເຫັນໄດ້ໜັດ ແລະເນື່ອວິເຄຣະທີ່ດ້ວຍເທກນິກ time of flight secondary

ion mass spectroscopy (TOF-SIMS) ควบคู่กับ x-ray photoelectron spectroscopy (XPS) สามารถพบรการเกิดหมุนฟังก์ชันระหว่างในโครงงานกับเซลลูโลส

Magalhães and Souza (2002) ศึกษาการประยุกต์พลาสติก ethylene, acetylene, 1-butene และ ไออกซ์ของ vinyl acetate บนผิว solid softwood เพื่อปรับปรุงสมบัติการด้านทานน้ำ พบร่วมกับพลาสติก 1-butene สามารถเพิ่มสมบัติการด้านทานน้ำของ solid softwood ได้ดีที่สุด โดยอัตราการซึมผ่านของไอน้ำไม่มีการเปลี่ยนแปลง

Ferrero and Bongiovanni (2005) ศึกษาการประยุกต์พลาสติกจากผิวฟิล์มเซลลูโลส เพื่อปรับปรุงความสามารถในการดูดซับน้ำ การติดสี และการยึดติดของผิวฟิล์มเซลลูโลส พบร่วมกับมุนสัมผัสมีค่าลดลงเรื่อยๆ เมื่อใช้เวลาและกำลังคลื่นวิทยุในการประยุกต์พลาสติกมากขึ้น ผลการวิเคราะห์เทคนิค attenuated total reflectance fourier transform infrared spectrometry (ATR-FTIR) พบร่วมกับการสูญเสียน้ำมากกว่าเกิดปฏิกิริยาออกซิเดชันที่ผิวฟิล์มเซลลูโลส และจากการใช้สีเหลาขันในการทดสอบการติดสี พบร่วมกับฟิล์มเซลลูโลสสามารถติดสีได้ดีขึ้น ซึ่งเป็นผลจากการที่พลังงานผิวของฟิล์มเซลลูโลสมีค่าเพิ่มขึ้น นอกจากนี้ พบร่วมความสามารถในการยึดติดของผิวฟิล์มเซลลูโลสขึ้นอยู่กับเวลาและกำลังคลื่นวิทยุที่ใช้ในการประยุกต์พลาสติก และจากผลการทดลองทั้งหมด พบร่วมกับการประยุกต์พลาสติกโดยใช้อากาศให้ผลที่ชัดเจนกว่าการใช้แก๊สออกซิเจน

Vrajová and Krčma (2006) ศึกษาการประยุกต์พลาสติกจากผิวกระดาษ พบร่วมกับความตึงผิวและอัตราการดูดซึมน้ำของกระดาษมีค่าเพิ่มขึ้นเมื่อเพิ่มเวลาในการประยุกต์พลาสติก การเพิ่มขึ้นของพลังงานผิวเกิดจากการเพิ่มขึ้นขององค์ประกอบที่เป็น acid-base การเปลี่ยนแปลงของความสามารถในการดูดซึมน้ำอาจมีสาเหตุมาจากกระบวนการ implantation และ degradation อีกทั้งการเปลี่ยนแปลงอย่างมีนัยสำคัญในสมบัติของผิวกระดาษสามารถสังเกตได้ในระยะเวลาการประยุกต์พลาสติกไม่เกิน 5 วินาที ซึ่งอาจมีสาเหตุมาจากกระบวนการ implantation นอกจากนี้ยังเกิดผลที่ไม่เป็นที่ต้องการ คือ สีของกระดาษเปลี่ยนเป็นสีเหลืองมากขึ้น และมีการสูญเสียน้ำหนักของกระดาษ

Cernáková *et al.* (2006) ศึกษาการเพิ่มสมบัติการดูดซับน้ำของกระดาษที่ใช้ในการพิมพ์โดยการประยุกต์ด้วยพลาสติกในโครงงาน พบร่วมกับมุนสัมผัสลดลงจาก 120 องศา เป็นน้อยกว่า 55 องศา โดยใช้เวลาในการประยุกต์พลาสติกเพียง 0.5 วินาที และเมื่อเพิ่มเวลาในการประยุกต์พลาสติกมากขึ้น มุนสัมผัสก็ยิ่งลดต่ำลง โดยที่สมบัติเชิงกลและความสว่างของกระดาษไม่มีการเปลี่ยนแปลง อีกทั้งยังได้ศึกษาการเพิ่มสมบัติเชิงกลของกระดาษด้วยการประยุกต์พลาสติกโดยใช้

สารละลายไฮโดรเจนร้อยละ 0.5-2 เป็นเวลา 1 วินาที ในสภาพแวดล้อมของแก๊สไฮโดรเจน เมื่อนำกระดาษที่ประยุกต์ด้วยพลาสmaไฮโดรเจนมาทำให้แห้งโดยการอบที่อุณหภูมิ 105 องศาเซลเซียส และทดสอบสมบัติของกระดาษ พบว่า สามารถเพิ่มสมบัติเชิงกลของกระดาษได้อย่างมีนัยสำคัญ นอกจากนี้ยังได้ศึกษาการเพิ่มสมบัติการต้านทานน้ำของกระดาษ โดยการประยุกต์ด้วยพลาสma ในไฮโดรเจนผสมกับ HMDSO (hexamethyldisiloxane) เป็นเวลา 30 วินาที พบว่า กระดาษมีสมบัติการต้านทานน้ำเพิ่มขึ้น และพลังงานผิวของกระดาษลดลงจาก 53 มิลลิจูลต่อตารางเมตร เป็น 11 มิลลิจูลต่อตารางเมตร

Silva *et al.* (2003) ศึกษาการใช้พลาสma HMDS (hexamethyl disilazane) กับ n-hexane ประยุกต์บนผิวกระดาษ พบว่า สารประกอบอินทรีย์ที่ได้จากฟิล์มน้ำสามารถยึดติดกับผิวกระดาษได้ดี มีมุนสัมผัสสูงกว่า 100 องศา และกระดาษสามารถดูดซึมน้ำได้ประมาณ 15 กรัมต่อตารางเมตร อีกทั้งพบว่าความพรุนของกระดาษไม่มีการเปลี่ยนแปลงใดๆ นอกจากนี้ได้ศึกษาความเป็นไปได้ในการใช้กระดาษประยุกต์พลาสma เป็นเยื่อเลือกผ่านสำหรับการแยกน้ำสารประกอบมีชีวะและสารประกอบไม่มีชีวะออกจากกัน ซึ่งสารแต่ละชนิดมีความขาวของสายโซ่ที่แตกต่างกัน โดยสารประกอบไม่มีชีวะ ได้แก่ n-hexane, cyclohexane, heptane, dodecane, benzene และ poly (dimethylsiloxane) สารประกอบมีชีวะ ได้แก่ ethanol, 2-propanol, carbon tetrachloride, acetophenone และ phenol ซึ่งผลการทดลองแยกออกเป็น 3 ส่วน ได้แก่ ส่วนแรก เป็นสารผสมระหว่างน้ำกับสารประกอบไม่มีชีวะ พบว่า สารประกอบไม่มีชีวะสามารถซึมผ่านกระดาษได้ทั้งหมด แต่น้ำไม่สามารถซึมผ่านได้ ส่วนที่สอง เป็นสารผสมระหว่างน้ำกับสารประกอบมีชีวะ ได้แก่ acetophenone, phenol และ carbon tetrachloride พบว่า ทั้งน้ำและสารประกอบมีชีวะไม่สามารถซึมผ่านกระดาษได้ และในส่วนที่สาม เป็นสารผสมระหว่างน้ำกับสารละลาย 2-propanol หรือ ethanol พบว่า ทั้งน้ำและแอลกอฮอล์สามารถซึมผ่านกระดาษได้ โดยที่แอลกอฮอล์สามารถซึมผ่านกระดาษได้ก่อน

Sahin *et al.* (2002) ศึกษาการประยุกต์พลาสma carbon tetrafluoride (CF_4) บนผิวเซลลูโลส โดยใช้กำลังคลื่นวิทยุ ความดันแก๊ส และเวลาในการประยุกต์พลาสma ต่างๆ พบว่า เมื่อเกิดพลาสma จะเกิดหมู่ฟลูออรีนขึ้นอย่างหนาแน่น แสดงให้เห็นว่าปฏิกิริยาการเกิดฟลูออรีนนั้นถูกควบคุมโดยสภาวะพลาสma (กำลังคลื่นวิทยุ ความดันแก๊ส และเวลาในการประยุกต์พลาสma) ภายหลังการประยุกต์พลาสma บนผิวเซลลูโลส พบร้า ฟลูออรีนปริมาณร้อยละ 51.3 ทำให้เกิดมุนสัมผัสเท่ากับ 147 องศา และแสดงว่าเวลาในการประยุกต์พลาสma น้อยกว่า 30 วินาที ทำให้ผิวเซลลูโลสมีปริมาณฟลูออรีนเข้มข้นมากกว่าร้อยละ 30 และการวิเคราะห์ด้วยเทคนิค high resolution ESCA และ

ATR-FTIR ชี้ให้เห็นว่าพันธะโควาเลนท์ของหมู่ฟังก์ชัน CF_x เกี่ยวข้องกับการปรับสภาพผิวเซลลูโลส

Cech *et al.* (2005) ศึกษาการประยุกต์พลาสma ในโตรเจนพสม octafluorocyclobutane (C_4F_8) พบว่า มุมสัมผัสเพิ่มขึ้นจาก 46.3 องศา เป็น 87-144 องศา พลังงานผิวของกระดาษลดลงจาก 52 มิลลิจูลต่อตารางเมตร เป็น 9 มิลลิจูลต่อตารางเมตร นอกจากนี้ยังพบว่าหลังจากประยุกต์พลาสma บนผิวกระดาษผ่านไปเป็นเวลาหนึ่งวัน อัตราการซึมผ่านของไออน้ำของกระดาษไม่มีการเปลี่ยนแปลง

Tanikella *et al.* (2002) ศึกษาถึงลักษณะการดูดซึมน้ำและการแพร่ผ่านของฟิล์มฟลูอิโรมาร์บอนที่ได้จากการประยุกต์พลาสma pentafluoroethane (CF_3CHF_2) และพลาสma octafluorocyclobutane (C_4F_8) โดยใช้ quartz crystal microbalance ควบคุมสภาวะแวดล้อม และใช้ x-ray photoelectron spectroscopy และ fourier transform infrared (IR) spectroscopy ใช้ตรวจสอบการเปลี่ยนแปลงเชิงปริมาณและโครงสร้างทางเคมีของผิวสัมผัติที่ประยุกต์ด้วยพลาสma นอกจากนี้ยังใช้ในการตรวจสอบองค์ประกอบของฟิล์มพลาสma การทดลองพบว่า ฟิล์มที่ได้จากการประยุกต์ของพลาสma CF_3CHF_2 และ C_4F_8 มีการดูดซึมน้ำสมดุลย์ต่ำกว่าร้อยละ 0.13 โดยนำหนักที่ความชื้นสัมพัทธ์ร้อยละ 90 แสดงให้เห็นว่าฟิล์มที่ได้จากการประยุกต์พลาสma นั้นไม่มีการดูดซึมน้ำ ส่วน attenuated total reflectance infrared spectroscopy (ATR-IR) spectra ของฟิล์มที่ได้จากการประยุกต์พลาสma และแสดงให้เห็นว่า ฟิล์มมีการเปลี่ยนแปลงองค์ประกอบทางเคมีเพียงเล็กน้อย ส่วนอัตราการแพร่ของน้ำเข้าสู่ฟิล์มมีค่าประมาณ 10,210 ตารางเซนติเมตรต่อวินาที นอกจากนี้ยังพบว่าฟิล์มที่ได้จากการประยุกต์พลาสma C_4F_8 มีการแพร่ของน้ำเข้าสู่ฟิล์มมากกว่าฟิล์มที่ได้จากการประยุกต์พลาสma CF_3CHF_2

Vaswani *et al.* (2005) ศึกษาการประยุกต์พลาสma บนผิวกระดาษ โดยใช้พลาสma pentafluoroethane (CF_3CHF_2) และพลาสma octafluorocyclobutane (C_4F_8) เปรียบเทียบกัน พบว่า ฟิล์มบางที่เกิดขึ้นจากพลาสma ของสารฟลูอิโรมาร์บอนมีสมบัติการด้านทานน้ำ โดยมุมสัมผัสมีค่าสูง แม้ว่าไอน้ำสามารถซึมผ่านเข้าสู่ฟิล์มได้แต่ฟิล์มก็ยังคงสมบัติการด้านทานน้ำ เมื่อพิจารณาที่ความหนาต่างๆ ของฟิล์มที่เคลือบบนผิวกระดาษ พบว่า ฟิล์มที่ได้จากการประยุกต์พลาสma CF_3CHF_2 ใช้ความหนาน้อยที่สุดในการคงสมบัติการด้านทานน้ำ โดยในการทดลองทั้งหมดพบว่า ฟิล์มที่ได้จากการประยุกต์พลาสma CF_3CHF_2 เหมาะสมในการประยุกต์ใช้ในด้านภาคชนะบรรจุที่ต้องการความสามารถในการป้องกันน้ำและน้ำมัน ส่วนในด้านการพิมพ์นั้นต้องเป็นฟิล์ม 2 ชั้น ระหว่างพลาสma CF_3CHF_2 และพลาสma nisopropylacrylamide (NIPAAM)

Kloc *et al.* (2006) ศึกษาการประยุกต์พลาสมาในไตรเจนพสม octafluorocyclobutane (C_4F_8) บนผิวกระดาษ พบร้า เมื่อเพิ่มกำลังคลื่นวิทยุทำให้กระดาษสามารถด้านทันทันน้ำได้มากขึ้น และสีของกระดาษเปลี่ยนเป็นสีเหลืองมากขึ้น การเปลี่ยนสีของกระดาษนั้นเกิดจากความร้อน และรังสีอัลตราไวโอเลต ซึ่งทำให้เกิดการ degradation บนผิวกระดาษระหว่างการประยุกต์พลาสma

อุปกรณ์และวิธีการ

อุปกรณ์

1. วัสดุดิบ

1.1 กระดาษแข็งประเภท duplex board เคลือบหน้าเดียว น้ำหนักมาตรฐาน 300 กรัม/ตร.ม.
ซึ่งได้รับความอนุเคราะห์จาก บริษัท กระดาษสหไทย จำกัด

1.2 แก๊สชัลเพอร์เซกกะฟลูโอล์ไรด์ ซึ่งได้รับความอนุเคราะห์จากศูนย์วิจัยนิวตรอนพลังงาน
สูง มหาวิทยาลัยเชียงใหม่

2. อุปกรณ์

- 2.1 เครื่องแก้วที่ใช้ในการทดลอง
- 2.2 เครื่องชั่งละเอียดทนนิยม 3 ตำแหน่ง (Shimadzu BX300, Japan)
- 2.3 เครื่องชั่งละเอียดทนนิยม 4 ตำแหน่ง (Sartorius BP110S, Germany)
- 2.4 เดซิกเกตเตอร์
- 2.5 นาฬิกาจับเวลา
- 2.6 ไมโครปีเพต (Gilson, France)
- 2.7 ตู้ควบคุมอุณหภูมิและปริมาณความชื้นสัมพัทธ์ (WTB Binder KBF 240, Germany)
- 2.8 ตู้อบลมร้อนแบบควบคุมอุณหภูมิ (Contherm, Contherm Scientific Limited)
- 2.9 เครื่องวัดความหนา (Mitutoyo ID-C112BS, Japan)
- 2.10 เครื่องทดสอบการซึมผ่านของแก้วสօอคซิเจน (Illinois 8500, USA.)
- 2.11 ชุดทดสอบการซึมผ่านของไอน้ำ
- 2.12 เครื่องวัดสี (Minolta CR-310, Japan)
- 2.13 เครื่องทดสอบความต้านทานแรงดึง (Testometric 350, England)
- 2.14 เครื่องทดสอบความต้านทานแรงกดวงแหวน (Testometric 350, England)
- 2.15 เครื่องทดสอบความต้านทานต่อการพับ (Toyo seiki, Japan)
- 2.16 ชุดทดสอบการดูดซึมน้ำ (Cobb test)

- 2.17 ชุดวัดมุมสัมผัส (contact angle)
- 2.18 เครื่องผลิตพลาสม่าความดันต่ำ (ศูนย์วิจัยนวัตกรรมพลังงานสูง
มหาวิทยาลัยเชียงใหม่)

วิธีการ

1. ตรวจสอบสมบัติเบื้องต้นของกระดาษ

ตัดกระดาษตามขนาดที่ต้องการตามวิธีการทดสอบแต่ละชนิด ปรับสภาพกระดาษในตู้ควบคุมอุณหภูมิและความชื้นสัมพัทธ์ที่สภาพอากาศทั่วไป 27 ± 1 องศาเซลเซียส ความชื้นสัมพัทธ์ร้อยละ 65 ± 2 (ISO 187) เป็นเวลา 24 ชั่วโมง จากนั้นนำทดสอบสมบัติต่างๆ ดังต่อไปนี้
(รายละเอียดของมาตรฐานการทดสอบแสดงในภาคผนวก ก)

1.1 ทดสอบสมบัติทางกายภาพและสมบัติเชิงกลของกระดาษก่อนประยุกต์พลาสma

- 1.1.1 น้ำหนักมาตรฐานของกระดาษ (ดัดแปลงจาก ASTM D646-96)
- 1.1.2 ความหนาของกระดาษ (ASTM D645-97)
- 1.1.3 ปริมาณความชื้นในกระดาษ (ASTM D644-99)
- 1.1.4 สี (ระบบ L* a* b*)
- 1.1.5 ความด้านทานแรงกดวงแหวน (TAPPI T818-om97)
- 1.1.6 ความด้านทานแรงดึง (ASTM D828-93)
- 1.1.7 ความด้านทานต่อการพับ (ASTM D2176-97a)

1.2 ทดสอบสมบัติการด้านทานนำของกระดาษก่อนประยุกต์พลาสma

- 1.2.1 ทดสอบการดูดซึมน้ำ (Cobb test) (ดัดแปลงจาก ASTM D3285-93)
- 1.2.2 ทดสอบมุมสัมผัส (ดัดแปลงจาก ASTM D5946-04)
- 1.2.3 คำนวนค่างานของการยึดติด (อ้างอิงจาก Schroder, 1999)
- 1.2.4 ทดสอบเวลาในการดูดซึมน้ำ (อ้างอิงจาก สตีริทัน, 2550; Selli *et al.*, 2001)

1.3 ทดสอบสมบัติการสกัดกั่นการซึมผ่านของกระดาษก่อนประยุกต์พลาสma

- 1.3.1 ทดสอบการดูดซึมน้ำมัน (ดัดแปลงจาก ASTM D3285-93)
- 1.3.2 ทดสอบมูนสัมผัสของน้ำมัน (ดัดแปลงจาก ASTM D5946-04)
- 1.3.3 ทดสอบเวลาในการดูดซึมน้ำมัน (อ้างอิงจาก สตีร์ริตน์, 2550; Selli *et al.*, 2001)
- 1.3.4 ทดสอบอัตราการซึมผ่านของไอน้ำ (ASTM E96)
- 1.3.5 ทดสอบอัตราการซึมผ่านของแก๊สออกไซเจน (ASTM D3985)

1.4 การวิเคราะห์พื้นผิวของกระดาษก่อนประยุกต์พลาสma

- 1.4.1 วิเคราะห์ลักษณะพื้นผิว โดยเทคนิค scanning electron microscopy (SEM) ด้วยเครื่อง scanning electron microscope-energy dispersive x-ray spectrometer (JEOL JSM-5600LV, Japan) ด้วยกำลังขยาย 5,000 เท่า
- 1.4.2 วิเคราะห์ความรุขระของพื้นผิว โดยเทคนิค atomic force microscopy (AFM) ด้วยเครื่อง atomic force microscope (Shimadzu SPM-9500, Japan) ในพื้นที่ 30×30 ไมโครเมตร
- 1.4.3 วิเคราะห์องค์ประกอบบนพื้นผิว โดยเทคนิค energy dispersive x-ray spectrometry (EDS) ด้วยเครื่อง scanning electron microscope-energy dispersive x-ray spectrometer (JEOL JSM-5600LV, Japan)

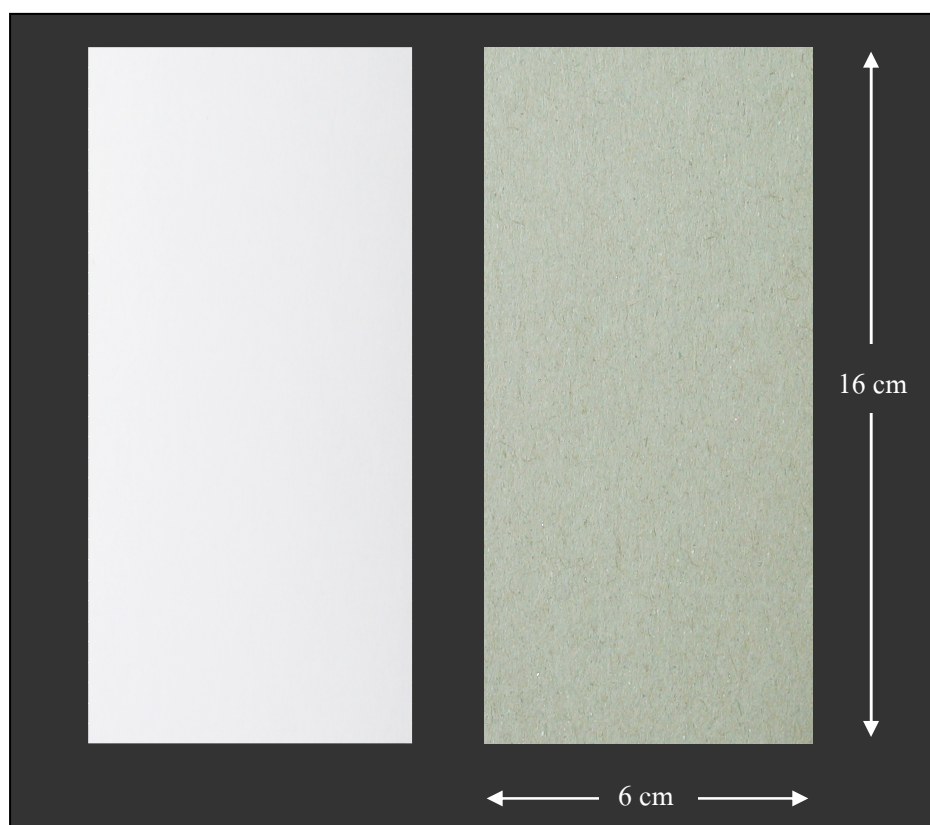
2. ประยุกต์พลาสmaโดยเครื่องผลิตพลาสmaความดันต่ำ

2.1 การเตรียมตัวอย่างกระดาษ

ตัดกระดาษขนาด 6×16 เซนติเมตร ทั้งในแนว MD และแนว CD ดังภาพที่ 15 เพื่อให้สามารถใส่กระดาษลงในแซมเบอร์สุญญากาศของเครื่องผลิตพลาสmaความดันต่ำได้พอดี (รายละเอียดระบบการทำงานของเครื่องผลิตพลาสmaความดันต่ำระบบ ICP สำหรับงานวิจัย แสดงในภาคผนวก ข)

2.2 การประยุกต์พลาสماบนกระดาษ

ใส่ตัวอย่างกระดาษลงในแซมเบอร์สุญญากาศ และดูดอากาศออกเพื่อให้ความดันภายในแซมเบอร์สุญญากาศค่อยๆ ลดลงจนคงที่ จากนั้นผ่านแก๊สเข้าไปแซมเบอร์สุญญากาศจนได้ความดันแก๊สที่ต้องการ ปรับกำลังคลื่นวิทยุตามที่ต้องการ เมื่อระบบทำงาน เครื่องกำเนิดคลื่นวิทยุจะส่งคลื่นรบกวนกระดุนให้แก๊สแตกตัวเป็นพลาสmaและเข้าประยุกต์บนผิวกระดาษ เมื่อเสร็จสิ้นการประยุกต์พลาสma นำกระดาษออกจากแซมเบอร์สุญญากาศเพื่อนำไปทดสอบสมบัติค้านต่างๆ ของกระดาษต่อไป



(ก) ค้านหน้า

(ข) ค้านหลัง

ภาพที่ 15 ลักษณะตัวอย่างกระดาษ (ก) ค้านหน้า และ (ข) ค้านหลัง

3. ศึกษาอิทธิพลของสภาวะพลาสม่าต่อสมบัติการต้านทานน้ำของกระดาษ

3.1 แผนการทดลอง

วางแผนการทดลองแบบสุ่มสมบูรณ์ (completely randomized design, CRD) โดยศึกษา 2 ปัจจัย ได้แก่ กำลังคลื่นวิทยุ 3 ระดับ คือ 25, 50 และ 75 วัตต์ และความดันแก๊ส 4 ระดับ คือ 20, 50, 100 และ 200 มิลลิทอร์ โดยใช้ระยะเวลาในการประยุกต์พลาสมากองที่ที่ 10 นาที เพื่อศึกษาระดับกำลังคลื่นวิทยุและความดันแก๊สที่เหมาะสมในการปรับปรุงสมบัติการต้านทานน้ำของกระดาษสำหรับการศึกษาในขั้นต่อไป

3.2 การทดลอง

นำกระดาษที่ผ่านการประยุกต์พลาสมากายให้สภาวะพลาสม่าต่างๆ มาทดสอบสมบัติการต้านทานน้ำ (มุนสัมผัส งานของการยึดติด และเวลาในการดูดซึมน้ำ) ตามวิธีในข้อ 1.2.2, 1.2.3 และ 1.2.4 เปรียบเทียบผลทดสอบกับกระดาษที่ไม่ผ่านการประยุกต์พลาスマ

4. การพิจารณาเลือกระดับเวลาในการประยุกต์พลาスマ

4.1 แผนการทดลอง

วางแผนการทดลองแบบสุ่มสมบูรณ์ (completely randomized design, CRD) ศึกษาระยะเวลาในการประยุกต์พลาasma ได้แก่ 2, 5, 10, 60, 300, 600, 1200 และ 1800 วินาที โดยกำหนดกำลังคลื่นวิทยุและความดันแก๊สที่เหมาะสมที่สุดจากผลการทดลองในข้อ 3 ทั้งนี้เพื่อเลือกระดับเวลาในการประยุกต์พลาasma ที่สนใจ 4 ระดับ โดยพิจารณาจากความสามารถในการต้านทานน้ำของกระดาษภายหลังการประยุกต์พลาasma ซึ่งเวลาทั้ง 4 ระดับ ที่เลือกมาจะใช้ในการประยุกต์พลาasma เพื่อศึกษาและเปรียบเทียบสมบัติต้านต่างๆ ของกระดาษภายหลังการประยุกต์พลาasma ต่อไป

4.2 การทดลอง

นำกระดาษที่ผ่านการประยุกต์พลาสมาที่ระดับเวลาในการประยุกต์พลาสmaต่างๆ มาทดสอบสมบัติการต้านทานน้ำ (มุนสัมผัส งานของการยึดติด และเวลาในการดูดซึมน้ำ) ตามวิธีในข้อ 1.2.2, 1.2.3 และ 1.2.4 เปรียบเทียบผลทดสอบกับกระดาษที่ไม่ผ่านการประยุกต์พลาสma

5. ศึกษาอิทธิพลของระยะเวลาในการประยุกต์พลาสmaต่อสมบัติของกระดาษ

5.1 แผนการทดลอง

วางแผนการทดลองแบบสุ่มสมบูรณ์ (completely randomized design, CRD) ศึกษาระยะเวลาในการประยุกต์พลาสma 4 ระดับ ซึ่งเลือกจากผลการทดลองในข้อ 4 โดยใช้ระดับกำลังคลื่นวิทยุและความดันแก๊สที่เหมาะสมที่สุดจากผลการทดลองในข้อ 3 เพื่อศึกษาอิทธิพลของระยะเวลาในการประยุกต์พลาสmaต่อสมบัติทางกายภาพ สมบัติเชิงกล สมบัติการต้านทานน้ำ และสมบัติการสกัดกั่นการซึมผ่านของกระดาษ

5.2 การทดลอง

นำกระดาษที่ผ่านการประยุกต์พลาสmaมาตัดตามขนาดที่ต้องการตามวิธีการทดสอบแต่ละชนิด ปรับสภาพกระดาษในตู้ควบคุมอุณหภูมิและความชื้นสัมพัทธ์ที่สภาพะอุณหภูมิ 27 ± 1 องศาเซลเซียส ความชื้นสัมพัทธ์ 65 ± 2 เป็นเวลา 24 ชั่วโมง (ISO 187) จากนั้นทดสอบสมบัติด้านต่างๆ ของกระดาษที่ผ่านการประยุกต์พลาสmaเปรียบเทียบกับกระดาษที่ไม่ประยุกต์พลาสma ดังนี้

- 5.2.1 ทดสอบสมบัติทางกายภาพ และสมบัติเชิงกล ตามวิธีในข้อ 1.1
- 5.2.2 ทดสอบสมบัติการต้านทานน้ำ ตามวิธีในข้อ 1.2
- 5.2.3 ทดสอบสมบัติการสกัดกั่นการซึมผ่าน ตามวิธีในข้อ 1.3
- 5.2.4 การวิเคราะห์พื้นผิว ตามวิธีในข้อ 1.4

6. ศึกษาอิทธิพลของระยะเวลาในการเก็บต่อสมบัติการต้านทานนำของกระดาษภายหลังการประยุกต์พลาสma

เก็บกระดาษประยุกต์พลาสmaภายใต้อุณหภูมิ 25-32 องศาเซลเซียส ความชื้นสัมพัทธ์ร้อยละ 48-74 ซึ่งเป็นสภาพการเก็บกระดาษจริงภายในคลังสินค้าทั่วไปในประเทศไทยและร้อนชื้นเป็นเวลา 4 สัปดาห์ ซึ่งเป็นระยะเวลาโดยประมาณที่ผู้ใช้กล่องกระดาษจะเก็บตัวอย่างกล่องไว้ในคลังสินค้าก่อนการใช้งาน (นวพร, 2549) โดยสุ่มตัวอย่าง ณ วันที่ 1, 3, 7, 14, 21 และวันที่ 28 ภายหลังจากการประยุกต์พลาสma เพื่อนำมาทดสอบสมบัติการต้านทานนำของกระดาษ โดยทดสอบเวลาในการดูดซึมน้ำตามวิธีในข้อ 1.2.4 เปรียบเทียบกับกระดาษที่ไม่ประยุกต์พลาสma

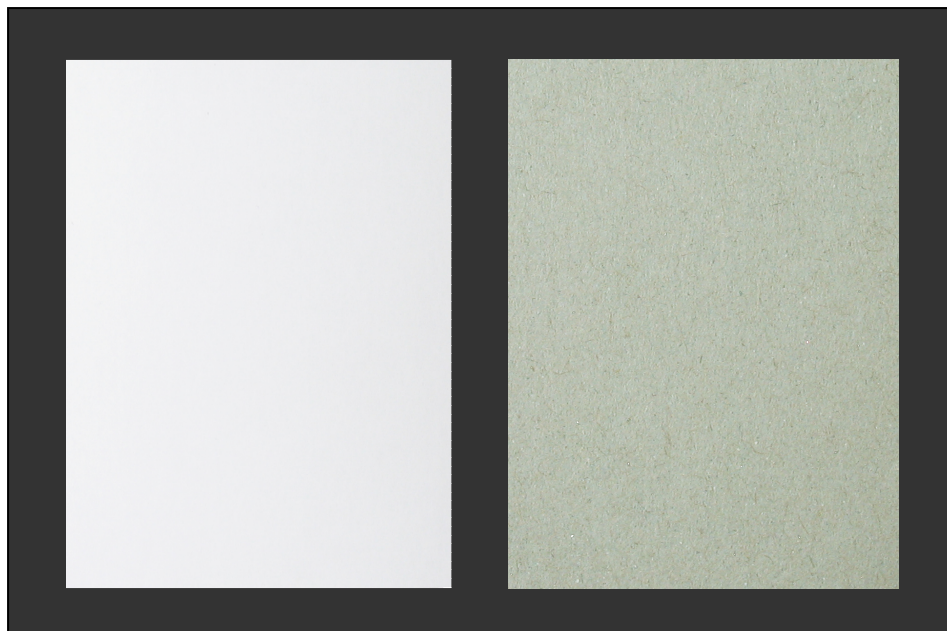
7. วิเคราะห์ข้อมูลทางสถิติ

วิเคราะห์ข้อมูลทางสถิติโดยการทดสอบความแปรปรวน (analysis of variance, ANOVA) และเปรียบเทียบความแตกต่างของค่าเฉลี่ยระหว่างทรีตเมนต์โดยวิธี Duncan's new multiple range test (DMRT) ที่ระดับความเชื่อมั่นร้อยละ 95 ด้วยโปรแกรม SPSS เวอร์ชัน 10

ผลและวิจารณ์

1. สมบัติของกระดาษตัวอย่าง

กระดาษที่ใช้ในการทดลองเป็นกระดาษแข็งประเภท duplex board เคลือบหน้าเดียว น้ำหนักมาตรฐาน 300 กรัมต่อตารางเมตร โดยกระดาษด้านหน้าหรือด้านที่เคลือบผิวมีลักษณะผิวเรียบและมีสีขาว ส่วนกระดาษด้านหลังเป็นด้านที่ไม่ผ่านการเคลือบผิวใดๆ มีลักษณะผิวหยาบและมีสีเทา (ภาพที่ 16) ผลการตรวจสอบค่าสมบัติทางกายภาพ สมบัติเชิงกล สมบัติการต้านทานน้ำ และสมบัติการสกัดกั่นการซึมผ่านของกระดาษก่อนการประยุกต์พลาสma แสดงดังตารางที่ 4 ทั้งนี้ผลการวิเคราะห์พื้นผิวของกระดาษก่อนประยุกต์พลาสma จะอธิบายรวมกับผลการทดลองข้อ 9 เรื่องการวิเคราะห์พื้นผิวของกระดาษประยุกต์พลาสma



(ก) ด้านหน้า

(ข) ด้านหลัง

ภาพที่ 16 ลักษณะปรากฏของกระดาษ (ก) ด้านหน้า และ (ข) ด้านหลัง

ตารางที่ 4 สมบัติของกระดาษก่อนการประยุกต์พลาสma

	สมบัติ	ค่าทดสอบ
สมบัติทางกายภาพ	น้ำหนักกระดาษ (กรัม/ตารางเมตร) ความหนา (มิลลิเมตร) ความชื้น (ร้อยละ) ค่าสี L* (ด้านหน้า) ค่าสี L* (ด้านหลัง) ค่าสี a* (ด้านหน้า) ค่าสี a* (ด้านหลัง) ค่าสี b* (ด้านหน้า) ค่าสี b* (ด้านหลัง)	296.1 ± 0.3 0.337 ± 0.002 8.18 ± 0.08 89.62 ± 0.11 69.26 ± 0.06 0.02 ± 0.01 0.50 ± 0.02 -0.17 ± 0.04 3.21 ± 0.04
สมบัติเชิงกล	ความต้านทานแรงกดวงแหวนแนว MD (กิโลนิวตัน/เมตร) ความต้านทานแรงกดวงแหวนแนว CD (กิโลนิวตัน/เมตร) ความต้านทานแรงดึงแนว MD (กิโลนิวตัน/เมตร) ความต้านทานแรงดึงแนว CD (กิโลนิวตัน/เมตร) ความต้านทานต่อการพับแนว MD (รอบ) ความต้านทานต่อการพับแนว CD (รอบ)	3.14 ± 0.05 2.28 ± 0.05 16.64 ± 0.29 7.31 ± 0.11 360 ± 6.3 161 ± 5.6
สมบัติการด้านทานน้ำ	มุมสัมผัส (องศา) (ด้านหน้า) มุมสัมผัส (องศา) (ด้านหลัง) งานของการยึดติด (ด้ายน์/เซนติเมตร) (ด้านหน้า) งานของการยึดติด (ด้ายน์/เซนติเมตร) (ด้านหลัง) เวลาในการดูดซึมน้ำ (นาที) (ด้านหน้า) เวลาในการดูดซึมน้ำ (นาที) (ด้านหลัง) การดูดซึมน้ำ (กรัม/ตารางเมตร) (ด้านหน้า) การดูดซึมน้ำ (กรัม/ตารางเมตร) (ด้านหลัง)	70 ± 2.0 25 ± 1.9 91.6 ± 2.1 138.7 ± 1.1 > 200 1 ± 0.10 1.53 ± 0.06 15.60 ± 0.28

ตารางที่ 4 (ต่อ)

	สมบัติ	ค่าทดสอบ
สมบัติการสกัด กันการซึมผ่าน	มุนสัมผัสนำมัน (องศา) (ด้านหน้า) มุนสัมผัสนำมัน (องศา) (ด้านหลัง)	n/a 13 ± 0.8
	เวลาในการดูดซึมน้ำมัน (นาที) (ด้านหน้า) เวลาในการดูดซึมน้ำมัน (นาที) (ด้านหลัง)	> 200 101 ± 2.1
	การดูดซึมน้ำมัน (กรัม/ตารางเมตร) (ด้านหน้า) การดูดซึมน้ำมัน (กรัม/ตารางเมตร) (ด้านหลัง)	1.30 ± 0.13 5.40 ± 0.11
	อัตราการซึมผ่านของไอน้ำ (กรัม/ตารางเมตร/วัน) (ด้านหน้า)	0.7531 ± 0.060
	อัตราการซึมผ่านของไอน้ำ (กรัม/ตารางเมตร/วัน) (ด้านหลัง)	0.6916 ± 0.049
	อัตราการซึมผ่านของแก๊สออกซิเจน (ลูกบาศก์เซนติเมตร/ตารางเมตร/วัน) (ด้านหน้า) อัตราการซึมผ่านของแก๊สออกซิเจน (ลูกบาศก์เซนติเมตร/ตารางเมตร/วัน) (ด้านหลัง)	$40,382 \pm 543$ $40,309 \pm 370$

หมายเหตุ n/a ไม่สามารถวัดค่าได้

2. อิทธิพลของสภาพพลาสมาต่อสมบัติการต้านทานนำของกระดาษ

จากการศึกษาอิทธิพลของกำลังคลื่นวิทยุและความดันแก๊สต่อสมบัติการต้านทานนำของกระดาษด้วยการประยุกต์พลาสมาที่กำลังคลื่นวิทยุ 25, 50 และ 75 วัตต์ ความดันแก๊ส 20, 50, 100 และ 200 มิลลิโหร์ เป็นระยะเวลา 10 นาที ผลการทดลองแสดงในตารางที่ 5

ตารางที่ 5 มุนสัมผัส งานของการบีดติด และเวลาในการคูดซึ่งน้ำของกระดาษประยุกต์พลาสma
ที่กำลังคลื่นวิทยุและความดันแก๊สแตกต่างกัน

กระดาษ (วัตต์)	กำลังคลื่นวิทยุ (มิลลิโหร์)	ความดันแก๊ส (องศา)	ค่าทดสอบ		
			งานของการ บีดติด (เดยนซ์/ช.m.)	เวลาในการ คูดซึ่งน้ำ (นาที)	
			มุนสัมผัส ^b		
untreated	untreated	75 ± 1.7 ^b	91.6 ± 2.1 ^p	129 ± 3.0 ^{de}	
	20	85 ± 1.3 ^c	79.1 ± 1.6 ^o	117 ± 3.1 ^b	
25	50	101 ± 2.2 ^e	58.7 ± 2.8 ^m	125 ± 2.1 ^{cd}	
	100	105 ± 2.3 ^g	54.2 ± 2.8 ^k	129 ± 2.5 ^{de}	
	200	120 ± 1.4 ^{kl}	37.0 ± 1.5 ^{fg}	130 ± 3.0 ^{de}	
ด้านหน้า	20	103 ± 2.1 ^f	56.4 ± 2.6 ^l	127 ± 1.7 ^{cde}	
	50	108 ± 1.2 ^h	49.9 ± 1.5 ^j	130 ± 2.6 ^{de}	
	100	115 ± 1.9 ^j	42.3 ± 2.2 ^h	132 ± 3.1 ^e	
	200	130 ± 1.6 ⁿ	25.9 ± 1.5 ^d	141 ± 2.6 ^f	
	20	93 ± 2.0 ^d	69.2 ± 2.6 ⁿ	115 ± 3.0 ^b	
	75	93 ± 1.8 ^d	69.6 ± 2.2 ⁿ	123 ± 3.1 ^c	
	50	138 ± 2.2 ^q	18.6 ± 1.9 ^a	129 ± 3.2 ^{de}	
	100	n/a	n/a	n/a	
	200	n/a	n/a	n/a	
ด้านหลัง	untreated	25 ± 1.9 ^a	138.7 ± 1.1 ^q	1 ± 0.1 ^a	
	20	112 ± 1.0 ⁱ	46.1 ± 1.2 ⁱ	149 ± 2.5 ^g	
	25	119 ± 1.2 ^k	37.3 ± 1.3 ^g	150 ± 2.5 ^g	
	100	126 ± 1.2 ^m	29.7 ± 1.2 ^e	157 ± 2.6 ^h	
	200	131 ± 0.8 ^{no}	25.4 ± 0.8 ^{cd}	158 ± 3.0 ^h	
	20	119 ± 1.0 ^k	37.9 ± 1.2 ^g	149 ± 2.6 ^g	
	50	121 ± 0.8 ^l	35.5 ± 0.8 ^f	157 ± 1.2 ^h	
	100	128 ± 0.9 ^m	28.0 ± 0.9 ^e	171 ± 2.5 ^j	
	200	132 ± 1.4 ^o	23.8 ± 1.3 ^c	174 ± 1.7 ^j	

ตารางที่ 5 (ต่อ)

กระดาย (วัตต์)	กำลังคลื่นวิทยุ (มิลลิวอร์)	ความดันแก๊ส (อากาศ)	ค่าทดสอบ		
			งานของกราฟ	เวลางาน	คุณซึ่มน้ำ ^b (นาที)
ด้านหลัง	75	20	$121 \pm 0.9^{\text{f}}$	$35.3 \pm 1.0^{\text{f}}$	$129 \pm 1.7^{\text{de}}$
		50	$135 \pm 1.0^{\text{p}}$	$21.6 \pm 0.9^{\text{b}}$	$148 \pm 2.5^{\text{g}}$
		100	$137 \pm 0.8^{\text{q}}$	$19.4 \pm 0.6^{\text{a}}$	$162 \pm 2.5^{\text{i}}$
	200	n/a	n/a	n/a	n/a

หมายเหตุ ^{a-q} ตัวอักษรที่ต่างกันใน列ตั้งหมายถึงค่าเฉลี่ยมีความแตกต่างกันทางสถิติ ($p \leq 0.05$)
n/a ไม่สามารถวัดค่าได้

กระดายที่ผ่านการประยุกต์พลาสมามีมุนสัมผัสสูงกว่ากระดายไม่ประยุกต์พลาสมอย่างมีนัยสำคัญ ($p \leq 0.05$) โดยกระดายด้านหน้ามีมุนสัมผัสเพิ่มขึ้นจาก 75 องศา เป็น 85-138 องศา ส่วนกระดายด้านหลังมีมุนสัมผัสเพิ่มขึ้นจาก 25 องศา เป็น 112-137 องศา เมื่อนำค่ามุนสัมผัสที่ได้มาคำนวณค่างานของการยึดติด (work of adhesion, W_a) (วิธีการคำนวณแสดงในภาคผนวก ก) พบว่าเมื่อมุนสัมผัสมีค่าเพิ่มขึ้นงานของการยึดติดจะมีค่าลดลง แสดงให้เห็นว่าหยดน้ำสามารถยึดติดกับผิวกระดายได้น้อยลง

เมื่อพิจารณากำลังคลื่นวิทยุ พบว่า หากกำลังคลื่นวิทยุเพิ่มสูงขึ้น ส่งผลให้มุนสัมผัสมีค่าเพิ่มขึ้นอย่างมีนัยสำคัญ ($p \leq 0.05$) อย่างไรก็ตาม กระดายที่ผ่านการประยุกต์พลาสมาก็กำลังคลื่นวิทยุ 75 วัตต์ มีกลิ่นคล้ายกระดายใหม่ อาจเนื่องมาจากที่กำลังคลื่นวิทยุ 75 วัตต์ ความร้อนในกระบวนการผลิตพลาสมาก็สูงขึ้น จึงส่งผลต่อเส้นใยหรือองค์ประกอบของกระดาย ซึ่งอาจถูกทำลายหรือเกิดการใหม้จากความร้อนที่เกิดขึ้น

เมื่อพิจารณาความดันแก๊ส พบว่า หากความดันแก๊สเพิ่มสูงขึ้น ส่งผลให้มุนสัมผัสดวงกระดายมีค่าสูงขึ้นอย่างมีนัยสำคัญ ($p \leq 0.05$) เช่นเดียวกัน นอกจากนี้ พบว่าที่ความดันแก๊ส 200 มิลลิวอร์ การเปลี่ยนแปลงของพลาสมาก็เกิดขึ้นภายในแซมเบอร์สุญญาศึกษาไมลักยณะ ไม่สม่ำเสมอ โดยบริเวณด้านบนของแซมเบอร์สุญญาศึกษานั้นพลาสมามีสีเข้มและสุกสว่างมากกว่าบริเวณด้าน

ล่างของ章程เบอร์สัญญาภาค อีกทั้งในสภาวะที่กำลังคลื่นวิทยุ 75 วัตต์ ความดันแก๊ส 200 มิลลิโหร์ เกิดความร้อนสูงในการประยุกต์พลาสma จึงต้องยุติการประยุกต์พลาสma ในสภาวะนี้ เพื่อป้องกัน ไม่ให้เครื่องมือและระบบพลาสma เกิดความเสียหาย

นอกจากการวัดค่ามุมสัมผัสและการคำนวณค่างานของการยึดติดแล้ว ความสามารถในการ ต้านทานน้ำอาจพิจารณาได้จากความสามารถในการดูดซึมน้ำลงในเนื้อกระดาษ เมื่อจับเวลาในการ ดูดซึมน้ำหนึ่งหยดของกระดาษ พบว่า ที่กำลังคลื่นวิทยุ 75 วัตต์ เวลาในการดูดซึมน้ำของกระดาษมี ค่าน้อยกว่าที่กำลังคลื่นวิทยุ 25 และ 50 วัตต์ อาจเนื่องมาจากที่กำลังคลื่นวิทยุ 75 วัตต์ เกิดความร้อน สูงใน章程เบอร์สัญญาภาค ซึ่งส่งผลต่อองค์ประกอบของกระดาษ และเมื่อพิจารณาความดันแก๊ส พบว่า หากความดันแก๊สเพิ่มขึ้นทำให้เวลาในการดูดซึมน้ำของกระดาษมีค่าเพิ่มขึ้น แสดงให้เห็นว่า เมื่อความดันแก๊สสูงขึ้นกระดาษสามารถต้านทานน้ำได้นานขึ้น ซึ่งสอดคล้องกับงานวิจัยของ สตรีตัน (2550) ที่กล่าวว่า เมื่อความดันแก๊สพลาสma และกำลังคลื่นวิทยุมากขึ้น เวลาที่ใช้ในการ ดูดซึมน้ำหนึ่งหยดก็มากขึ้น เช่นเดียวกัน โดยถ้ากำลังคลื่นวิทยุมากขึ้นจะมีการแตกตัวของแก๊ส ชัลเฟอร์เซกซะฟลูออไรด์เป็นฟลูออเรนที่พร้อมจะเกิดพันธะกับอะตอนอีนๆ มากขึ้น

ผลการทดลองในขั้นตอนนี้สามารถสรุปได้ว่า ที่กำลังคลื่นวิทยุ 50 วัตต์ และความดันแก๊ส 100 มิลลิโหร์ เป็นสภาวะที่เหมาะสมในการปรับปรุงสมบัติการต้านทานน้ำของกระดาษสำหรับการ ทดลองนี้ ดังนั้น จึงกำหนดสภาวะพลาสma ที่ 50 วัตต์ และความดันแก๊สที่ 100 มิลลิโหร์ เป็นสภาวะ ในการประยุกต์พลาสma สำหรับการศึกษาอิทธิพลของระยะเวลาในการประยุกต์พลาสma ต่อสมบัติ ของกระดาษในการศึกษาขั้นต่อไป

3. การพิจารณาเลือกระดับเวลาในการประยุกต์พลาสma

การพิจารณาเลือกระดับเวลาในการประยุกต์พลาสma นั้นจะใช้ระดับกำลังคลื่นวิทยุ 50 วัตต์ ความดันแก๊ส 100 มิลลิโหร์ ซึ่งได้จากการทดลองในข้อ 2 และกำหนดระยะเวลาในการประยุกต์ พลาสma แตกต่างกัน 8 ระดับ ได้แก่ 2, 5, 10, 60, 300, 600, 1200 และ 1800 วินาที โดยผลการ ทดสอบสมบัติการต้านทานน้ำของกระดาษแสดงดังตารางที่ 6

ตารางที่ 6 มุ่มสัมผัส งานของการบีดติด และเวลาในการคัดซึมน้ำของกระดาษประยุกต์พลาสมา
ที่เวลาในการประยุกต์พลาสมาแตกต่างกัน

กระดาษ	เวลาในการ ประยุกต์พลาสma (วินาที)	ค่าทดสอบ		
		มุ่มสัมผัส (องศา)	งานของการ บีดติด (เดยนซ์/ช.m.)	เวลาในการ คัดซึมน้ำ (นาที)
	untreated	74 ± 1.5 ^b	92.7 ± 1.8 ^h	127 ± 3.0 ^f
	2	111 ± 1.2 ^c	46.9 ± 1.2 ^g	129 ± 2.1 ^{fgh}
	5	112 ± 1.3 ^c	45.7 ± 1.6 ^g	129 ± 3.1 ^{fgh}
	10	122 ± 1.4 ^e	34.2 ± 1.5 ^e	130 ± 2.5 ^{fghi}
ด้านหน้า	60	124 ± 0.8 ^f	32.4 ± 0.9 ^d	131 ± 3.2 ^{ghij}
	300	124 ± 1.2 ^f	31.7 ± 1.3 ^d	133 ± 3.1 ^{hij}
	600	126 ± 0.8 ^g	29.7 ± 0.8 ^c	134 ± 2.6 ^j
	1200	125 ± 1.3 ^{fg}	31.1 ± 1.3 ^{cd}	134 ± 2.5 ^j
	1800	125 ± 1.2 ^{fg}	33.5 ± 1.3 ^{cd}	133 ± 2.5 ^{hij}
	untreated	25 ± 1.9 ^a	138.7 ± 1.1 ⁱ	1 ± 0.1 ^a
	2	110 ± 1.0 ^c	47.5 ± 1.2 ^g	47 ± 1.6 ^b
	5	115 ± 1.9 ^d	42.2 ± 2.2 ^f	84 ± 1.7 ^c
	10	126 ± 1.6 ^g	30.0 ± 1.6 ^c	104 ± 1.8 ^d
ด้านหลัง	60	130 ± 1.6 ^h	25.9 ± 1.6 ^b	106 ± 1.8 ^d
	300	131 ± 1.3 ^h	25.0 ± 1.2 ^b	117 ± 2.0 ^e
	600	134 ± 0.8 ⁱ	21.8 ± 0.8 ^a	129 ± 1.9 ^{fgh}
	1200	134 ± 2.1 ⁱ	21.8 ± 1.9 ^a	130 ± 1.9 ^{fghi}
	1800	134 ± 0.8 ⁱ	22.1 ± 0.7 ^a	128 ± 1.6 ^{fg}

หมายเหตุ ^{a-j} ตัวอักษรที่ต่างกันในแต่ละหมาดถึงค่าเฉลี่ยมีความแตกต่างกันทางสถิติ ($p \leq 0.05$)

จากผลการทดลอง พบร่วมกับ กระดายประยุกต์พลาสma โดยใช้เวลาเพียง 2 วินาที สามารถต้านทานน้ำได้มากกว่ากระดายไม่ผ่านการประยุกต์พลาสma อย่างมีนัยสำคัญ ($p \leq 0.05$) และเมื่อเวลาในการประยุกต์พลาสma นานขึ้น ทำให้สมบัติการต้านทานน้ำของกระดายเพิ่มขึ้นอย่างรวดเร็ว จนถึงจุดๆ หนึ่ง การทดลองพบว่า เมื่อใช้เวลาในการประยุกต์พลาสma 60 และ 300 วินาที กระดายมีความสามารถในการต้านทานน้ำไม่แตกต่างกัน ซึ่งสังเกตได้จากค่ามูมสัมผัส ส่วนการประยุกต์พลาสma ที่เวลา 600, 1200 และ 1800 วินาที พบร่วมกับ กระดายมีความสามารถในการต้านทานน้ำไม่แตกต่างกันเช่นเดียวกัน โดยลักษณะของน้ำบนพื้นผิวกระดายภายหลังการประยุกต์พลาสma แสดงดังตารางที่ 7

จากผลการทดลองสามารถเลือกระดับเวลาในการประยุกต์พลาสma สำหรับการศึกษาสมบัติ ด้านต่างๆ ของกระดาย ได้เป็น 4 ทรีตเมนต์ ดังนี้

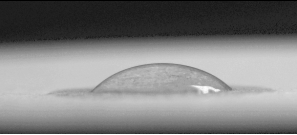
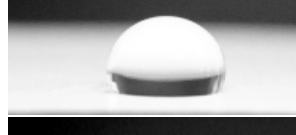
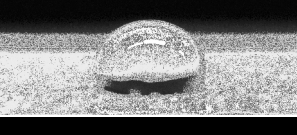
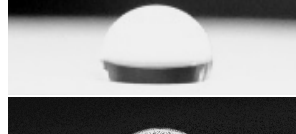
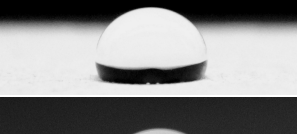
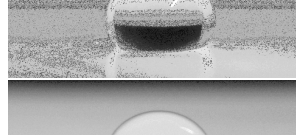
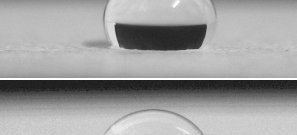
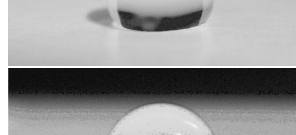
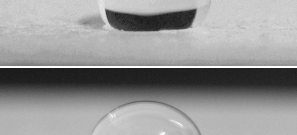
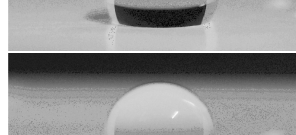
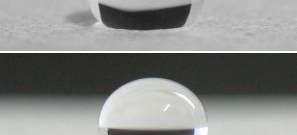
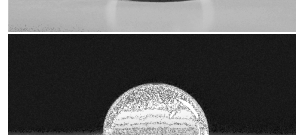
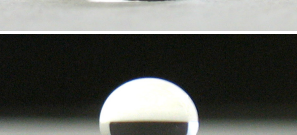
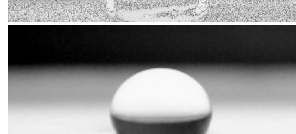
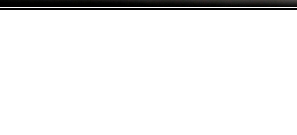
ทรีตเมนต์ที่ 1: เวลาในการประยุกต์พลาสma 2 วินาที (กำลังคลื่นวิทยุ 50 วัตต์ ความดัน แก๊ส 100 มิลลิทอร์) ซึ่งเป็นเวลาน้อยที่สุดที่สามารถเพิ่มสมบัติการต้านทานน้ำของกระดาย ได้อย่างมีนัยสำคัญ ($p \leq 0.05$)

ทรีตเมนต์ที่ 2: เวลาในการประยุกต์พลาสma 10 วินาที (กำลังคลื่นวิทยุ 50 วัตต์ ความดัน แก๊ส 100 มิลลิทอร์) ซึ่งเป็นเวลาที่ไม่นานเกินไปที่สามารถเพิ่มสมบัติการต้านทานน้ำของกระดาย ได้ดี และมีความเป็นไปได้ที่จะประยุกต์ใช้ในระดับอุตสาหกรรม

ทรีตเมนต์ที่ 3: เวลาในการประยุกต์พลาสma 60 วินาที (กำลังคลื่นวิทยุ 50 วัตต์ ความดัน แก๊ส 100 มิลลิทอร์) ซึ่งเป็นเวลาที่ไม่นานเกินไปที่สามารถเพิ่มสมบัติการต้านทานน้ำของกระดาย ได้ดี และมีความเป็นไปได้ที่จะประยุกต์ใช้ในระดับอุตสาหกรรม

ทรีตเมนต์ที่ 4: เวลาในการประยุกต์พลาสma 600 วินาที (กำลังคลื่นวิทยุ 50 วัตต์ ความดัน แก๊ส 100 มิลลิทอร์) ซึ่งเป็นเวลาที่สามารถเพิ่มสมบัติการต้านทานน้ำของกระดาย ได้ดีที่สุด

ตารางที่ 7 ลักษณะของดัํบบันผิวกระดาษที่ใช้เวลาในการประยุกต์พลาสmaแตกต่างกัน

เวลาในการประยุกต์พลาสma (วินาที)	ลักษณะของดัํบบันผิวกระดาษ ¹	
	กระดาษค้านหน้า	กระดาษค้านหลัง
untreated		
2		
5		
10		
60		
300		
600		
1200		
1800		

หมายเหตุ ¹ ปริมาตรหยอดน้ำ 40 ไมโครลิตร

4. สมบัติทางกายภาพของกระดาษ

น้ำหนักมาตรฐาน ความหนา และปริมาณความชื้นของกระดาษประยุกต์พลาสma และกระดาษที่ไม่ประยุกต์พลาสma แสดงดังตารางที่ 8 ผลการทดลองพบว่า กระดาษประยุกต์พลาสma และกระดาษที่ไม่ผ่านการประยุกต์พลาสma มีน้ำหนักมาตรฐาน ความหนา และปริมาณความชื้น ไม่มีความแตกต่างกัน เนื่องจากการประยุกต์พลาสma ส่งผลต่อผิวกระดาษในระดับนาโนเมตร เท่านั้น จึงไม่ส่งผลต่อน้ำหนักมาตรฐาน ความหนา และปริมาณความชื้นของกระดาษ ซึ่งสอดคล้อง กับงานวิจัยของ Vaswani (2005)

ตารางที่ 8 น้ำหนักมาตรฐาน ความหนา และปริมาณความชื้นของกระดาษประยุกต์พลาสma

เวลาในการ ประยุกต์พลาสma (วินาที)	ค่าทดสอบ		
	น้ำหนักมาตรฐาน (กรัม/ตร.ม.)	ความหนา (มม.)	ปริมาณความชื้น (ร้อยละ)
untreated	$296.1 \pm 0.3^{\text{ns}}$	$0.337 \pm 0.002^{\text{ns}}$	$8.18 \pm 0.08^{\text{ns}}$
2	$295.4 \pm 0.2^{\text{ns}}$	$0.337 \pm 0.003^{\text{ns}}$	$8.15 \pm 0.06^{\text{ns}}$
10	$296.3 \pm 0.3^{\text{ns}}$	$0.337 \pm 0.004^{\text{ns}}$	$8.17 \pm 0.07^{\text{ns}}$
60	$295.1 \pm 0.3^{\text{ns}}$	$0.338 \pm 0.003^{\text{ns}}$	$8.19 \pm 0.06^{\text{ns}}$
600	$295.8 \pm 0.3^{\text{ns}}$	$0.337 \pm 0.003^{\text{ns}}$	$8.18 \pm 0.09^{\text{ns}}$

หมายเหตุ ns ตัวอักษรในแต่ละบรรทัดหมายถึงค่าเฉลี่ยไม่มีความแตกต่างกัน

ผลการวัดสีของกระดาษประยุกต์พลาสma แสดงดังตารางที่ 9 โดยเมื่อพิจารณาค่าสี L* ซึ่งแสดงถึงความสว่างของกระดาษ พบร่วมกับภายนอกการประยุกต์พลาสma กระดาษด้านหน้า L* มีค่าลดลง ในขณะที่กระดาษด้านหลัง L* ไม่มีการเปลี่ยนแปลง ส่วนค่าสี a* พบร่วมกับกระดาษด้านหน้า a* มีค่าเพิ่มขึ้น ในขณะที่กระดาษด้านหลัง a* มีค่าลดลง และเมื่อพิจารณาค่าสี b* พบร่วมกับกระดาษด้านหน้า b* มีค่าลดลง ในขณะที่กระดาษด้านหลัง b* มีค่าเพิ่มขึ้น แสดงให้เห็นว่าภายนอกการประยุกต์พลาสma ทำให้ความสว่างของกระดาษลดลง และสีมีการเปลี่ยนแปลง

ตารางที่ 9 สีของกระดาษประยุกต์พลาสma

กระดาษ	เวลาในการประยุกต์พลาสma (วินาที)	ค่าทดสอบ		
		L*	a*	b*
ด้านหน้า	untreated	89.62 ± 0.11 ^d	0.02 ± 0.01 ^a	-0.17 ± 0.04 ^c
	2	88.65 ± 0.11 ^b	0.31 ± 0.02 ^c	-0.83 ± 0.02 ^a
	10	88.75 ± 0.03 ^c	0.32 ± 0.01 ^c	-0.80 ± 0.06 ^a
	60	88.68 ± 0.06 ^{cb}	0.31 ± 0.06 ^c	-0.49 ± 0.10 ^b
	600	88.68 ± 0.10 ^{cb}	0.30 ± 0.03 ^{bc}	-0.51 ± 0.08 ^b
ด้านหลัง	untreated	69.26 ± 0.06 ^a	0.50 ± 0.02 ^e	3.21 ± 0.04 ^d
	2	69.26 ± 0.04 ^a	0.34 ± 0.02 ^d	3.25 ± 0.08 ^d
	10	69.27 ± 0.03 ^a	0.35 ± 0.02 ^d	3.26 ± 0.05 ^d
	60	69.25 ± 0.06 ^a	0.32 ± 0.02 ^c	3.46 ± 0.06 ^e
	600	69.20 ± 0.08 ^a	0.28 ± 0.01 ^b	3.86 ± 0.13 ^f

หมายเหตุ ^{a-f} ตัวอักษรที่ต่างกันในแต่ละค่าเฉลี่ยมีความแตกต่างกันทางสถิติ ($p \leq 0.05$)

เมื่อทดลองนำกระดาษที่ไม่ผ่านการประยุกต์พลาสmaไปอบความร้อนที่อุณหภูมิ 105 และ 130 องศาเซลเซียส เป็นเวลา 30 นาที ทิ้งไว้ให้กระดาษเย็นตัวลง และนำมาวัดสีเพื่อใช้ในการเปรียบเทียบผลกับกระดาษประยุกต์พลาสma ผลการทดลองแสดงดังตารางที่ 10 พบว่า เมื่ออบกระดาษด้วยความร้อน ทำให้สีของกระดาษเกิดการเปลี่ยนแปลง ซึ่งกระดาษอบความร้อนและกระดาษประยุกต์พลาสma มีแนวโน้มการเปลี่ยนสีที่เหมือนกันทั้งกระดาษด้านหน้าและด้านหลัง แสดงให้เห็นว่าการเปลี่ยนสีของกระดาษประยุกต์พลาสma เกิดขึ้นเนื่องจากความร้อนขณะประยุกต์พลาสma บนกระดาษ โดยความร้อนอาจทำให้สารเติมแต่งหรือเส้นใยเซลลูโลสเกิดการ degradation ส่งผลให้เกิดการเปลี่ยนแปลงของสีที่เป็นองค์ประกอบของสารเติมแต่งหรือเส้นใยเซลลูโลสนั้น ซึ่งสอดคล้องกับรายงานวิจัยที่พบว่า ภายหลังการประยุกต์พลาสma บนกระดาษ กระดาษจะมีความสว่างลดลง และมีสีเหลืองเพิ่มขึ้น ซึ่งเกิดจากอิทธิพลของความร้อนและรังสีอัลตราไวโอเลตที่เกิดขึ้นขณะทำการประยุกต์พลาสma (Sahin *et al.*, 2002; Kloc *et al.*, 2006; Vrajova and Krčma, 2006)

ตารางที่ 10 สีของกระดาษหลังผ่านการอบความร้อน

กระดาษ	อุณหภูมิในตู้อบ (องศาเซลเซียส)	ค่าทดสอบ ¹		
		L*	a*	b*
ด้านหน้า	untreated	89.62 ± 0.11 ^c	0.02 ± 0.01 ^a	-0.17 ± 0.04 ^c
	105	89.15 ± 0.04 ^b	0.33 ± 0.02 ^c	-0.86 ± 0.02 ^a
	130	89.16 ± 0.06 ^b	0.28 ± 0.02 ^b	-0.55 ± 0.03 ^b
ด้านหลัง	untreated	69.26 ± 0.06 ^a	0.50 ± 0.02 ^c	3.21 ± 0.04 ^d
	105	69.27 ± 0.04 ^a	0.37 ± 0.02 ^d	3.39 ± 0.02 ^e
	130	69.29 ± 0.03 ^a	0.32 ± 0.01 ^c	3.61 ± 0.02 ^f

หมายเหตุ ^{a-f} ตัวอักษรที่ต่างกันในแต่ละค่าด้วยกันในแต่ละค่าเดียวกันที่มีความแตกต่างกันทางสถิติ ($p \leq 0.05$)

¹ อบความร้อนนาน 30 นาที ด้วยตู้อบลมร้อนแบบควบคุมอุณหภูมิ (Contherm, Contherm Scientific Limited)

5. สมบัติเชิงกลของกระดาษ

ผลการทดสอบความต้านทานแรงกดวงแหวน ความต้านทานต่อการพับ และความต้านทานแรงดึงในแนว MD และ CD ของกระดาษประยุกต์พลาสmaแสดงดังตารางที่ 11 เมื่อพิจารณาความต้านทานแรงกดวงแหวนของกระดาษแนว MD พบว่า กระดาษประยุกต์พลาสma มีความต้านทานแรงกดวงแหวนน้อยกว่ากระดาษไม่ประยุกต์พลาสmaอย่างมีนัยสำคัญ ($p \leq 0.05$) อย่างไรก็ตาม สำหรับกระดาษแนว CD พบว่า กระดาษประยุกต์พลาสma และกระดาษไม่ประยุกต์พลาสma มีความต้านทานแรงกดวงแหวนไม่แตกต่างกัน เมื่อพิจารณาความต้านทานการพับ พบว่า กระดาษประยุกต์พลาสma ทั้งแนว MD และ CD มีความต้านทานการพับน้อยกว่ากระดาษไม่ประยุกต์พลาสma อย่างมีนัยสำคัญ ($p \leq 0.05$) อย่างไรก็ตาม พบว่า กระดาษประยุกต์พลาสma และกระดาษไม่ประยุกต์พลาสma มีความต้านทานแรงดึงไม่แตกต่างกัน

ตารางที่ 11 ความต้านทานแรงกดวงแหวน ความต้านทานต่อการพับ และความต้านทานแรงดึงของกระดาษประยุกต์พลาสma

ทิศทาง	เวลาในการ ประยุกต์พลาสma (วินาที)	ค่าทดสอบ		
		ความต้านทาน แรงกดวงแหวน (กิโลนิวตัน/m.)	ความต้านทาน การพับ (รอบ)	ความต้านทาน แรงดึง (กิโลนิวตัน/m.)
MD	untreated	3.14 ± 0.05 ^c	360 ± 6.3 ^f	16.64 ± 0.29 ^b
	2	2.91 ± 0.05 ^b	269 ± 5.3 ^e	16.75 ± 0.56 ^b
	10	2.90 ± 0.03 ^b	271 ± 6.3 ^e	16.84 ± 0.54 ^b
	60	2.91 ± 0.05 ^b	272 ± 6.0 ^e	16.80 ± 0.38 ^b
	600	2.91 ± 0.03 ^b	263 ± 8.3 ^d	16.71 ± 0.40 ^b
CD	untreated	2.28 ± 0.05 ^a	161 ± 5.6 ^c	7.11 ± 0.11 ^a
	2	2.26 ± 0.04 ^a	137 ± 7.7 ^b	7.43 ± 0.15 ^a
	10	2.26 ± 0.04 ^a	141 ± 8.0 ^b	7.46 ± 0.13 ^a
	60	2.27 ± 0.05 ^a	136 ± 6.4 ^b	7.31 ± 0.14 ^a
	600	2.28 ± 0.05 ^a	113 ± 6.8 ^a	7.35 ± 0.21 ^a

หมายเหตุ ^{a-f} ตัวอักษรที่ต่างกันในแต่ละหัวข้อถือว่ามีความแตกต่างกันทางสถิติ ($p \leq 0.05$)

ผลการทดลองแสดงให้เห็นว่า การประยุกต์พลาสmaทำให้ความแข็งแรงของกระดาษลดลง ซึ่งสอดคล้องกับงานวิจัยของ Sahin *et al.* (2002) โดยสามารถเนื่องมาจากการถูกโซลูโอลูโลสบริเวณผิวกระดาษเกิดการแตกออกจากกันภายในได้อิทธิพลของ particle bombardment และ vacuum ultraviolet (VUV) irradiation ที่มีพลังงานสูงในขณะประยุกต์พลาสma ส่งผลให้ความแข็งแรงของกระดาษลดลง (Deslandes *et al.*, 1998; Vohrer *et al.*, 2001; Vrajova and Krčma, 2006) ซึ่งการแตกออกของสารโซลูโอลูโลส ทำให้ความขาวของสารโซลูสันลด ส่งผลให้ความสามารถในการต้านทานแรงกดในแนวตั้งและการต้านทานการพับลดลง ได้ โดยเฉพาะกระดาษแนว MD ส่วนกระดาษแนว CD นั้น องค์ประกอบของเส้นใยไม่ได้มีส่วนช่วยในการรับแรงมากนักจึงเกิดการเปลี่ยนแปลงน้อยกว่ากระดาษแนว MD

6. สมบัติการต้านทานน้ำของกระดาษ

ค่ามุ่งสัมผัส งานของการยึดติด การดูดซึมน้ำ และเวลาในการดูดซึมน้ำของกระดาษ ประยุกต์พลาสma แสดงดังตารางที่ 12 เมื่อพิจารณากระดาษด้านหน้าและด้านหลังพบว่า ได้ผลเป็นแนวโน้มเดียวกัน โดยกระดาษประยุกต์พลาสma มีความสามารถในการต้านทานน้ำเพิ่มขึ้นอย่างชัดเจน เห็นได้จากการดูดซึมน้ำที่ลดลง มุ่งสัมผัส และเวลาในการดูดซึมน้ำที่เพิ่มขึ้น และเมื่อนำมุ่งสัมผัสที่ได้มาคำนวณค่างานของการยึดติด พบว่า เมื่อมุ่งสัมผัสเพิ่มขึ้นงานของการยึดติดจะมีค่าลดลง และคงไว้ใช้พลังงานน้อยลงในการแยกน้ำออกจากผิวกระดาษ

เมื่อพิจารณาอัตราการลดลงของมุ่งสัมผัสของกระดาษ โดยการวัดมุ่งสัมผัสแบบต่อเนื่อง (dynamic contact angle) ของหยดน้ำปริมาตร 40 ไมโครลิตร ในนาทีที่ 0, 1, 2, 3, 4, 5, 6, 7, 8, 9, 10, 20 และนาทีที่ 30 ภายหลังการหยดหยดน้ำลงบนผิวกระดาษ เพื่อศึกษาลักษณะการเปลี่ยนแปลงของมุ่งสัมผัสของหยดน้ำเมื่อเวลาผ่านไป ผลการทดลองแสดงดังภาพที่ 17 (รายละเอียดของค่าทดสอบแสดงในภาคผนวก ค)

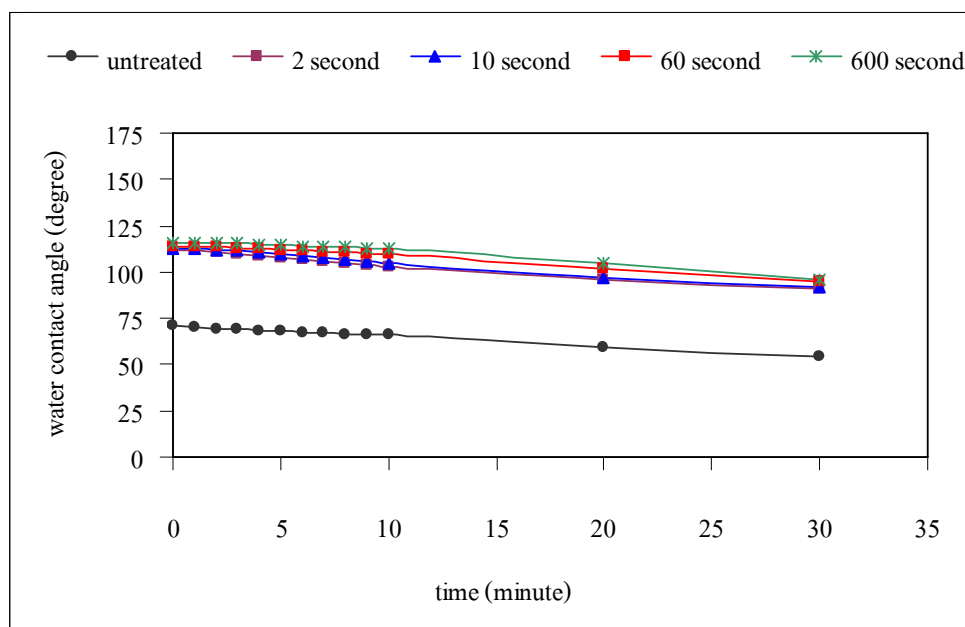
กระดาษประยุกต์พลาสma มีอัตราการลดลงของมุ่งสัมผัสของหยดน้ำอยกว่ากระดาษไม่ประยุกต์พลาสma อย่างมีนัยสำคัญ ($p \leq 0.05$) อย่างไรก็ตาม พบว่าในกรณีของกระดาษด้านหน้า อัตราการลดลงของมุ่งสัมผัสของกระดาษประยุกต์พลาสma และกระดาษไม่ประยุกต์พลาสma มีความแตกต่างกันเพียงเล็กน้อย อาจเป็นเพราะว่าผิวกระดาษด้านหน้ามีสารเคลือบผิวเกาะอยู่ ทำให้พื้นที่ในการเกิดปฏิกิริยาระหว่างอนุมูลฟลูออรินกับเส้นใยเซลลูโลสมีน้อยกว่ากระดาษด้านหลัง ทำให้ผลการทดลองของกระดาษด้านหน้ามีความชัดเจนน้อยกว่ากระดาษด้านหลัง

เมื่อพิจารณากระดาษด้านหลังพบว่า หากใช้เวลาในการประยุกต์พลาสma นานขึ้น อัตราการลดลงของมุ่งสัมผัสก็จะน้อยลงจนถึงจุดๆ หนึ่ง เนื่องจากเมื่อเวลานานขึ้นพลาสma จะมีเวลาในการทำปฏิกิริยากับผิวกระดาษ ได้มากขึ้น ซึ่งการทดลองพบว่า กระดาษที่ผ่านการประยุกต์พลาสma นาน 2 วินาที มีอัตราการลดลงของมุ่งสัมผัสมากที่สุด เนื่องจากเป็นเวลาที่น้อยเกินไป ทำให้พลาสma ไม่สามารถเข้าทำปฏิกิริยากับผิวกระดาษ ได้อย่างเต็มที่ (Dreux *et al.*, 2002) ส่วนกระดาษที่ผ่านการประยุกต์พลาสma นาน 60 และ 600 วินาที มีอัตราการลดลงของมุ่งสัมผัสไม่แตกต่างกัน แสดงให้เห็นว่า การเกิดปฏิกิริยาระหว่างอนุมูลฟลูออรินกับเส้นใยเซลลูโลสเริ่มคงที่ แม้ให้เวลานานขึ้นก็ไม่สามารถทำปฏิกิริยาได้มากขึ้น สำหรับการทดลองนี้ การประยุกต์พลาสma นาน 60 วินาที ถือได้ว่า เป็นเวลาที่สั้นที่สุดที่ทำให้กระดาษสามารถต้านทานน้ำได้ดีที่สุด

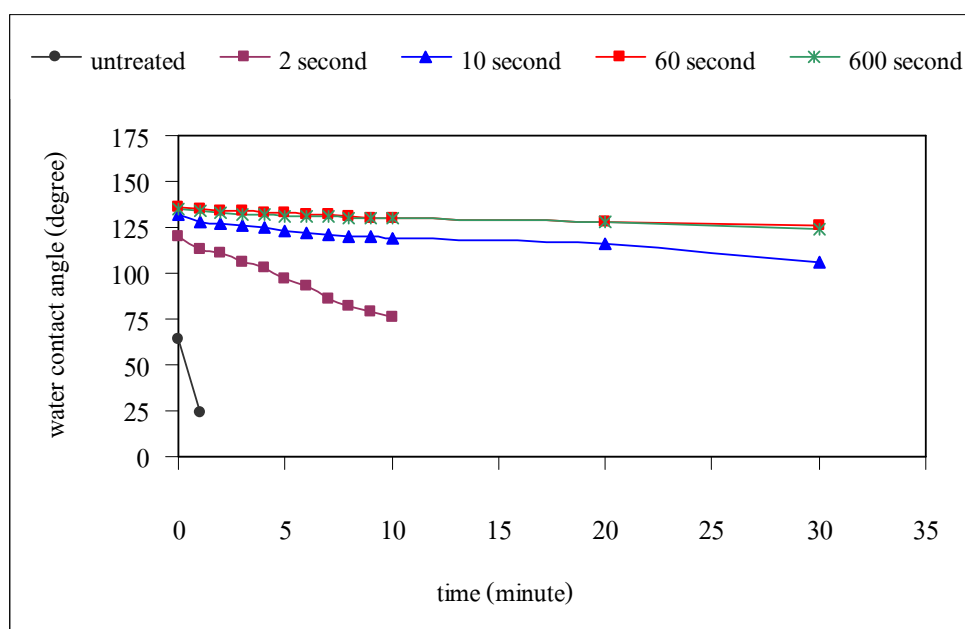
ตารางที่ 12 มุ่งสัมผัส งานของการขึ้นติด การดูดซึมน้ำ และเวลาในการดูดซึมน้ำของกระดาษประยุกต์พลาสma

กระดาษ	เวลาในการ ประยุกต์พลาสma (วินาที)	ค่าทดสอบ			
		มุ่งสัมผัส (องศา)	งานของ การขึ้นติด (ค่าyn'/zm.)	การดูดซึมน้ำ (กรัม/ตร.m.)	เวลาในการ ดูดซึมน้ำ (นาที)
		70 ± 2.0 ^b	97.7 ± 2.38 ^f	1.53 ± 0.06 ^d	> 200 ^f
ด้านหน้า	untreated	111 ± 1.9 ^c	46.3 ± 2.20 ^e	1.12 ± 0.17 ^c	> 200 ^f
	2	112 ± 1.0 ^{cd}	44.9 ± 1.23 ^{de}	0.65 ± 0.27 ^b	> 200 ^f
	10	119 ± 1.9 ^d	43.4 ± 2.25 ^d	0.24 ± 0.06 ^a	> 200 ^f
	60	116 ± 1.5 ^e	40.7 ± 1.68 ^c	0.16 ± 0.06 ^a	> 200 ^f
	600				
ด้านหลัง	untreated	25 ± 1.9 ^a	138.7 ± 1.07 ^g	15.60 ± 0.28 ^h	1 ± 0.10 ^a
	2	113 ± 1.9 ^{cd}	44.4 ± 2.22 ^{de}	14.18 ± 0.49 ^g	14 ± 1.82 ^b
	10	128 ± 2.0 ^f	27.8 ± 2.04 ^b	3.47 ± 0.61 ^f	141 ± 2.4 ^c
	60	135 ± 0.9 ^g	21.3 ± 0.81 ^a	2.97 ± 0.31 ^e	159 ± 2.2 ^d
	600	134 ± 0.8 ^g	22.4 ± 0.69 ^a	3.63 ± 0.38 ^f	175 ± 2.7 ^e

หมายเหตุ ^{a-h} ตัวอักษรที่ต่างกันในแต่ละตั้งหมายถึงค่าเฉลี่ยมีความแตกต่างกันทางสถิติ ($p \leq 0.05$)



(ก) กระดาษด้านหน้า



(ข) กระดาษด้านหลัง

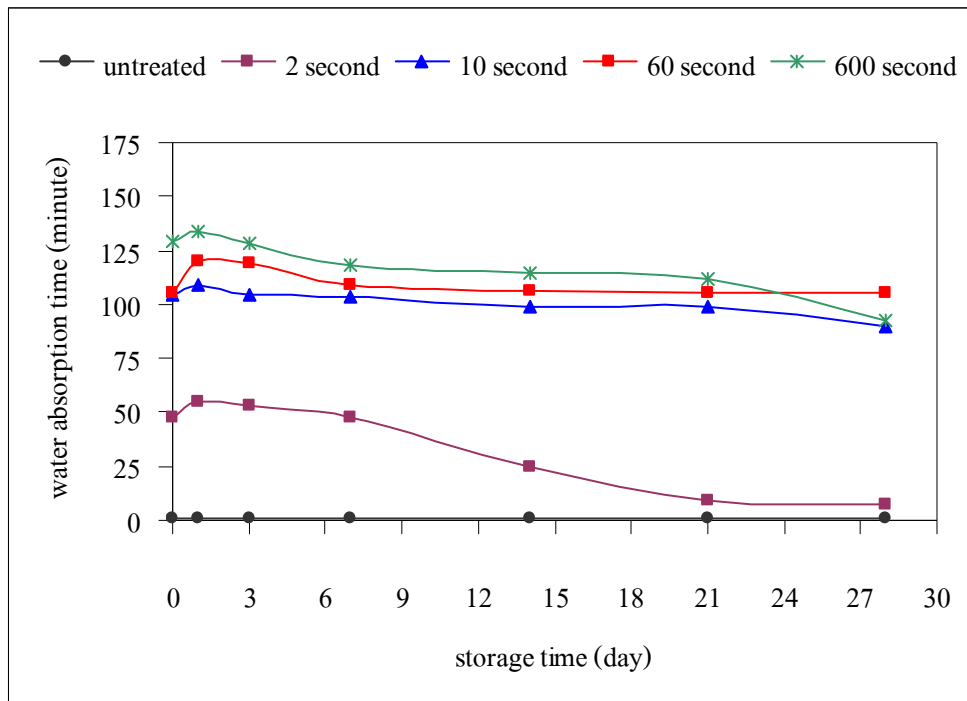
ภาพที่ 17 การลดลงของค่ามุมสัมผัสของหยดน้ำเมื่อเวลาผ่านไปสำหรับกระดาษประยุกต์พลาสม่า^ก กระดาษด้านหน้า และ (ข) กระดาษด้านหลัง

7. ศึกษาอิทธิพลของระยะเวลาในการเก็บต่อสมบัติการต้านทานน้ำของกระดาย

เวลาในการคุณซึ่มน้ำของกระดายประยุกต์พลาสma เมื่อเก็บในสภาพอุณหภูมิ 25-32 องศาเซลเซียส ความชื้นสัมพัทธ์ร้อยละ 48-74 ซึ่งเป็นสภาพของคลังสินค้าในประเทศไทย ร้อนชื้นทั่วไป ผลการทดลองแสดงดังภาพที่ 18 (รายละเอียดของค่าทดสอบแสดงในภาคผนวก ง) การทดลองนี้ใช้กระดายต้านทานหลังซึ่งเป็นต้านที่ไม่มีการเคลือบพิวในการศึกษา เนื่องจากสามารถเห็นผลการต้านทานน้ำได้ชัดเจน จึงน่าจะใช้เป็นตัวแทนในการศึกษาอิทธิพลของระยะเวลาในการเก็บ ได้ดีกว่ากระดายด้านหน้า ผลการทดลอง พบว่า เมื่อเวลาผ่านไปความสามารถในการต้านทานน้ำของกระดายประยุกต์พลาสma มีแนวโน้มลดลงอย่างมีนัยสำคัญ ($p \leq 0.05$) เนื่องจากความชื้นในอากาศสามารถซึมผ่านเข้าไปในกระดาย ได้ทำให้กระดายมีข้าว (polar) มากขึ้น ความสามารถในการต้านทานน้ำของกระดายจึงลดลงเมื่อเวลาผ่านไป (Dreux *et al.*, 2002) โดยเวลาในการคุณซึ่มน้ำของกระดายประยุกต์พลาสma ก็จะสูญเสียความชื้นเนื่องจากระบบสูญญากาศ จึงใช้เวลาในการคุณซึ่มน้ำเร็วกว่ากระดายประยุกต์พลาสma ที่เก็บไว้หนึ่งวัน ซึ่งมีความชื้นในกระดายมากกว่าเนื่องจากมีการคุณ化ความชื้นจากสภาพแวดล้อม

เมื่อเก็บครบ 28 วัน กระดายที่ใช้เวลาในการประยุกต์พลาสma นาน 2 วินาที มีความสามารถในการต้านทานน้ำไม่แตกต่างกับกระดายไม่ประยุกต์พลาสma เนื่องจากเวลา 2 วินาที พลาสma ก็คิดปฏิกิริยา กับเส้นไยเซลลูโลส ได้น้อยดังที่ได้กล่าวข้างต้น และเมื่อเวลาผ่านไปความชื้นในอากาศสามารถซึมผ่านเข้าไปในกระดาย ได้มากขึ้น จึงทำให้กระดายไม่สามารถต้านทานน้ำได้ ส่วนความสามารถในการต้านทานน้ำของกระดายที่ใช้เวลาในการประยุกต์พลาสma นาน 10 วินาที มีแนวโน้มลดลงเพียงเล็กน้อย และที่ 60 วินาที ความสามารถในการต้านทานน้ำไม่แตกต่างกับวันแรกที่เริ่มเก็บ เนื่องจากเมื่อใช้เวลาในการประยุกต์พลาสma นานขึ้น พลาสma สามารถทำปฏิกิริยา กับเส้นไยเซลลูโลส ได้มากขึ้น พื้นที่ของเส้นไยเซลลูโลส ที่จะสร้างพันธะกับโมเลกุลของน้ำในอากาศ จึงน้อยลง ทำให้กระดายยังคงต้านทานน้ำได้ดี เมื่อเวลาผ่านไป อย่างไรก็ตาม กระดายที่ใช้เวลาในการประยุกต์พลาสma นาน 600 วินาที พบว่า ความสามารถในการต้านทานน้ำของกระดายมีแนวโน้มลดลงมากกว่าที่ 10 และ 60 วินาที เนื่องจากเมื่อใช้เวลาในการประยุกต์พลาสma นานขึ้น จะเกิดการ etching มากขึ้นด้วย ทำให้ผิวกระดายเกิดรูพรุขนาดเล็กดับนาโนเมตรเพิ่มมากขึ้น ซึ่งทำให้ผิวกระดายมีลักษณะคล้ายฟองน้ำ (Hopkins and Badyal, 1996) ส่งผลให้ผิวกระดายมีพื้นที่รับความชื้นจากอากาศมากขึ้น ดังนั้น เมื่อเวลาผ่านไป ความสามารถในการต้านทานน้ำของกระดายที่ใช้เวลาในการประยุกต์พลาสma นาน 600 วินาที จึงมีแนวโน้มลดลงมากกว่าที่

10 และ 60 วินาที ซึ่งสอดคล้องกับงานวิจัยของ Sell et al. (2001) ที่ประยุกต์พลาสมาชัลฟอร์เซกชัฟลูอิโรม์บนผ้าไหมและพบว่าเมื่อเก็บผ้าไหมที่ผ่านการประยุกต์พลาสมาเป็นเวลาหนึ่งเดือน มุนสัมผัสและเวลาในการดูดซึมน้ำของผ้าไหมมีค่าไม่คงต่อไป



ภาพที่ 18 เวลาในการดูดซึมน้ำของกระดาษด้านหลังภายหลังการประยุกต์พลาสما เมื่อเก็บในสภาวะอุณหภูมิ 25-32 องศาเซลเซียส ความชื้นสัมพัทธ์อยู่ระหว่าง 48-74 เป็นเวลา 28 วัน

8. สมบัติการสักดักกันการซึมน้ำของกระดาษ

สมบัติการสักดักกันการซึมน้ำที่ทดสอบได้แก่ การซึมน้ำของน้ำมัน อัตราการซึมน้ำของไอน้ำ และอัตราการซึมน้ำของแก๊สออกซิเจนของกระดาษประยุกต์พลาสมา ผลการทดลองดังต่อไปนี้

8.1 การซึมน้ำของน้ำมัน

มุนสัมผัสของน้ำมัน การดูดซึมน้ำมัน และเวลาในการดูดซึมน้ำมันของกระดาษประยุกต์พลาสมา แสดงดังตารางที่ 13 โดยงานวิจัยนี้ใช้น้ำมันปาล์มในการทดลอง เนื่องจากน้ำมันปาล์มเป็นน้ำมันพืชที่นิยมใช้ในอุตสาหกรรมอาหารมากที่สุด

ตารางที่ 13 มุ่งสัมผัส การดูดซึมน้ำมัน และเวลาในการดูดซึมน้ำมันของกระดาษประยุกต์พลาสma

กระดาษ	ประยุกต์พลาสma (วินาที)	เวลาในการค่าทดสอบ		
		มุ่งสัมผัส (องศา)	การดูดซึมน้ำมัน (กรัม/ตร.ม.)	เวลาในการดูดซึมน้ำมัน (นาที)
		untreated	n/a	1.30 ± 0.13 ^a
ด้านหน้า	2	n/a	1.36 ± 0.16 ^a	> 200 ^d
	10	15.2 ± 1.5 ^b	1.35 ± 0.13 ^a	> 200 ^d
	60	65.5 ± 1.2 ^e	1.32 ± 0.07 ^a	> 200 ^d
	600	66.0 ± 1.7 ^e	1.36 ± 0.18 ^a	> 200 ^d
	untreated	12.7 ± 0.8 ^a	5.40 ± 0.11 ^c	101 ± 2.1 ^b
ด้านหลัง	2	13.7 ± 1.2 ^a	5.63 ± 0.12 ^d	86 ± 1.9 ^a
	10	43.7 ± 1.4 ^c	5.68 ± 0.12 ^d	105 ± 2.0 ^c
	60	61.0 ± 1.6 ^d	5.64 ± 0.18 ^d	> 200 ^d
	600	70.8 ± 1.8 ^f	2.05 ± 0.17 ^b	> 200 ^d

หมายเหตุ ^{a-f} ตัวอักษรที่ต่างกันในแต่ละตั้งหมายถึงค่าเฉลี่ยมีความแตกต่างกันทางสถิติ ($p \leq 0.05$)

n/a ไม่สามารถวัดค่าได้

กระดาษด้านหน้าและด้านหลังภายหลังการประยุกต์พลาสma มีมุ่งสัมผัสของน้ำมันมากกว่ากระดาษไม่ประยุกต์พลาสma อายุที่ต่างกัน 10 วินาที ขึ้นไป มีมุ่งสัมผัสของน้ำมันและเวลาในการดูดซึมน้ำมันมากกว่ากระดาษไม่ประยุกต์พลาสma อายุที่ต่างกัน 600 วินาที เท่านั้น ที่มีการดูดซึมน้ำมันน้อยกว่ากระดาษไม่ประยุกต์พลาสma โดยใช้เวลานานกว่า 10 วินาที ขึ้นไป ทำให้กระดาษสามารถดูดซึมน้ำมันได้มากกว่ากระดาษไม่ประยุกต์พลาสma โดยใช้เวลานานกว่า 600 วินาที ขึ้นไป ทำให้กระดาษสามารถดูดซึมน้ำมันได้มากกว่ากระดาษไม่ประยุกต์พลาสma เมื่อพิจารณาการดูดซึมน้ำมัน พบว่ามีเพียงกระดาษด้านหลังที่ใช้เวลาในการประยุกต์พลาสma นาน 600 วินาที เท่านั้น ที่มีการดูดซึมน้ำมันน้อยกว่ากระดาษไม่ประยุกต์พลาสma อายุที่ต่างกัน 10 วินาที ขึ้นไป ทำให้กระดาษสามารถดูดซึมน้ำมันได้มากกว่ากระดาษไม่ประยุกต์พลาสma โดยใช้เวลานานกว่า 10 วินาที ขึ้นไป ทำให้กระดาษสามารถดูดซึมน้ำมันได้มากกว่ากระดาษไม่ประยุกต์พลาสma โดยใช้เวลานานกว่า 600 วินาที ขึ้นไป โดยผลการทดลอง

สอดคล้องกับงานวิจัยของ Vaswani *et al.* (2005) ซึ่งกล่าวว่า กระดายที่ประยุกต์ด้วยพลาสma ฟลูออรีนมีความสามารถในการต้านทานน้ำมันมากขึ้น

8.2 อัตราการซึมผ่านของไอน้ำ และอัตราการซึมผ่านของแก๊สออกซิเจน

อัตราการซึมผ่านของไอน้ำ และอัตราการซึมผ่านของแก๊สออกซิเจนของกระดายประยุกต์พลาสma แสดงดังตารางที่ 14 ผลการทดลองพบว่า กระดายด้านหน้าและด้านหลังภายหลังการประยุกต์พลาสma มีอัตราการซึมผ่านของไอน้ำมากกว่ากระดายไม่ประยุกต์พลาสma อย่างมีนัยสำคัญ ($p \leq 0.05$) และพบว่ากระดายที่ใช้เวลาในการประยุกต์พลาสma ตั้งแต่ 60 วินาที ขึ้นไป มีอัตราการซึมผ่านของแก๊สออกซิเจนมากกว่ากระดายไม่ประยุกต์พลาสma อย่างมีนัยสำคัญ ($p \leq 0.05$) โดยเมื่อเวลาในการประยุกต์พลาสma นานขึ้น ทำให้อัตราการซึมผ่านของแก๊สออกซิเจนมีค่ามากขึ้น ดังนั้น ผลการทดลองแสดงให้เห็นว่าการประยุกต์พลาสma ทำให้กระดายมีความสามารถในการต้านทานการซึมผ่านของไอน้ำและแก๊สออกซิเจนลดลง ซึ่งสอดคล้องกับงานวิจัยของ Hopkins and Badyal (1996); Magalhães and Souza (2001) และ Dreux *et al.* (2002) สาเหตุที่เป็นเช่นนี้เนื่องจาก การประยุกต์พลาสma อาจทำให้เกิดการ etching ซึ่งไปกัดกร่อนผิวกระดายและทำให้ผิวกระดายมีความเป็นรูพรุนระดับนาโนมากขึ้น จึงทำให้ไอน้ำและแก๊สสามารถซึมผ่านได้ง่ายขึ้น

9. การวิเคราะห์พื้นผิวของกระดาย

เป็นการวิเคราะห์พื้นผิวของกระดายที่อาจเปลี่ยนแปลงไปหลังจากประยุกต์พลาสma และเพื่อหารูปแบบฟลูออรีนบนผิวกระดาย ซึ่งอนุมูลฟลูออรีนเป็นตัวแปรสำคัญในการเกิดการเปลี่ยนแปลงสมบัติการต้านทานน้ำของกระดายประยุกต์พลาสma โดยเทคนิค scanning electron microscopy (SEM) ถูกใช้ในการตรวจดูลักษณะพื้นผิวของกระดาย และเทคนิค atomic force microscopy (AFM) ถูกใช้ในการตรวจดูความชรุขระของพื้นผิวของกระดาย นอกจากนี้ เทคนิค energy dispersive x-ray spectrometry (EDS) ถูกใช้ในการวิเคราะห์หาปริมาณฟลูออรีนบนพื้นผิวของกระดายภายหลังการประยุกต์พลาสma โดยมีรายละเอียดดังต่อไปนี้

ตารางที่ 14 อัตราการซึมผ่านของไอน้ำ และอัตราการซึมผ่านของแก๊สออกซิเจนของกระดาษประยุกต์พลาสma

กระดาษ ประยุกต์พลาสma (วินาที)	เวลาในการ ประยุกต์พลาสma	ค่าทดสอบ	
		อัตราการซึมผ่าน ของไอน้ำ (กรัม/ตร.ม./วัน)	อัตราการซึมผ่าน ของแก๊สออกซิเจน (ลบ.ซม./ตร.ม./วัน)
ด้านหน้า	untreated	0.7531 ± 0.060 ^{ab}	40,382 ± 543 ^a
	2	0.8183 ± 0.081 ^{bc}	41,505 ± 646 ^a
	10	0.8699 ± 0.093 ^{cde}	43,923 ± 453 ^a
	60	0.8587 ± 0.028 ^{cd}	93,683 ± 2,230 ^b
	600	0.8839 ± 0.074 ^{cde}	123,745 ± 3,150 ^c
ด้านหลัง	untreated	0.6916 ± 0.049 ^a	40,309 ± 370 ^a
	2	0.9006 ± 0.034 ^{cde}	42,509 ± 923 ^a
	10	0.8883 ± 0.070 ^{cde}	42,063 ± 1,087 ^a
	60	0.9684 ± 0.088 ^e	159,525 ± 2,963 ^d
	600	0.9356 ± 0.079 ^{de}	205,507 ± 1,063

หมายเหตุ ^{a-c} ตัวอักษรที่ต่างกันในแต่ละค่าเฉลี่ยมีความแตกต่างกันทางสถิติ ($p \leq 0.05$)

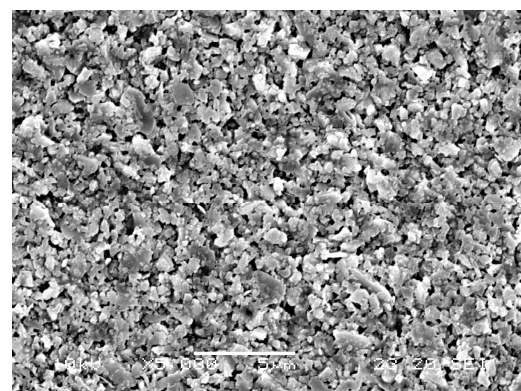
ลักษณะพื้นผิวของกระดาษด้านหน้าและด้านหลังภายหลังการประยุกต์พลาสma แสดงดังภาพที่ 19 และ 20 จากการถ่ายภาพด้วยเครื่อง SEM กำลังขยาย 5,000 เท่า พบว่า ลักษณะพื้นผิวของกระดาษประยุกต์พลาสma และกระดาษไม่ประยุกต์พลาสma ไม่มีความแตกต่างกัน ซึ่งสอดคล้องกับงานวิจัยของ Vaswani *et al.* (2005) ที่ปรับปรุงสมบัติการต้านทานนำของกระดาษโดยการประยุกต์ด้วยพลาสma ของสารประกอบฟลูออโรคาร์บอน

ลักษณะความขรุขระของพื้นผิวกระดาษประยุกต์พลาสma แสดงดังภาพที่ 21 ซึ่งถ่ายภาพลักษณะพื้นผิวเป็น 3 มิติ ในพื้นที่ 30×30 ไมโครเมตร ด้วยเครื่อง AFM โดยใช้กระดาษด้านหลัง เป็นตัวแทนในการวิเคราะห์ เนื่องจากเป็นด้านที่ไม่มีสารเคลือบพิwa จึงน่าจะเป็นตัวแทนในการวิเคราะห์ได้ดีกว่ากระดาษด้านหน้า เมื่อพิจารณาการภาพถ่ายด้วยเครื่อง AFM พบว่า กระดาษที่ใช้เวลาในการประยุกต์พลาสma นาน 600 วินาที มีความขรุขระของพื้นผิวมากกว่ากระดาษไม่ประยุกต์

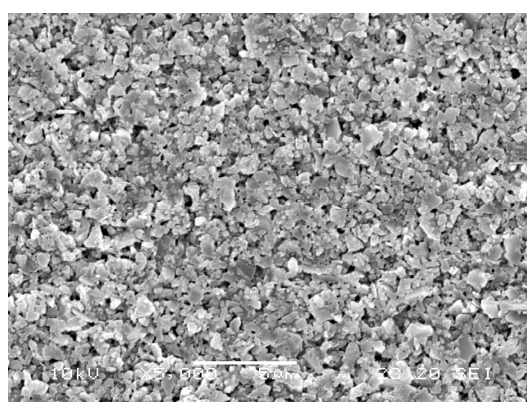
พลาสماอย่างชัดเจน และคงให้เห็นว่าการประยุกต์พลาสม่าทำให้พื้นผิวของกระดาษมีความชุรุระในระดับนาโนเพิ่มขึ้น ซึ่งสอดคล้องกับรายงานวิจัย (Sahin *et al.*, 2002; Navarro *et al.*, 2003; Bente *et al.*, 2004 and Kim *et al.*, 2006) กระดาษประยุกต์พลาสมามีความชุรุระเพิ่มขึ้น เนื่องจาก การ etching ที่เกิดขึ้นในกระบวนการการประยุกต์พลาสม่า ซึ่งการที่ผิวกระดาษมีความชุรุระระดับนาโนเพิ่มขึ้นทำให้ผิวกระดาษมีลักษณะคล้ายใบบัว (lotus effect) (สมศร, 2549) จึงทำให้กระดาษประยุกต์พลาสมามาสามารถต้านทานน้ำได้มากขึ้น อย่างไรก็ตาม ลักษณะ เช่นนี้อาจทำให้การซึมผ่านของไอน้ำและแก๊สเป็นไปได้ดีขึ้น เนื่องจากเป็นการเพิ่มพื้นที่ในการรับไอน้ำและแก๊สบนผิวกระดาษ

องค์ประกอบบนพื้นผิวกระดาษภายหลังการประยุกต์พลาสม่า ซึ่งวิเคราะห์ได้จากเทคนิค EDS แสดงดังตารางที่ 15 จากผลการวิเคราะห์ไม่พบปริมาณธาตุฟลูออรีนบนผิวกระดาษ เนื่องจาก เทคนิค EDS มีความสามารถในการวิเคราะห์ห้องค์ประกอบของพื้นผิวสัมผสุกที่ความลึกในระดับ 0.5-5.0 ไมโครเมตร (Conners and Banerjee, 1995) ดังนั้นจึงไม่สามารถตรวจสอบปริมาณฟลูออรีน บนผิวกระดาษได้ เนื่องจากการประยุกต์พลาสม่าส่งผลต่อผิวกระดาษในระดับนาโนเมตรเท่านั้น

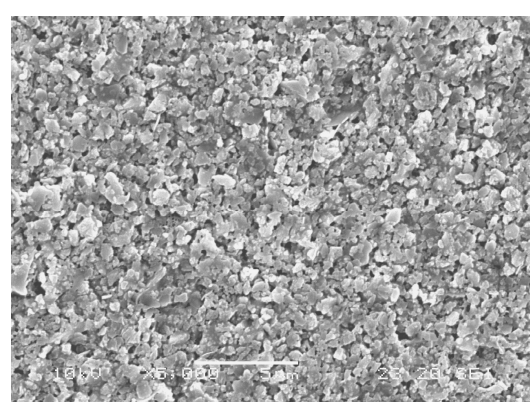
อย่างไรก็ตาม พบร่วมกับกระดาษด้านหลังมีปริมาณธาตุคาร์บอน (C) ซึ่งเป็นองค์ประกอบหลัก ของเซลลูโลสมากกว่ากระดาษด้านหน้าอย่างชัดเจน จึงทำให้การประยุกต์พลาสมาน不懂 กระดาษด้านหลังให้ผลที่ชัดเจนกว่ากระดาษด้านหน้า เพราะว่ากระดาษด้านหลังมีปริมาณธาตุคาร์บอนมากกว่าจึงสามารถสร้างพันธะกับอนุมูลฟลูออรีนในพลาสมาก็ได้เป็นพันธะ C-F ได้มากกว่า กระดาษด้านหน้า นอกจากนี้เป็นที่น่าสังเกตว่ากระดาษด้านหน้ามีองค์ประกอบของธาตุโซเดียม (Na) แมกนีเซียม (Mg) ซิลิกา (Si) และแคลเซียม (Ca) ก่อนข้างมาก ซึ่งธาตุเหล่านี้อาจเป็น ส่วนประกอบของสารเติมแต่งในกระดาษ ซึ่งการกระจายตัวของธาตุเหล่านี้อาจไปกีดขวางการเกิด พันธะระหว่างอนุมูลฟลูออรีนกับเส้นใยเซลลูโลสได้ จึงทำให้กระดาษด้านหน้าเห็นผลการต้านทาน น้ำของกระดาษไม่ชัดเจนเท่ากับกระดาษด้านหลัง



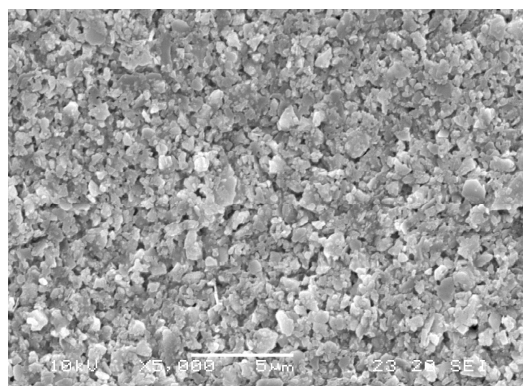
(ก) untreated



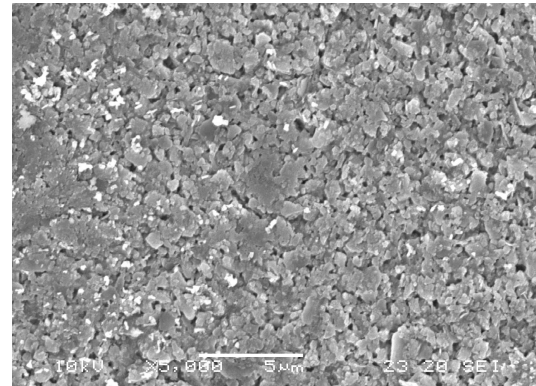
(ข) 2 วินาที



(ค) 10 วินาที

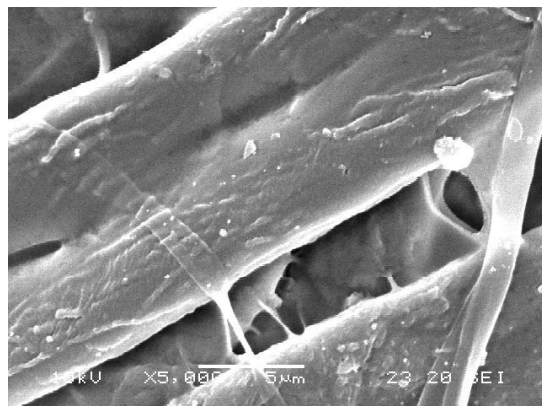


(จ) 60 วินาที

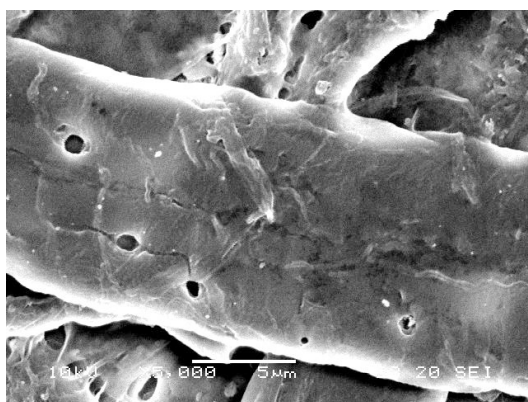


(ก) 600 วินาที

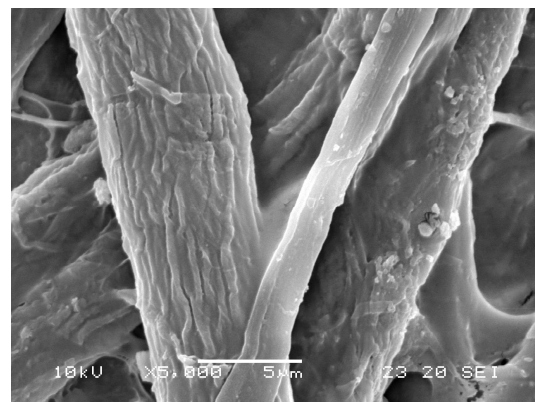
ภาพที่ 21 ลักษณะพื้นผิวของกระดาษด้านหน้า ก่อนและหลังการประยุกต์พลาสma ด้วยเครื่อง scanning electron microscope (SEM) กำลังขยาย 5,000 เท่า (ก) ไม่ประยุกต์ (ข) 2 วินาที (ค) 10 วินาที (จ) 60 วินาที และ (ก) 600 วินาที



(ก) untreated



(ข) 2 วินาที



(ค) 10 วินาที

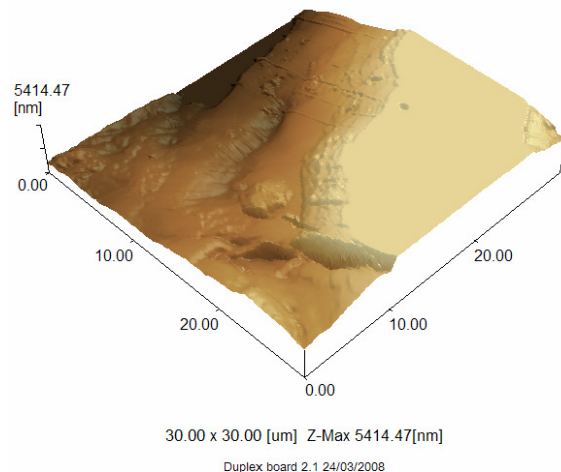


(ง) 60 วินาที

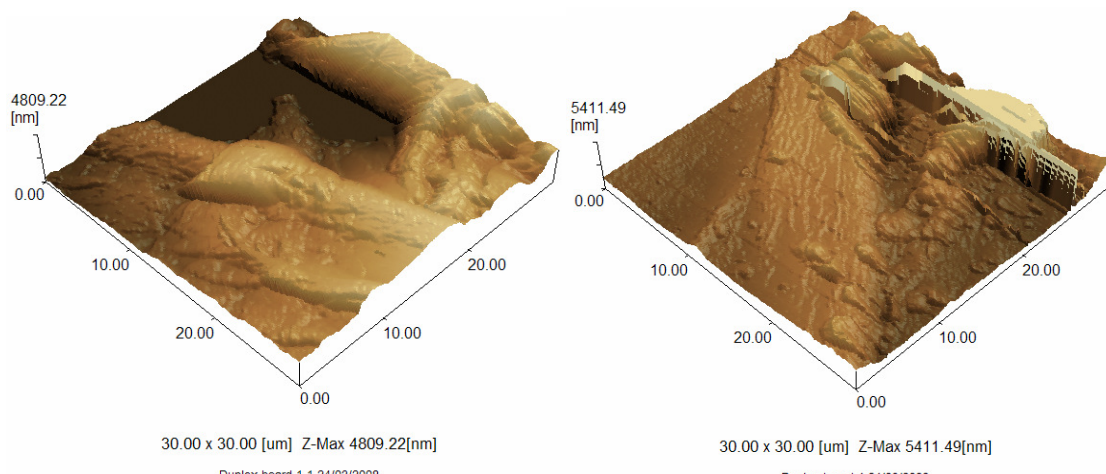


(จ) 600 วินาที

ภาพที่ 22 ลักษณะพื้นผิวของกระดาษด้านหลัง ก่อนและหลังการประยุกต์พลาสma ด้วยเครื่อง scanning electron microscope (SEM) กำลังขยาย 5,000 เท่า (ก) ไม่ประยุกต์ (ข) 2 วินาที (ค) 10 วินาที (ง) 60 วินาที และ (จ) 600 วินาที



(η) untreated



(ψ) 2 วินาที

(κ) 600 วินาที

ภาพที่ 23 ลักษณะความขรุขระของพื้นผิวกระดาษด้านหลัง ก่อนและหลังการประยุกต์พลาสma
ด้วยเครื่อง atomic force microscope (AFM) ในพื้นที่ 30×30 ไมโครเมตร (η) ไม่ประยุกต์
(ψ) 2 วินาที และ (κ) 600 วินาที

ตารางที่ 15 ธาตุองค์ประกอบบนพื้นผิวของกระดายประยุกต์พลาสม่า

กระดาย	เวลาในการประยุกต์พลาสม่า (วินาที)	ธาตุองค์ประกอบ ¹ (ร้อยละ)							
		C	O	Na	Mg	Si	S	Ca	รวม
ด้านหน้า	untreated	26.18	52.60	0.19	0.17	3.89	0.07	16.90	100.00
	2	23.77	52.00	0.19	0.19	4.23	0.09	19.53	100.00
	10	25.45	53.94	0.20	0.17	3.89	0.09	16.26	100.00
	60	23.62	51.10	0.15	0.17	4.26	0.11	20.59	100.00
	600	24.25	51.07	0.16	0.17	4.36	0.07	19.92	100.00
ด้านหลัง	untreated	46.31	51.66	0	0.09	0.84	0	1.10	100.00
	2	43.04	55.74	0	0.07	0.67	0.04	0.45	100.00
	10	46.78	52.10	0	0.06	0.53	0.03	0.51	100.00
	60	44.81	53.57	0	0.09	0.97	0.03	0.53	100.00
	600	44.97	53.78	0.10	0.07	0.60	0.03	0.45	100.00

หมายเหตุ¹ เป็นธาตุองค์ประกอบบนผิวกระดายที่ได้จากการวิเคราะห์ด้วยเทคนิค energy dispersive x-ray spectrometry (EDS)

สรุปและข้อเสนอแนะ

สรุป

การศึกษาการปรับปรุงสมบัติการต้านทานนำของกระดาษแข็งโดยการประยุกต์ด้วยพลาスマเซลฟอร์เซกชัฟคูอโรร์ พบว่า สมบัติการต้านทานนำและนำมันของกระดาษเพิ่มขึ้นอย่างมีนัยสำคัญ ($p \leq 0.05$) และพบว่าพลาสมามีมีผลต่อสมบัติทางกายภาพ แต่มีผลต่อสมบัติเชิงกล และสมบัติการสกัดกั่นการซึมผ่านของกระดาษ โดยสามารถสรุปประเด็นสำคัญจากการทดลองได้ดังนี้

1. อิทธิพลของสภาวะพลาสมาต่อสมบัติการต้านทานนำของกระดาษ

สมบัติการต้านทานนำของกระดาษประยุกต์พลาสมามีค่าเพิ่มขึ้น เมื่อเพิ่มกำลังคลื่นวิทยุความดันแก๊ส และเวลาในการประยุกต์พลาสมาก่อน โดยกำลังคลื่นวิทยุ ความดันแก๊ส และเวลาในการประยุกต์พลาสมาน้ำหนามาก่อนจะเพิ่ม โดยใช้เครื่องผลิตพลาสมาระบบ ICP ที่ใช้งานวิจัยนี้กับกระดาษแข็ง คือ กำลังคลื่นวิทยุ 50 วัตต์ ความดันแก๊ส 100 มิลลิ托ร์ และเวลาในการประยุกต์พลาสมากว่า 60 วินาที

2. อิทธิพลของระยะเวลาในการเก็บต่อสมบัติการต้านทานนำของกระดาษ

สมบัติการต้านทานนำของกระดาษประยุกต์พลาสมาลดลงเมื่อเวลาผ่านไป (สภาวะการเก็บต่ออุณหภูมิ 25-32 องศาเซลเซียส ความชื้นสัมพัทธิ์ร้อยละ 48-74 ซึ่งเป็นสภาวะของคลังสินค้าทั่วไปในประเทศไทย 28 วัน) โดยกระดาษประยุกต์พลาสมาน้ำหนา 2 วินาทีไม่สามารถคงสมบัติการต้านทานนำไว้ได้ เนื่องจากพลาสมาฟลูออรีนมีเวลาในการสร้างพันธะเคมีกับเส้นใยเซลลูโลสบนผิวกระดาษน้อยเกินไป สมบัติการต้านทานนำของกระดาษประยุกต์พลาสมาน้ำหนา 600 วินาที มีแนวโน้มลดลงเร็วกว่ากระดาษประยุกต์พลาสมาน้ำหนา 10 และ 60 วินาทีเนื่องจากเกิดการ etching บนผิวกระดาษมากกว่า จึงทำให้มีเวลาผ่านไปความชื้นในอากาศสามารถซึมผ่านได้มากกว่า โดยกระดาษประยุกต์พลาสมาน้ำหนา 60 วินาที สามารถคงสมบัติการต้านทานนำได้ดีที่สุด

3. สมบัติทางกายภาพของกระดาษ

การประยุกต์พลาสma ไม่มีผลต่อน้ำหนักมาตรฐาน ความหนา และปริมาณความชื้นในกระดาษ เนื่องจากการประยุกต์พลาสma ส่งผลต่อผิวกระดาษในระดับนาโนเมตรเท่านั้น อย่างไรก็ตาม ความร้อนและรังสีอัลตราไวโอลেตที่เกิดขึ้นจะประยุกต์พลาสma ทำให้กระดาษมีความส่วนลดลง และสีของกระดาษเกิดการเปลี่ยนแปลง

4. สมบัติเชิงกลของกระดาษ

ความต้านทานแรงกดวงแหวนในแนว MD ความต้านทานการพับในแนว MD และ CD ของกระดาษประยุกต์พลาสma มีค่าลดลง เนื่องจากการเกิด partial bombardment และรังสีอัลตราไวโอล์ดซึ่งมีพลังงานสูงไปทำลายพันธะและแตกสายโซ่ ไม่เลกูลของเซลลูโลส ทำให้ความขางของสายโซ่สั้นลง ส่งผลให้ความแข็งแรงของกระดาษลดลง

5. สมบัติการสกัดกั้นการซึมผ่านของกระดาษ

การประยุกต์พลาสma สามารถเพิ่มความสามารถในการต้านทานน้ำมันของกระดาษได้แต่ทำให้สมบัติการสกัดกั้นการซึมผ่านของไอน้ำและแก๊สออกซิเจนลดลง เนื่องจากการ etching ในกระบวนการประยุกต์พลาสma ทำให้ผิวกระดาษมีรูพรุนระดับนาโนเมตรเพิ่มขึ้น ซึ่งเป็นการเพิ่มพื้นที่ในการซึมผ่านของไอน้ำและแก๊ส ทำให้ไอน้ำและแก๊สสามารถซึมผ่านผิวกระดาษได้ดีขึ้น

6. การวิเคราะห์พื้นผิวของกระดาษ

การวิเคราะห์ด้วยเทคนิค SEM ไม่พบความแตกต่างระหว่างกระดาษประยุกต์พลาสma กับกระดาษไม่ประยุกต์พลาสma เมื่อวิเคราะห์ด้วยเทคนิค AFM พบร่วมกันว่า พื้นผิวของกระดาษประยุกต์พลาสma มีความขรุขระเพิ่มขึ้น และเมื่อวิเคราะห์ด้วยเทคนิค EDS ไม่พบชาตุฟลูออรีนบนผิวกระดาษประยุกต์พลาสma เนื่องจากเป็นเทคนิคที่ไม่สามารถวิเคราะห์พื้นผิวที่มีความบางระดับนาโนเมตรได้อย่างไรก็ตาม สามารถบ่งบอกได้ว่าการที่ประยุกต์พลาสma บนกระดาษด้านหลังให้ผลที่ชัดเจนกว่ากระดาษด้านหน้า เนื่องจากกระดาษด้านหลังมีปริมาณคาร์บอนมากกว่ากระดาษด้านหน้า ซึ่งคาร์บอนเป็นส่วนที่เกิดพันธะเคมีกับอนุนัตุฟลูออรีนในพลาสma อีกทั้งพบว่ากระดาษ

ด้านหน้ามีองค์ประกอบของสารเคลือบและสารเติมแต่งของกระดาษมากกว่ากระดาษด้านหลัง ซึ่งสารเหล่านี้จะไปเกิดข้างการเกิดพันธะทางเคมีของอนุมูลฟลูออริน

ข้อเสนอแนะ

1. เครื่องผลิตพลาสมาในงานวิจัยนี้ เป็นระบบพลาสมาในสุญญากาศ มีแซมเบอร์ขนาดเล็ก ทำให้การประยุกต์พลาสma ในแต่ละครั้งต้องเสียเวลาในการปั๊มสุญญากาศเป็นเวลานาน จึงไม่สามารถประยุกต์พลาสma กับกระดาษในปริมาณมาก ได้ นอกจากนี้ยังไม่สามารถใช้กับกระดาษที่มีขนาดใหญ่กว่า 9×16 เซนติเมตร ได้ เนื่องจากข้อจำกัดของขนาดแซมเบอร์ ซึ่งในการทดสอบสมบัติ ของกระดาษบางอย่าง ได้แก่ การทดสอบน้ำหนักมาตรฐาน การทดสอบการคูชีนน้ำหนึ่งน้ำหนึ่ง (Cobb test) และการทดสอบอัตราการซึมผ่านของแก๊สออกซิเจน จึงต้องมีการดัดแปลงมาตรฐาน โดยใช้ขนาดตัวอย่างกระดาษเล็กลง และดัดแปลงเครื่องมือบางอย่าง เช่น Cobb test เพื่อให้สามารถทดสอบกับตัวอย่างที่มีขนาดเล็กกว่ามาตรฐานกำหนด ได้ ดังนั้น ในอนาคต จึงควรมีการพัฒนา เครื่องผลิตพลาสma เป็นระบบพลาสma ในบรรยายกาศ เพื่อไม่ต้องเสียเวลาในการปั๊มสุญญากาศ และสามารถประยุกต์พลาสma บนผิววัสดุที่มีลักษณะเป็นแผ่นบางเรียบ ได้ดีขึ้น

2. กระดาษเป็นวัสดุที่ໄວต่อความชื้น และปริมาณความชื้นมีผลต่อความแข็งแรงของ กระดาษ นอกจากนี้ การประยุกต์พลาสma ในแต่ละครั้ง ใช้เวลานาน และ ได้กระดาษประยุกต์พลาสma จำนวนน้อย เนื่องจากข้อจำกัดของระบบ และขนาดของเครื่องผลิตพลาสma รวมทั้ง ไม่สามารถ捺 กระดาษที่ประยุกต์พลาสma แล้วมาทดสอบ ได้ทันที เนื่องจากข้อจำกัดด้านสถานที่ และความพร้อม ของเครื่องมือทดสอบ จึงต้องเก็บตัวอย่างกระดาษทึ้งก่อน และหดงประยุกต์พลาสma ให้มิดชิดก่อน นำไปทดลอง เพื่อลดความคลาดเคลื่อนของผลการทดลอง และในการทดสอบแต่ละครั้งควรใช้ กระดาษที่ประยุกต์พลาสma ในวันที่ใกล้เคียงกันในการทดสอบ นอกจากนี้ ควรทดสอบตัวอย่าง ควบคุม (กระดาษไม่ประยุกต์พลาสma) ควบคู่ไปกับกระดาษประยุกต์พลาสma ด้วยทุกครั้ง เนื่องจาก ค่าทดสอบของกระดาษอาจมีการเปลี่ยนแปลง ไปตามระยะเวลาของการทดลอง

3. การวัดมุนสัมผัสในงานวิจัยนี้ เป็นการประยุกต์วิธีการทดสอบมาจากเครื่องวัดมุนสัมผัส ตามมาตรฐานโดยการวัดมุนของหยดน้ำหนึ่งน้ำหนึ่งจากภาพที่ถ่ายด้วยกล้องดิจิตอล ดังนั้น ค่ามุนสัมผัสที่ได้อาจเกิดความคลาดเคลื่อน เนื่องจากสายตาของผู้ทดสอบเกิดอาการล้าเมื่อต้องวัด มุนสัมผัสเป็นเวลานาน ดังนั้น จึงควรเช็ตเครื่องมือและสภาพแวดล้อมในการทดสอบ เช่น ระยะมาโครของ กล้อง มุนระหว่างเลนส์กล้องกับตัวอย่างกระดาษ แสงสว่าง อุณหภูมิ และความชื้นภายในสถานที่

ทดสอบให้เหมือนกันทุกรังสี รวมทั้งผู้วัดมุมควรเป็นบุคคลเดียวกันตลอดการทดสอบ และไม่ควรวัดมุมสัมผัสเป็นเวลานานเกินไป เพื่อทำให้ผลการทดลองที่ได้มีความเที่ยงตรงมากที่สุด

4. ความมีการศึกษาถึงเทคนิคที่สามารถวิเคราะห์หาปริมาณธาตุฟลูออรินและพันธะ C-F ที่เกิดขึ้นบนผิวกระดาษประยุกต์พลาสma ให้มากขึ้น เนื่องจากการประยุกต์พลาสma เป็นปฏิกิริยาที่เกิดบนผิวด้านนาโนเมตรเท่านั้น ทำให้ยากต่อการหาเทคนิควิเคราะห์ที่เหมาะสม ซึ่งในการตรวจเอกสารที่เกี่ยวข้อง พบว่า ส่วนใหญ่มีเพียงเทคนิค x-ray photo electron spectrometry (XPS) เท่านั้น ที่สามารถตรวจพบการเกิดพันธะระหว่างคาร์บอนกับฟลูออรินของพลาสma ชั้ลเฟอร์เซกชั่นฟลูออไรด์บนผิวของวัสดุประเภทเส้นใยได้

เอกสารและสิ่งอ้างอิง

กรมส่งเสริมการส่งออก. 2545. อุตสาหกรรมบรรจุภัณฑ์ในประเทศไทย. เอกสารวิเคราะห์.

แหล่งที่มา: <http://www.ryt9.com/news/2001-05-10/24853257/>, 14 มิถุนายน 2550.

โภวิท และ วีรศักดิ์. 2550. การใช้แก๊สซัลเฟอร์ເອກະພູອອ່ໄຣດ໌ (SF₆) ກັນເຊື່ອຮົກເບຣກເກອຮ໌.

วิทยาลัยการอาชีพบ้านแพ้ว. แหล่งที่มา:

<http://www.bvc7.com/20070726up/eaumpan/22550/6.pdf>, 11 มีนาคม 2551.

ดวงทิพย์ กู้เกียรติกุลชัย. 2550. ผลการเคลื่อน斯塔ร์ชดัดແປຣແລະສາກັນເຈີມຕ່ອສົມບັດຂອງກະຮາມ
ຄຣາຟທໍ່ກຳພົກລ່ອງເພື່ອໃຊ້ງານໃນສກວະຫັອງເຢັນ. ວິທານິພນົມປະຍຸນາໂທ,
ມາວິທາລັຍເກຍຕຽກສາສຕ່ຣ.

ธีรวรรณ บุญญารรณ. 2550. ເທິໂນໂລຢີພລາສມາ. ຜູນຍົງຈັນວຽກຮອນພລັງຈານສູງ ກາກວິຊາຟິສິກສົ່ງ
ຄະນະວິທາສາສຕ່ຣ. ມາວິທາລັຍເຊິ່ງໃໝ່.

นวพร วรรณวิศาล. 2549. ผลของการเคลื่อน斯塔ร์ชดัดແປຣທີ່ມີຕ່ອສົມບັດດ້ານຄວາມແພັ້ງແຮງຂອງ
ກະຮາມຄຣາຟທໍ່. ວິທານິພນົມປະຍຸນາໂທ, ມາວິທາລັຍເກຍຕຽກສາສຕ່ຣ.

แนวหน้า. 2551. กรรมการข้าวรือใหญ่ “บรรจุภัณฑ์” ແປຣູປັກພື້ມມູດຄ່າແປ່ງຕາດໂຄກ. ແນວ
หน້າ ປະຈຳວັນທີ 14 ມີນາມ 2551. แหล่งที่มา:

http://www.safetybio.agri.kps.ku.ac.th/index.php?option=com_content&task=view&id=1877&Itemid=42, 26 ມີນາມ 2551.

บຸນກຣ ປະດີຍສູນິຍກຸດ, ວັດນັກ ຕຸ່ນຄໍາ, ພັຊທຣາ ມນີສິນຫຼູ, ຈີරະວຽກ ສູຖທີລັກຍົນ ແລະ ລະອອ ເຊື່ຍິ
ຫວອງ. 2545. ຄຸ່ມືອກາຮົາໃຊ້ກະຮາມເພື່ອກາຮົບຫ່ອ. ພິມພົກຮ້າທີ່ 1. ທ້າງໜຸ້ນສ່ວນຈຳກັດ ອຽນ
ກາຣີມິພີ້, ກຣູງເທເພາ.

ประดุง สวนพุฒ. 2550. รายงานวิจัยฉบับสมบูรณ์ โครงการวิเคราะห์คุณสมบัติเชิงผิวของเส้นใยของสิ่งทอที่อาจด้วยพลาสมาโดยเทคนิคไฟโตอิมิชั่น. ศูนย์วิจัยนวัตกรรมพลังงานสูง ภาควิชาฟิสิกส์ คณะวิทยาศาสตร์, มหาวิทยาลัยเชียงใหม่.

ประชิด พินบุตร. 2531. การออกแบบบรรจุภัณฑ์. พิมพ์ครั้งที่ 1. สำนักพิมพ์โอดีเยนส์โตร์, กรุงเทพฯ.

พันธวัตน์ ไชยวารรณ์. 2546. การใช้พลาสmaอุณหภูมิต่ำเพื่อการปรับปรุงสมบัติการไม่ซึมนำของผ้าไหม. วิทยานิพนธ์ปริญญาโท, มหาวิทยาลัยเชียงใหม่.

ศรีเพ็ญ ท้าวตก. 2547. กระบวนการผลิตพลาสmaเพื่อปรับเปลี่ยนสมบัติของสิ่งทอ (ปีที่ 2). วิทยานิพนธ์ปริญญาโท, มหาวิทยาลัยเชียงใหม่.

สตรีรัตน์ ใจดีค. 2550. ทำผ้ากันน้ำด้วยพลาสma. วิชาการดอทคอม. แหล่งที่มา:

http://www.electron.rmutphysics.com/teaching-glossary/index.php?option=com_content&task=view&id=3335&Itemid=11, 24 มกราคม, 2551.

สมศรี สังขรัตน์. 2549. กลึงไว้ก่อน ธรรมชาติสอนไว้. สารสารพิสิกส์ไทย 23 (3): 10-11.

สมหวัง ขันตยานุวงศ์. 2546. เอกสารประกอบการสอนวิชาโครงสร้างและคุณสมบัติของกระดาษ. ภาควิชาวานผลิตภัณฑ์ คณะวนศาสตร์, มหาวิทยาลัยเกษตรศาสตร์.

อรลิริ เสมรสุต. 2545. การพัฒนากระดาษเพื่อการพิมพ์และการนำไปใช้ประโยชน์. วิทยานิพนธ์ปริญญาโท, มหาวิทยาลัยเกษตรศาสตร์.

แอ้อุดวนช์ อะ โกร. น.ป.ป. สมบัติที่สำคัญของกระดาษ. รู้เพื่องเรื่องกระดาษ. แหล่งที่มา:
http://www.doubleaper.com/knowing/paper_properties1.pdf, 3 กรกฎาคม 2550.

______. องค์ประกอบของกระดาษ. รู้เพื่องเรื่องกระดาษ. แหล่งที่มา:
http://www.doubleaper.com/knowing/paper_element1.pdf, 3 กรกฎาคม 2550.

Akishev, Y. 2007. **Plasmas: Introduction and Characterization.** Acteco Co., Ltd., Russia.

Advanced Surface Technology. n.d. **Plasma Applications.** AST Products, Inc. Available Source: http://www.astp.com/plasma/pl_examples.html, July 12, 2007.

Apjet. 2005. **Technology Surface Modification.** APJeT, Inc. Available Source: www.apjet.com/techsurfacemod.html, December 5, 2006.

ASTM International. 2003a. **Standard Test Method for Oxygen Gas Transmission Rate Through Plastic Film and Sheeting Using a Coulometric Sensor.** ASTM D3985.

_____. 2003b. **Standard Test Methods for Water Vapor Transmission of Materials.** ASTM E96.

_____. 2004a. **Standard Test Methods for Corona-Treated Polymer Films Using Water Contact Angle Measurement.** ASTM D5946-04.

_____. 2004b. **Standard Test Methods for Folding Endurance of Paper by the M. I. T. Tester.** ASTM D2176-97a (Reapproved 2002).

_____. 2004c. **Standard Test Methods for Grammage of Paper and Paperboard (Mass Per Unit Area).** ASTM D646-96 (Reapproved 2001).

_____. 2004d. **Standard Test Methods for Moisture Content of Paper and Paperboard by Oven Drying.** ASTM D644-99 (Reapproved 2002).

_____. 2004e. **Standard Test Method for Tensile Properties of Paper and Paperboard Using Constant-Rate-of-Elongation Apparatus with Attachment for Use on Hi-Vol Filters.** ASTM D828-93.

- ASTM International. 2004f. **Standard Test Methods for Thickness of Paper and Paperboard.** ASTM D645/D645M-97 (Reapproved 2002).
- _____. 2004g. **Standard Test Methods for Water Absorptiveness of Nonbibulous Paper and Paperboard (Cobb Test).** ASTM D3285-93 (Reapproved 1999).
- Bente, M., G. Avramidis, S. Ferster, E. G. Rohwer and W. Viel. 2004. Wood Surface Modification in Dielectric Barrier Discharges at Atmospheric Pressure for Creating Water Repellent Characteristics. **Holz Roh Werkst** 62:157-163.
- Biermann, C. J. 1996. **Handbook of Pulping and Papermaking.** 2nd ed. Academic Press, Inc., California.
- Brown, P. F. 1971. **The Role of Surface Chemistry in the Bonding of a Cellulose Substrate Treated in a Corona Discharge.** The Institute of Paper Chemistry.
- Cech, J., P. Kloc, M. Sira, Z. Navratil, P. Stahel, V. Bursikova and J. Janca. 2005. Plasma Modification of Paper by Means of Surface Barrier Discharge, pp. 332-336. **WDS'05 Proceedings of Contributed Papers, Part II.** Czech Republic.
- Cernáková P. L., D. Kivácik, K. Johansson and M. Cernák. 2006. **Low Cost High-Speed Plasma Treatment of Paper Surface.** TAPPI Advanced Coating Fundamentals Symposium.
- Chen, F. F. 1984. **Introduction to Plasma Physics and Controlled Fusion.** Plenum Pub Corp, United States.
- College of Natural Resources. 2002. **Paper Structure.** NC state university. Available Source: <http://cnr.ncsu.edu/wps/k12activities/ppts/forest/sld004.htm>, September 1, 2007.

Conners, T. E. and S. Bamerjee. 1995. **Surface of Analysis of Paper.** Copyright Clearance Center, United States.

Denes, F. 1997. Trends Polymer. **Science** 5 (1): 23.

Deslandes Y., G. Pleizier, E. Poire, S. Sapieha, R. M. Wertheimer and E. Sacher. 1998. The Surface Modification of Pure Cellulose Paper Induced by Low-Pressure Nitrogen Plasma Treatment. **Plasmas and Polymers** 3 (2): 61-76.

Dreux, F., S. Marais, F. Poncin-Epaillard, M. Métayer and M. Labbe. 2002. Surface Modification by Low-Pressure Plasma of Polyamide 12 (PA12). Improvement of the Water Barrier Properties. **Langmuir** 18 (26): 10,411-10,420.

Duan, Y. and Q. Yu. 2007. **Polymer Treatment Using a Plasma Brush.** U.S. Patent 0,113,867.

Eastman, T. 2006. **What is a Plasma.** Los Alamos National Security, LLC. Available source: <http://public.lanl.gov/alp/plasma/ubiquitous.html#what>, January 21, 2007.

Ellinghorst, G. n.d. **Low-Pressure Plasma Technique.** Institut Fertigungstechnik Materialforschung (IFAM). Available Source: http://www.eurobonding.org/Englisch/Oberflaechen/Low_pressure.htm, December 5, 2006.

Ferrero, F. and R. Bongiovanni. 2005. Improving the Surface Properties of Cellophane by Air Plasma Treatment. **Surface & Coatings Technology** 200: 4,770-4,776.

Goree, J. n.d. **Biomedical Applications of Plasma Treatment.** Department of Physics, University of Iowa. Available Source: <dusty.physics.uiowa.edu/~goree/talks/JG-UI-Physics-colloquium-biomedical-applications-of-plasma-treatment.ppt>, July 12, 2007.

Hansen, F.K. n.d. **The Measurement of Surface Energy of Polymer by Means of Contact Angles of Liquids on Solid Surfaces.** Department of Chemistry University of Oslo.

Hopkins, J. and J. P. S. Badyal. 1996. CF₄ Plasma Treatment of Asymmetric Polysulfone Membranes. **Langmuir** 12 (15): 3,666-3,670.

Hozumi, A. and O. Takai. 1997. Preparation of Ultra Water-Repellent Films by Microwave Plasma-Enhanced CVD. **Thin Solid Films** 303 (1-2): 222-225.

_____. 1998. Preparation of Silicon Oxide Films Having a Water-Repellent Layer by Multiple-Step Microwave Plasma-Enhanced Chemical Vapor Deposition. **Thin Solid Films** 334 (1-2): 54-59.

Humphries, M. 2004. **Fabric Reference.** 3rd ed. Pearson Education, Inc., Upper Saddle River.

International Organization for Standardization. 1990. **Paper, Board and Pulps -- Standard Atmosphere for Conditioning and Testing and Procedure for Monitoring the Atmosphere and Conditioning of Samples.** ISO 187.

Kim, J., G. Liu and S. H. Kim. 2006. Deposition of Stable Hydrophobic Coatings with in-line CH₄ Atmospheric RF Plasma. **J. Mater. Chem.** 16: 977-981.

Kline, J. E. 1991. **Paper and Paperboard Manufacturing and Converting Fundamentals.** 2nd ed. Miller Freeman Publications, inc., San Francisco.

Kloc, P., P. Stahel, V. Buršíková, A. Brablec, Z. Navrátil, M. Šíra and J. Janca. 2006. Deposition of Teflon-like Protective Layers in Surface Discharge at Atmospheric Pressure. **Czech. J. Phys.** 56: B1345-B1350.

Larner, M. and L. S. Kaplan. 2004. The Challenge of Plasma Processing-Its Diversity. **ASM Materials and Processes for Medical Devices Conference**. Pending publication, Minnesota.

Lin H., L. Xu, X. Chen, X. Wang, M. Sheng and F. Stubhan. 2000. Moisture-Resistant Properties of SiN_x Films Prepared by PECVD. **Thin Solid Films** 333 (1-2): 71-76.

Magalhães, W. L. E. and M. F. Souza. 2002. Solid Softwood Coated with Plasma-Polymer for Water Repellence. **Surface and Coatings Technology** 155: 11-15.

Mew 6 Design. 2003. **Paper Package**. Packaging. Available Source:
http://www.mew6.com/composer/package/package_20.php, August 2, 2007.

Mitsuharu, K. 1992. **Film Deposition by Plasma Techniques**. Springer-Verlag Berlin Heidelberg, New York.

Mukhopadhyay, S. M., P. Joshi, S. Datta, J. G. Zhao and P. France. 2002. Plasma Assisted Hydrophobic Coatings on Porous Materials: Influence of Plasma Parameters. **J. Phys. D: Appl. Phys.** 35: 1927-1933.

Navarro, F., F. Dávalos, F. Denes, L. E. Cruz, R. A. Young and J. Ramos. 2003. Highly Hydrophobic Sisal Chemithermomechanical Pulp (CTMP) Paper by Fluorotrimethylsilane Plasma Treatment. **Cellulose** 10: 411-424.

Paper Discovery Center. 2007. **Tomas Deitrich's Fox River Paper Pailings Exhibit**. Exhibits. Available Source:
<http://www.paperdiscoverycenter.org/exhibits/paintings/calender.shtml>, October 1, 2008.

Piccard, A., G. Turban and B. Grolleau. 1986. Plasma Diagnostics of a SF₆ Radiofrequency Discharge used for the Etching of Silicon. **J. Phys. D: Appl. Phys.** 19: 991.

- Rhim, J., J. Lee and S. Hong. 2006. Water Resistance and Mechanical Properties of Biopolymer (Alginic acid and Soy Protein) Coated Paperboards. **LWT** 39: 806-813.
- Rose, K. J. and B. A. Bennett. 1999. Cooperative Disassembly of the Cellulose-Xyloglucan Network of Plant Cell Walls: Parallels Between Cell Expansion and Fruit Ripening. **Trends Plant Sci.** 4: 176-83.
- Sahin, T. H., S. Manolache, A. R. Young and F. Denes. 2002. Surface Fluorination of Paper in CF₄-RF Plasma Environments. **Cellulose** 9: 171-181.
- Schroder, M. E. 1999. Work of Adhesion of a Sessile Drop to a Clean Surface. **Colloid and Interface Science** 213: 602-605.
- Selli, E., C. Riccardi, M. R. Massafra and B. Marcandalli. 2001. Surface Modification of Silk by Cold SF₆ Plasma. **Macromolecular Chemistry and Physics** 202 (9): 1,672-1,678.
- Silva, M. L., N. R. Demarquette and I. H. Tan. 2003. Use of HMDS/hexane Double Layers for Obtaining Low Cost Selective Membrane. **Cellulose** 10: 171-178.
- Soroka, W. 2000. **Fundamentals of Packaging Technology**. Institute of Packaging Professionals, Naperville.
- Tamikella, R. V., S. Aghaharam, S. A. Allen, D. W. Hess and P. A. Kohl. 2002. Moisture Absorption Studies of Fluorocarbon Films Deposited from Pentafluoroethane and Octafluorocyclobutane Plasmas. **Electronic Materials** 31 (10).
- Technical Association of the Pulp and Paper Industry. 2004. **Ring Crush of Paperboard**. TAPPI T818-om97.

Vaswani, S. 2005. **Surface Modification of Paper and Cellulose using Plasma-enhanced Chemical Vapor Deposition employing Fluorocarbon Precursors.** Georgia Institute of Technology.

_____, J. Koskinenb and D. W. Hess. 2005. Surface Modification of Paper and Cellulose by Plasma-assisted Deposition of Fluorocarbon Films. **Surface and Coatings Technology** 195: 121-129.

Vohrer, U., I. Trick, J. Bernhardt, C. Oehr and H. Brunner. 2001. Plasma Treatment - an Increasing Technology for Paper Restoration?. **Surface and Coatings Technology** 142-144: 1,069-1,073.

Vrajová, J. and F. Krčma. 2006. Plasmachemical Modification of Paper, pp. 162-166. **WDS'06 Proceedings of Contributed Papers, Part II.** Czech Republic.

Wang, C. and X. He. 2005. Preparation of Hydrophobic Coating on Glass Surface by Dielectric Barrier Discharge Using a 16 kHz Power Supply. **Applied Surface Science** 252: 8348-8351.

Wikipedia. 2008. **Contact Angle.** Article. Available Source:
http://en.wikipedia.org/wiki/Contact_angle, September 10, 2007.

Wu, Y., M. Bekke, Y. Inoue, H. Sugimura, H. Kitaguchi, C. Liu and O. Takai. 1999. Mechanical Durability of Ultra-Water-Repellent Thin Film by Microwave Plasma-Enhanced CVD. **Thin Solid Films.** 457 (1): 122-127.

Yuasa, M. and T. Yara. 1999. **Treatment Method in Glow-Discharge Plasma and Apparatus Thereof.** U.S. Patent 5,968,377.

ภาคผนวก

ภาคผนวก ก

วิธีการทดสอบ

การทดสอบน้ำหนักมาตรฐานของกระดาษ

มาตรฐานการทดสอบ ดัดแปลงจาก ASTM D646-96

เครื่องมือ

1. เครื่องชั่งละเอียดศนิยม 3 ตำแหน่ง
2. ตู้ควบคุมอุณหภูมิและความชื้นสัมพัทธ์
3. อุปกรณ์สำหรับตัดกระดาษ

วิธีการทดสอบ

1. ตัดกระดาษขนาด 6×16 เซนติเมตร จำนวน 10 แผ่น นำกระดาษไปเก็บไว้ในตู้ควบคุมอุณหภูมิและความชื้นสัมพัทธ์ที่สภาวะอุณหภูมิ 27 ± 1 องศาเซลเซียส ความชื้นสัมพัทธ์ร้อยละ 65 ± 2 เป็นเวลา 24 ชั่วโมง (ISO 187)
2. ชั่งน้ำหนักตัวอย่างกระดาษครั้งละ 1 แผ่น รายงานค่าน้ำหนักมาตรฐานเฉลี่ยเป็นกรัมต่อตารางเมตร

การคำนวณ

$$\text{น้ำหนักมาตรฐาน (กรัม/ตร.ม.)} = \frac{\text{น้ำหนักของกระดาษ (กรัม)} \times 10,000}{\text{พื้นที่ของกระดาษ (ตร.ซม.)}}$$

การทดสอบความหนาของกระดาษ

มาตรฐานการทดสอบ ASTM D645-97

เครื่องมือ

1. ไมโครมิเตอร์ (Mitutoyo, Japan)
2. ตู้ควบคุมอุณหภูมิและความชื้นสัมพัทธ์
3. อุปกรณ์สำหรับตัดกระดาษ

วิธีการทดสอบ

1. เตรียมกระดาษขนาด 30×150 มิลลิเมตร อย่างน้อย 10 แผ่น เก็บไว้ในตู้ควบคุมอุณหภูมิ และความชื้นสัมพัทธ์ที่สภาวะอุณหภูมิ 27 ± 1 องศาเซลเซียส ความชื้นสัมพัทธ์ร้อยละ 65 ± 2 เป็นเวลา 24 ชั่วโมง (ISO 187)
2. วัดความหนาด้วยไมโครมิเตอร์ แผ่นละ 5 จุด โดยให้ห่างจากขอบของกระดาษอย่างน้อย 6 มิลลิเมตร รายงานค่าความหนาเฉลี่ยเป็นมิลลิเมตร

การทดสอบปริมาณความชื้นในกระดาษ

มาตรฐานการทดสอบ ASTM D644-99

เครื่องมือ

1. เครื่องซั่งละอียด ทศนิยม 4 ตำแหน่ง
2. ตู้อบลมร้อนแบบควบคุมอุณหภูมิ
3. ตู้ควบคุมอุณหภูมิและความชื้นสัมพัทธ์
4. ภาชนะอลูมิเนียมพร้อมฝาปิด (moisture can)
5. เดซิเกเตอร์บรรจุสารดูดความชื้น

วิธีการทดสอบ

1. อบถ้วยอลูมิเนียมพร้อมฝาในตู้อบไฟฟ้าที่อุณหภูมิ 105 ± 2 องศาเซลเซียส เป็นเวลาหนึ่งชั่วโมง จากนั้นนำไปทิ้งไว้ให้เย็นในเดซิเกเตอร์เป็นเวลา 30 นาที แล้วนำไปชั่งหนักถ้วยพร้อมฝา
2. ถุ่มตัวอย่างกระดาษเพื่อนำไปเก็บในตู้ควบคุมอุณหภูมิและความชื้นสัมพัทธ์ที่สภาวะอุณหภูมิ 27 ± 1 องศาเซลเซียส ความชื้นสัมพัทธ์ร้อยละ 65 ± 2 เป็นเวลา 24 ชั่วโมง (ISO 187)
3. ตัดกระดาษให้มีขนาดประมาณ 2×2 เซนติเมตร ใส่ในถ้วยอลูมิเนียมให้มีน้ำหนักประมาณ 3 กรัม บันทึกเป็นค่าน้ำหนักกระดาษก่อนอบ นำไปใส่ในตู้อบที่อุณหภูมิ 105 ± 2 องศาเซลเซียส เป็นเวลาหนึ่งชั่วโมง โดยระหว่างการอบให้เปิดฝาถ้วยเอาไว้เล็กน้อย
4. เมื่อครบเวลา ปิดฝาถ้วยแล้วนำออกมากทิ้งไว้ให้เย็นในเดซิเกเตอร์เป็นเวลาประมาณ 30 นาที แล้วนำไปน้ำหนัก จากนั้นนำไปอบอีกรอบเป็นเวลาหนึ่งชั่วโมง ทำซ้ำจนกระทั่งน้ำหนักที่ชั่งสองครั้งติดต่อกัน มีค่าแตกต่างกันไม่เกิน 0.0010 กรัม บันทึกเป็นค่าน้ำหนักกระดาษหลังอบ
5. ทำการทดสอบอย่างน้อย 5 ช้ำต่อ 1 ตัวอย่าง รายงานผลเป็นค่าเฉลี่ยของความชื้นที่ได้ในหน่วยร้อยละ

การคำนวณ

$$\text{ปริมาณความชื้น(ร้อยละ)} = \frac{\text{น้ำหนักกระดาษก่อนอบ}-\text{น้ำหนักกระดาษหลังอบ}}{\text{น้ำหนักกระดาษก่อนอบ}} \times 100$$

การทดสอบความต้านทานแรงกดวงแหวน

มาตรฐานการทดสอบ TAPPI T818-om97

เครื่องมือ

1. ตู้ควบคุมอุณหภูมิและความชื้นสัมพัทธ์
2. เครื่องทดสอบความต้านทานแรงกดวงแหวน (Testometric 350, England)
3. Specimen Holder
4. อุปกรณ์สำหรับตัดกระดาษ

วิธีการทดสอบ

1. ตัดกระดาษขนาด 12.7×152 มิลลิเมตร (0.5×6 นิ้ว) ทั้งแนว MD และ CD โดยตัดตัวอย่างให้ขนานกับแนวทดสอบด้วยเครื่องตัดชิ้นทดสอบ 10 ชิ้นต่อแนว นำกระดาษไปเก็บไว้ในตู้ควบคุมอุณหภูมิและความชื้นสัมพัทธ์ที่สภาวะอุณหภูมิ 27 ± 1 องศาเซลเซียส ความชื้นสัมพัทธ์ร้อยละ 65 ± 2 เป็นเวลา 24 ชั่วโมง (ISO 187)
2. นำกระดาษสอดเข้าไปใน specimen holder ที่มีลักษณะเป็นวงกลม
3. กดตัวอย่างด้วยเครื่องทดสอบความต้านทานแรงกดวงแหวน จนขอบชิ้นทดสอบเลี้ยงรูปจากแรงกด รายงานค่าเฉลี่ยของค่าความต้านทานแรงกดวงแหวนทั้งแนว MD และ CD เป็นค่าแรงกดต่อความยาวของกระดาษที่รับแรงกด (กิโลนิวตันต่อมิตร)

การทดสอบความต้านทานต่อการพับ

มาตรฐานการทดสอบ ASTM D2176-97a

เครื่องมือ

1. ตู้ควบคุมอุณหภูมิและความชื้นสัมพัทธ์
2. เครื่องทดสอบความต้านทานการพับ
4. อุปกรณ์สำหรับตัดกระดาษ

วิธีการทดสอบ

1. ตัดกระดาษขนาด 150×15 มิลลิเมตร ทั้งแนว MD และ CD จำนวน 10 ชิ้นตัวอย่างต่อแนว นำกระดาษไปเก็บไว้ในตู้ควบคุมอุณหภูมิและความชื้นสัมพัทธ์ที่สภาวะอุณหภูมิ 27 ± 1 องศาเซลเซียส ความชื้นสัมพัทธ์ร้อยละ 65 ± 2 เป็นเวลา 24 ชั่วโมง (ISO 187)
2. นำกระดาษทดสอบเข้าอุปกรณ์จับชิ้นตัวอย่างบนเครื่องทดสอบ
3. พับตัวอย่างด้วยเครื่องทดสอบจนชิ้นตัวอย่างขาดจากกัน โดยการพับไปและพับกลับมา นับเป็น 1 รอบ
3. รายงานค่าเฉลี่ยของค่าความต้านทานต่อการพับทั้งแนว MD และ CD เป็นจำนวนครึ่งในการพับที่ตัวอย่างสามารถพับได้

การทดสอบความต้านทานแรงดึง

มาตรฐานการทดสอบ ดัดแปลงจาก ASTM D828-93

เครื่องมือ

1. ตู้ควบคุมอุณหภูมิและความชื้นสัมพัทธ์
2. เครื่องทดสอบความต้านทานแรงดึงและการยึดตัว (Testometric 350, England)
3. อุปกรณ์สำหรับตัดกระดาษ

วิธีการทดสอบ

1. ตัดกระดาษขนาด 15×100 มิลลิเมตร ทั้งแนว MD และ CD โดยตัดตัวอย่างให้ขนาดกับแนวทดสอบด้วยเครื่องตัดชิ้นทดสอบ 10 ชิ้นต่อแนว นำกระดาษไปเก็บไว้ในตู้ควบคุมอุณหภูมิและความชื้นสัมพัทธ์ที่สภาวะอุณหภูมิ 27 ± 1 องศาเซลเซียส ความชื้นสัมพัทธ์อยู่ที่ 65 ± 2 เป็นเวลา 24 ชั่วโมง (ISO 187)
 2. นำชิ้นทดสอบเข้าที่ขีดทั้งสองของเครื่องทดสอบ โดยให้ได้ความยาวระหว่างที่ขีดตัวอย่างเท่ากับ 50 ± 0.5 มิลลิเมตร
 3. ทำการทดสอบโดยตั้งเวลาให้ชิ้นทดสอบขาดจากแรงดึง 12.7 มิลลิเมตรต่อนาที โดยใช้ Load cell 5,000 นิวตัน
 4. อ่านค่าความต้านทานแรงดึงดึงขาดจากสเกล รายงานค่าเฉลี่ยของความต้านทานแรงดึงของกระดาษทั้งแนว MD และ CD เป็นค่าแรงดึงต่อความกว้างของชิ้นทดสอบ (กิโลนิวตันต่อมتر)

การทดสอบค่าการดูดซึม (น้ำหรือน้ำมัน) (Cobb test)

มาตรฐานการทดสอบ ดังแปลงจาก ASTM D3285-93

เครื่องมือ

1. ชุดทดสอบค่า Cobb test (เส้นผ่านศูนย์กลางวงแหวน 6 เซนติเมตร)
2. ลูกกลิ้งโลหะผิวเรียบ น้ำหนัก 10.0 ± 0.5 กิโลกรัม
3. ตู้ควบคุมอุณหภูมิและความชื้นสัมพัทธ์
4. กระบวนการปริมาตร 50 มิลลิลิตร
5. เครื่องซั่งละเอียดทวนนิยม 3 ตำแหน่ง
6. นาฬิกาจับเวลา
7. กระดาษทิชชูอเนกประสงค์ ยี่ห้อ สก็อต (Scott towel)
8. น้ำเกลี้ยง
9. น้ำมันปาล์ม ยี่ห้อ โอลีน
10. อุปกรณ์สำหรับตัดกระดาษ

วิธีการทดสอบ

1. ตัดกระดาษตัวอย่างให้มีขนาด 6×6 เซนติเมตร นำตัวอย่างไปเก็บในตู้ควบคุมอุณหภูมิ และความชื้นสัมพัทธ์ที่สภาวะอุณหภูมิ 27 ± 1 องศาเซลเซียส ความชื้นสัมพัทธ์ร้อยละ 65 ± 2 เป็นเวลา 24 ชั่วโมง (ISO 187)
2. ชั่งน้ำหนักตัวอย่างก่อนการทดสอบ จากนั้นนำกระดาษวางบนชุดทดสอบค่า Cobb test โดยหันกระดาษด้านที่จะทดสอบขึ้นด้านบน
3. เทน้ำเกลี้ยง (หรือน้ำมัน) ปริมาตร 22 มิลลิลิตร ลงไปในวงแหวนของชุดทดสอบค่า Cobb test แล้วรีบจับเวลาทันที ระหว่างไม่ให้มีหยดน้ำ (หรือน้ำมัน) หลอกอุกมากกว่างแหวน
4. เมื่อถึงวินาทีที่ 105 ให้เทน้ำ (หรือน้ำมัน) ออกจากรวงแหวนอย่างรวดเร็ว โดยไม่ให้มีน้ำ (หรือน้ำมัน) หลอดอกนอกพื้นที่วงแหวน นำกระดาษทดสอบวางลงบนกระดาษทิชชู โดยให้ผิวกระดาษด้านเปียกอยู่ข้างบน จากนั้นรีบนำกระดาษทิชชูอีกแผ่นหนึ่งวางบนกระดาษทดสอบ

ใช้ลูกกลิ้งโลหะกลิ้งทับไปบนกระดาษทิชชูไปและกลับ จากนั้นนำกระดาษทดสอบไปซึ่งนำหนักอีกครั้ง

5. ทำการทดสอบทั้งหมด 10 ช้ำ แบ่งเป็นกระดาษด้านหน้า 5 ช้ำ และกระดาษด้านหลัง 5 ช้ำ

การคำนวณ

$$\text{ค่าการดูดซึม (กรัม/ตร.ม.)} = \frac{(\text{น้ำหนักหลังทดสอบ}) - (\text{น้ำหนักก่อนทดสอบ}) \times 28}{\text{น้ำหนักก่อนทดสอบ}}$$

การทดสอบค่ามุมสัมผัส (น้ำหรือน้ำมัน) (contact angle)

มาตรฐานการทดสอบ ดัดแปลงจาก ASTM D5946-04

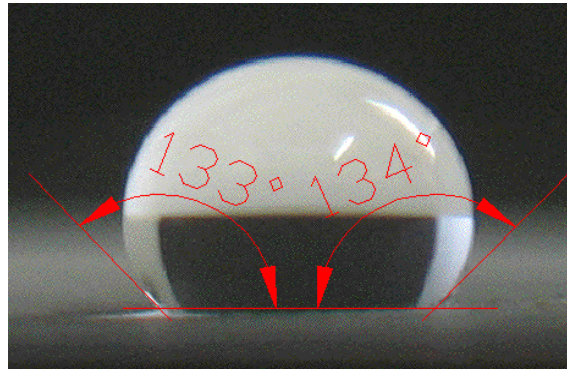
เครื่องมือ

1. ตู้ควบคุมอุณหภูมิและความชื้นสัมพัทธ์
2. กล้องถ่ายภาพดิจิตอล
3. ขาตั้งกล้อง
4. ปากและพื้น (กระดาษแข็งสีดำ)
5. ไมโครปีเพต ขนาด 100 ไมโครลิตร
6. นาฬิกาจับเวลา
7. น้ำกลั่น
8. น้ำมันปาล์ม ยี่ห้อ โอลีน
9. อุปกรณ์สำหรับตัดกระดาษ

วิธีการทดสอบ

1. ตัดกระดาษตัวอย่างให้มีขนาด 5×5 เซนติเมตร นำตัวอย่างไปเก็บในตู้ควบคุมอุณหภูมิ และความชื้นสัมพัทธ์ที่สภาวะอุณหภูมิ 27 ± 1 องศาเซลเซียส ความชื้นสัมพัทธ์ร้อยละ 65 ± 2 เป็นเวลา 24 ชั่วโมง (ISO 187)
 2. วางตัวอย่างกระดาษบนพื้นสีดำ และให้จากด้านหลังเป็นสีดำ
 3. ติดกล้องถ่ายภาพดิจิตอลบนขาตั้งกล้อง จากนั้นตั้งขาตั้งกล้องให้เลนส์กล้องอยู่ในแนวระนาบกับตัวอย่างกระดาษ ปรับค่าถ่ายภาพเป็นระบบมาโคร และไม่เบิดแฟลต
 4. หยดน้ำกลั่น (หรือน้ำมัน) ปริมาตร 40 ไมโครลิตร ลงบนตัวอย่างกระดาษด้วยไมโครปีเพต โดยให้ไมโครปีเพตอยู่ในแนวตั้งจากกับพื้น และเริ่มจับเวลา
 5. ถ่ายภาพหยดน้ำ (หรือน้ำมัน) บนผิwtัวอย่างกระดาษเมื่อจับเวลาครบหนึ่งนาที ทดสอบทั้งหมด 3 ชั้ง
 6. หากต้องการค่ามุมสัมผัสแบบต่อเนื่อง ให้ถ่ายภาพหยดน้ำ (หรือน้ำมัน) ทุกๆ หนึ่งนาที จนครบ 10 นาที แรก ต่อจากนั้นถ่ายภาพเฉพาะนาทีที่ 20 และ 30 นาที ทดสอบทั้งหมด 3 ชั้ง

7. บันทึกภาพถ่ายลงในคอมพิวเตอร์ และวัดค่ามุมสัมผัสโดยใช้โปรแกรม AutoCAD 2006
8. นำค่ามุมสัมผัสทั้งหมดที่ได้มาเขียนบนกระดาษ (หรือน้ำมัน) ทั้ง 3 ช้ำ มา粘 ให้ติดกัน
9. นำค่ามุมสัมผัสที่วัดได้ไปคำนวณหาค่างานของการยึดติด (work of adhesion, W_a)



ภาพผู้ทดสอบที่ ก1 ลักษณะการวัดมุมสัมผัสด้วยโปรแกรม AutoCAD 2006

การคำนวณค่างานของการยึดติดของน้ำ (work of adhesion, W_a)

$$W_a = \gamma_L (1 + \cos\theta)$$

เมื่อ	W_a	=	งานของการยึดติด (ด้ายน์/ซม.)
	θ	=	มุมสัมผัส (องศา)
	γ_L	=	แรงดึงผิวของของเหลว (แรงดึงผิวของน้ำ = 72.8 ด้ายน์/ซม.)

ตัวอย่างการคำนวณ

ค่ามุมสัมผัสของน้ำที่ได้จากการทดลอง	=	133 องศา
จากสมการ	$W_a = \gamma_L (1 + \cos\theta)$	
	=	72.8 (1 + cos(133))
ดังนั้น	$W_a =$	23.15 ด้ายน์/ซม.

การทดสอบเวลาในการดูดซึม (น้ำหรือน้ำมัน) (absorption time)

มาตรฐานการทดสอบ ข้างต้นจาก สตวิรัตน์ (2550) และ Sell et al. (2001)

เครื่องมือ

1. ตู้ควบคุมอุณหภูมิและความชื้นสัมพัทธ์
2. ไมโครปีเปต ขนาด 100 ไมโครลิตร
3. นาฬิกาจับเวลา
4. น้ำกลั่น
5. น้ำมันปาล์ม ยี่ห้อ โอลีน
6. อุปกรณ์สำหรับตัดกระดาษ

วิธีการทดสอบ

1. ตัดกระดาษตัวอย่างให้มีขนาด 5×5 เซนติเมตร นำตัวอย่างไปเก็บไว้ในตู้ควบคุมอุณหภูมิและความชื้นสัมพัทธ์ที่สภาวะอุณหภูมิ 27 ± 1 องศาเซลเซียส ความชื้นสัมพัทธ์ร้อยละ 65 ± 2 เป็นเวลา 24 ชั่วโมง (ISO 187)
2. หยดน้ำกลั่น (หรือน้ำมัน) ปริมาตร 40 ไมโครลิตร ลงบนตัวอย่างกระดาษด้วยไมโครปีเปต โดยให้ไมโครปีเปตอยู่ในแนวตั้งจากกับพื้น และเริ่มจับเวลา
3. บันทึกเวลาที่หยดน้ำ (หรือน้ำมัน) หายไปจากผิวกระดาษ โดยที่เวลาที่ตัวอย่างกระดาษใช้ในการดูดซึมน้ำ (หรือน้ำมัน) หนึ่งหยด (absorption time) จะถูกกำหนดไว้สูงสุดที่ 200 นาที เนื่องจากที่ระยะเวลานานกว่านี้จะพิจารณาว่าปริมาตรของหยดน้ำ (หรือน้ำมัน) หายไปเนื่องจากเกิดการระเหย
4. ทดสอบทั้งหมด 5 ชั้น

การทดสอบอัตราการซึมผ่านของไอน้ำ (water vapor transmission rate, WVTR)

มาตรฐานการทดสอบ ดัดแปลงจาก ASTM E96

เครื่องมือ

1. ตู้ควบคุมอุณหภูมิและความชื้นสัมพัทธ์
2. ชุดทดสอบอัตราการซึมผ่านของไอน้ำ
3. พาราฟิน
4. เครื่องซึ่งละเอียดทศนิยม 4 ตำแหน่ง
5. สารดูดความชื้น
6. อุปกรณ์สำหรับตัดกระดาษ

วิธีการทดสอบ

1. ตัดกระดาษตัวอย่างให้มีพื้นที่ 0.28 ตารางเมตร ในการซึมผ่านของไอน้ำ (เส้นผ่านศูนย์กลาง 6 เซนติเมตร) นำตัวอย่างไปเก็บในตู้ควบคุมอุณหภูมิและความชื้นสัมพัทธ์ที่ สภาวะอุณหภูมิ 27 ± 1 องศาเซลเซียส ความชื้นสัมพัทธ์ร้อยละ 65 ± 2 เป็นเวลา 24 ชั่วโมง (ISO 187)
 2. ต้มพาราฟินให้เหลว
 3. นำสารดูดความชื้นปริมาตร 20 มิลลิลิตร ใส่ลงในถ้วยทดสอบ
 4. วางตัวอย่างกระดาษบนถ้วยทดสอบโดยให้อยู่บริเวณกึ่งกลางถ้วย นำตุ้มน้ำหนักวางทับเพื่อป้องกันไม่ให้ตัวอย่างกระดาษเคลื่อนที่
 5. เทพาราฟินเหลวอย่างช้าๆ ลงในขอบถ้วยทดสอบ ค่อยๆ หมุนถ้วยทดสอบขณะเท เพื่อให้พาราฟินติดในขอบถ้วยอย่างทั่วถึง
 6. ทิ้งไว้รอให้พาราฟินแห้ง จนน้ำตุ้มน้ำหนักออก
 7. นำตัวอย่างที่เตรียมเสร็จแล้วไปชั่งน้ำหนัก บันทึกน้ำหนักรีบด้วย
 8. เก็บตัวอย่างในตู้ควบคุมอุณหภูมิและความชื้นสัมพัทธ์ที่ สภาวะอุณหภูมิ 37 ± 1 องศาเซลเซียส ความชื้นสัมพัทธ์ร้อยละ 80 ± 2

9. นำตัวอย่างออกมาชั่งน้ำหนักและบันทึกน้ำหนักทุกหนึ่งวัน จนน้ำหนักสองครั้งสุดท้ายต่างกันไม่เกิน 0.0010 กรัม
10. ทดลองทั้งหมด 5 ชุด
11. นำค่าน้ำหนักที่เปลี่ยนแปลงไปในแต่ละวันมาจัดราย หาค่าความชันของกราฟ

การคำนวณ

$$\text{อัตราการซึมผ่านของไอน้ำ} \text{ (กรัม/ตร.ม./วัน)} = \frac{\text{ความชัน}}{\text{พื้นที่กระดาษ (ตร.ม.)}}$$

การทดสอบอัตราการซึมผ่านของแก๊สออกซิเจน (oxygen transmission rate, OTR)

มาตรฐานการทดสอบ ดัดแปลงจาก ASTM D3985

เครื่องมือ

1. ตู้ควบคุมอุณหภูมิและความชื้นสัมพัทธ์
2. เครื่องวัดอัตราการซึมผ่านของแก๊สออกซิเจน
3. แผ่นอลูมิเนียม (aluminum foil)
4. อุปกรณ์สำหรับตัด/ติดกระดาษและแผ่นอลูมิเนียม

วิธีการทดสอบ

1. ตัดแผ่นอลูมิเนียมให้มีขนาดแปดเหลี่ยมเท่ากับ template และเจาะรูตรงกลางแผ่นอลูมิเนียมเป็นวงกลมเส้นผ่านศูนย์กลาง 6 เซนติเมตร สำหรับนำมาติดกับกระดาษตัวอย่าง โดยแผ่นอลูมิเนียมจะต้องปราศจากการอยู่นั่น รอยพับ หรือหักงอ
2. ตัดกระดาษตัวอย่างให้มีพื้นที่ 0.28 ตร.ม. ใน การซึมผ่านของแก๊ส (เส้นผ่านศูนย์กลาง 6 เซนติเมตร) นำตัวอย่างไปเก็บในตู้ควบคุมอุณหภูมิและความชื้นสัมพัทธ์ที่สภาวะอุณหภูมิ 27 ± 1 องศาเซลเซียส ความชื้นสัมพัทธ์ร้อยละ 65 ± 2 เป็นเวลา 24 ชั่วโมง (ISO 187)
3. ทา sealant บางๆ บริเวณขอบวงกลมของแผ่นอลูมิเนียม วางกระดาษตัวอย่างให้พอดี วงกลมนั้น ติดขอบกระดาษกับแผ่นอลูมิเนียมให้แนบสนิทด้วยสกอตเทป
4. นำตัวอย่างไปทดสอบด้วยเครื่องวัดอัตราการซึมผ่านของแก๊สออกซิเจน
5. ทดสอบทั้งหมด 5 ครั้ง

การคำนวณ

$$\text{อัตราการซึมผ่านของแก๊สออกซิเจน (ซีซี/ตร.ม./วัน)} = \frac{\text{ผลจากเครื่องทดสอบ} \times 100}{\text{พื้นที่กระดาษ (ตร.ม.)}}$$

**การทดสอบค่าสี
(L* a* b*)**

เครื่องมือ

1. ตู้ควบคุมอุณหภูมิและความชื้นสัมพันธ์
2. เครื่องวัดสี
3. อุปกรณ์สำหรับตัดกระดาษ

วิธีการทดสอบ

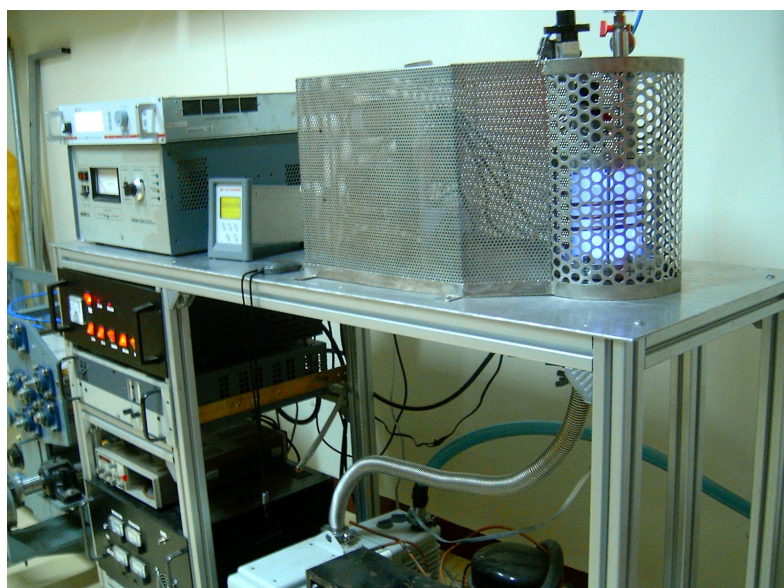
1. ตัวกระดาษตัวอย่างขนาด 6×6 เซนติเมตร นำไปเก็บในตู้ควบคุมอุณหภูมิและความชื้นสัมพันธ์ที่สภาวะอุณหภูมิ 27 ± 1 องศาเซลเซียส ความชื้นสัมพันธ์ร้อยละ 65 ± 2 เป็นเวลา 24 ชั่วโมง (ISO 187)
2. calibrate เครื่องวัดสี
3. นำหัววัดวางบนตัวอย่างกระดาษ สังเกตไม่ให้มีบริเวณใดของหัววัดเลยออกไปนอกกระดาษตัวอย่าง
4. บันทึกค่าสี L* a* b* ที่ได้
5. ทดสอบทั้งหมด 5 ช้ำ

ภาคผนวก ๙

ระบบการทำงานของเครื่องผลิตพลาสม่าความดันต่ำระบบ ICP

ระบบการทำงานของเครื่องผลิตพลาสมาความดันต่ำระบบ inductively coupled plasma discharge (ICP)

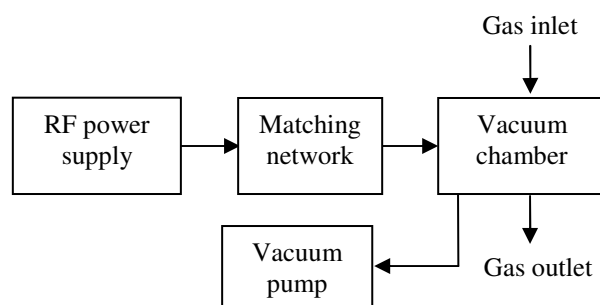
งานวิจัยนี้ใช้เครื่องผลิตพลาスマความดันต่ำภายในห้องวิจัยเทคโนโลยีพลาสม่า ศูนย์วิจัยนิวตรอนพลังงานสูง มหาวิทยาลัยเชียงใหม่ (ภาพพนวกที่ ข1) ในการเคลือบพลาasma ชั้ลเฟอร์ເຊກະພູໂອໄຣດັບນະຄະຍາ ໂດຍເຮືອງພລິຕພລາສມາຄວາມດັນຕໍ່ານີ້ເປັນພລິຕພລາສມາ ພາຍໃຫ້ສກາວຄວາມດັນແກ້ສີທີ່ຕໍ່າກວ່າຄວາມດັນນະຮຽກສາກວ່າ 1/100,000 ເທົ່ານອງຄວາມດັນນະຮຽກສາກ ໂດຍໃຫ້ຫັກການທຳມາຈາກການເຮັດວຽກທີ່ຢ່ານນຳຂອງຄລື່ນວິທຸນາດ 13.56 ເມກກະເວີຣັກ ແນບ inductively coupled plasma discharge (ICP) ຜຶ່ງເປັນຫັກການທີ່ຄລື່ນວິທຸນີ່ໄປນກວານອະຕອມຫຼືໄມເລຸດຂອງແກ້ສີທີ່ອູ່ໃນການນະປິດ (chamber) ພົບອອກການຮັບການຈາກຄລື່ນວິທຸນີ່ທີ່ໄຫ້ເລີກຕອນອີສະວິມີ້ອູ່ ທີ່ໄປກາຍໃນກຸ່ມແກ້ສີມີພລັງຈານນາກເພີ່ມພອທີ່ຈະໄປໜັກນອະຕອມຫຼືໄມເລຸດຂອງແກ້ສົຈນທີ່ໄຫ້ເກີດກາຣແຕກຕ້ວເປັນໄອອຸນແລະອູ່ໃນສຕານະຂອງພລາສມາ



**ภาพพนวกที่ ข1 เครื่องผลิตพลาスマความดันต่ำของศูนย์วิจัยนิวตรอนพลังงานสูง
มหาวิทยาลัยเชียงใหม่**

โดยเครื่องผลิตพลาสมาความดันต่ำที่ใช้ในงานวิจัยนี้สามารถจำแนกอุปกรณ์หลักออกเป็น 4 ส่วน (ภาพผนวกที่ ข2) ดังต่อไปนี้

1. ปั๊มสูญญากาศ (vacuum pump) สามารถควบคุมให้สร้างพลาสมากายได้ ความดันอากาศที่ต่ำ อยู่ในช่วงระหว่าง $1/100,000$ ถึง $1/10,000$ เท่าของความดันบรรยากาศ ($1-1,000$ มิลลิ托ร์)
2. แหล่งกำเนิดคลื่นวิทยุ (RF power supply) เป็นแหล่งพลังงานที่ใช้ในการผลิต พลาสมา ซึ่งมีกำลังไฟฟ้าที่ใช้อยู่ในช่วง 10-250 วัตต์ โดยการใช้งานจะขึ้นอยู่กับลักษณะและขนาด ของพื้นที่ใช้งาน
3. ระบบ matching network มีหน้าที่ปรับความต้านทานรวมของระบบให้มีค่าเท่ากัน ทั้งระบบ เพื่อป้องกันความเสียหายที่จะเกิดกับแหล่งกำเนิดคลื่นวิทยุ
4. แฟร์นเบอร์สูญญากาศ (vacuum chamber) ปริมาตร 1 ลิตร เป็นบริเวณที่เกิดพลาasma ซึ่งเป็นส่วนที่ใส่ชิ้นงานที่ต้องการประยุกต์พลาasma ลงไป



ภาพผนวกที่ ข2 โครงสร้างของเครื่องผลิตพลาスマความดันต่ำ

ภาคผนวก ค

ค่าทดสอบมุมลัมพัสแบบต่อเนื่อง (dynamic contact angle) ของกระดาษประยุกต์พลาสma

ตารางผนวกที่ ค1 มูมสัมผัสของหยดน้ำเมื่อเวลาผ่านไปของกระดายประยุกต์พลาสma

กระดาย	ระยะเวลาในการประยุกต์พลาสma (วินาที)	มูมสัมผัส					
		นาทีที่ 0	นาทีที่ 1	นาทีที่ 2	นาทีที่ 3	นาทีที่ 4	นาทีที่ 5
ด้านหน้า	untreated	71 ± 2.0 ^b	70 ± 2.0 ^b	69 ± 2.1 ^a	69 ± 1.8 ^a	68 ± 2.2 ^a	68 ± 2.0 ^a
	2	111 ± 1.9 ^c	111 ± 1.9 ^c	110 ± 1.9 ^b	109 ± 1.9 ^c	109 ± 1.8 ^c	108 ± 1.8 ^c
	10	113 ± 1.0 ^{cd}	113 ± 1.0 ^{cd}	112 ± 1.0 ^b	112 ± 1.0 ^d	111 ± 1.0 ^c	110 ± 1.3 ^d
	60	114 ± 1.9 ^d	114 ± 1.9 ^d	114 ± 1.9 ^c	113 ± 1.9 ^d	113 ± 1.9 ^d	112 ± 1.9 ^e
	600	116 ± 1.5 ^e	116 ± 1.5 ^e	116 ± 1.5 ^d	116 ± 1.4 ^e	115 ± 1.5 ^e	115 ± 1.4 ^f
ด้านหลัง	untreated	63 ± 1.5 ^a	24 ± 1.0 ^a	n/a	n/a	n/a	n/a
	2	120 ± 1.3 ^f	113 ± 1.9 ^{cd}	112 ± 1.9 ^b	106 ± 2.1 ^b	103 ± 1.6 ^b	98 ± 1.5 ^b
	10	132 ± 1.9 ^g	128 ± 2.0 ^f	127 ± 1.7 ^e	126 ± 1.8 ^f	125 ± 1.5 ^f	123 ± 1.6 ^g
	60	136 ± 0.9 ^h	135 ± 0.9 ^g	134 ± 0.5 ^f	134 ± 0.8 ^g	133 ± 1.0 ^g	133 ± 0.8 ^h
	600	135 ± 0.9 ^h	134 ± 0.8 ^g	133 ± 0.9 ^f	132 ± 0.5 ^g	132 ± 0.8 ^g	132 ± 0.6 ^h

ตารางผนวกที่ ค1 (ต่อ)

กระดาย	เวลาในการ ประยุกต์พลาสma (วินาที)	มุมสัมผัส (องศา)					
		นาทีที่ 6	นาทีที่ 7	นาทีที่ 8	นาทีที่ 9	นาทีที่ 10	นาทีที่ 20
ด้านหน้า	untreated	68 ± 2.0 ^a	67 ± 2.1 ^a	67 ± 1.8 ^a	66 ± 1.8 ^a	66 ± 1.8 ^a	60 ± 1.9 ^a
	2	107 ± 1.8 ^c	106 ± 1.8 ^c	105 ± 1.7 ^c	104 ± 1.7 ^c	103 ± 1.7 ^c	96 ± 1.9 ^b
	10	109 ± 1.3 ^c	108 ± 1.3 ^c	107 ± 1.3 ^c	106 ± 1.3 ^c	105 ± 1.3 ^c	97 ± 1.6 ^b
	60	112 ± 1.9 ^d	111 ± 1.9 ^d	111 ± 1.9 ^d	110 ± 1.9 ^d	110 ± 1.9 ^d	102 ± 1.2 ^c
	600	114 ± 1.5 ^e	114 ± 1.4 ^e	113 ± 1.2 ^e	113 ± 1.6 ^e	113 ± 1.4 ^e	105 ± 2.1 ^d
ด้านหลัง	untreated	n/a	n/a	n/a	n/a	n/a	n/a
	2	93 ± 1.7 ^b	86 ± 1.6 ^b	82 ± 1.6 ^b	79 ± 1.5 ^b	76 ± 1.4 ^b	n/a
	10	122 ± 2.0 ^f	121 ± 2.1 ^f	120 ± 2.2 ^f	120 ± 2.0 ^f	119 ± 2.3 ^f	116 ± 2.3 ^e
	60	132 ± 1.0 ^g	132 ± 1.2 ^g	131 ± 0.9 ^g	130 ± 0.8 ^g	130 ± 1.0 ^g	128 ± 1.0 ^f
	600	131 ± 0.8 ^g	131 ± 0.8 ^g	130 ± 0.8 ^g	130 ± 0.8 ^g	130 ± 0.8 ^g	128 ± 1.0 ^f

^{a-h} ตัวอักษรที่ต่างกันในแคดัชชั่นหมายถึงค่าเฉลี่ยมีความแตกต่างกันทางสถิติ ($p \leq 0.05$)

n/a ไม่สามารถวัดค่าได้

ภาคผนวก ง

ค่าทดสอบอิทธิพลของระยะเวลาในการเก็บต่อความสามารถในการต้านทานนำของกระดาษ

ตารางผนวกที่ ง1 เวลาในการคุณซึมเข้าของกระดาษด้านหลังภายในห้องการประยุกต์พลาสมาเมื่อเก็บในอุณหภูมิ 25-32 องศาเซลเซียส ความชื้นสัมพัทธ์ร้อยละ 48-74 เป็นเวลา 28 วัน

เวลาในการประยุกต์พลาสma (วินาที)	เวลาในการคุณซึมเข้า (นาที)						
	0 วัน	1 วัน	3 วัน	7 วัน	14 วัน	21 วัน	28 วัน
untreated	1 ± 0.1 ^a	1 ± 0.3 ^a	1 ± 0.1 ^a	1 ± 0.1 ^a	1 ± 0.2 ^a	1 ± 0.3 ^a	1 ± 0.1 ^a
2	47 ± 1.6 ^b	55 ± 1.6 ^b	53 ± 1.3 ^b	48 ± 1.2 ^b	24 ± 1.5 ^b	9 ± 1.4 ^b	7 ± 1.1 ^b
10	105 ± 1.8 ^c	109 ± 1.9 ^x	104 ± 1.3 ^c	103 ± 1.5 ^c	99 ± 1.5 ^c	99 ± 2.1 ^c	90 ± 2.0 ^c
60	106 ± 1.8 ^c	120 ± 1.1 ^d	119 ± 1.5 ^d	109 ± 1.9 ^d	106 ± 1.9 ^d	106 ± 1.5 ^d	105 ± 2.0 ^d
600	129 ± 1.9 ^d	139 ± 1.6 ^e	128 ± 2.1 ^e	119 ± 1.8 ^e	115 ± 1.8 ^e	112 ± 1.8 ^e	92 ± 2.0 ^c

^{a-e} ตัวอักษรที่ต่างกันในแต่ละหน่วยถึงค่าเฉลี่ยมีความแตกต่างกันทางสถิติ ($p \leq 0.05$)

ประวัติการศึกษา และการทำงาน

ชื่อ – นามสกุล	นางสาวสุชาดา ถาวรวิริยะนันท์
วัน เดือน ปี ที่เกิด	วันที่ 24 กรกฎาคม 2525
สถานที่เกิด	ระยอง
ประวัติการศึกษา	ปริญญาตรี ภาควิชาเทคโนโลยีการบรรจุ
ตำแหน่งหน้าที่การงานปัจจุบัน	คณบดีคณะศิลปกรรมศาสตร์ มหาวิทยาลัยเชียงใหม่
สถานที่ทำงานปัจจุบัน	-
ผลงานเด่นและรางวัลทางวิชาการ	-
ทุนการศึกษาที่ได้รับ	-